

Bh  
22 093  
3(2)

Bh 22 093

3/20]

V. MARAGIOGLIO

x  
C. RINALDI

Membri della Missione Archeologica in Nubia  
del Museo Egizio di Torino

# L'ARCHITETTURA DELLE PIRAMIDI MENFITE

PARTE III [2]TAVOLE

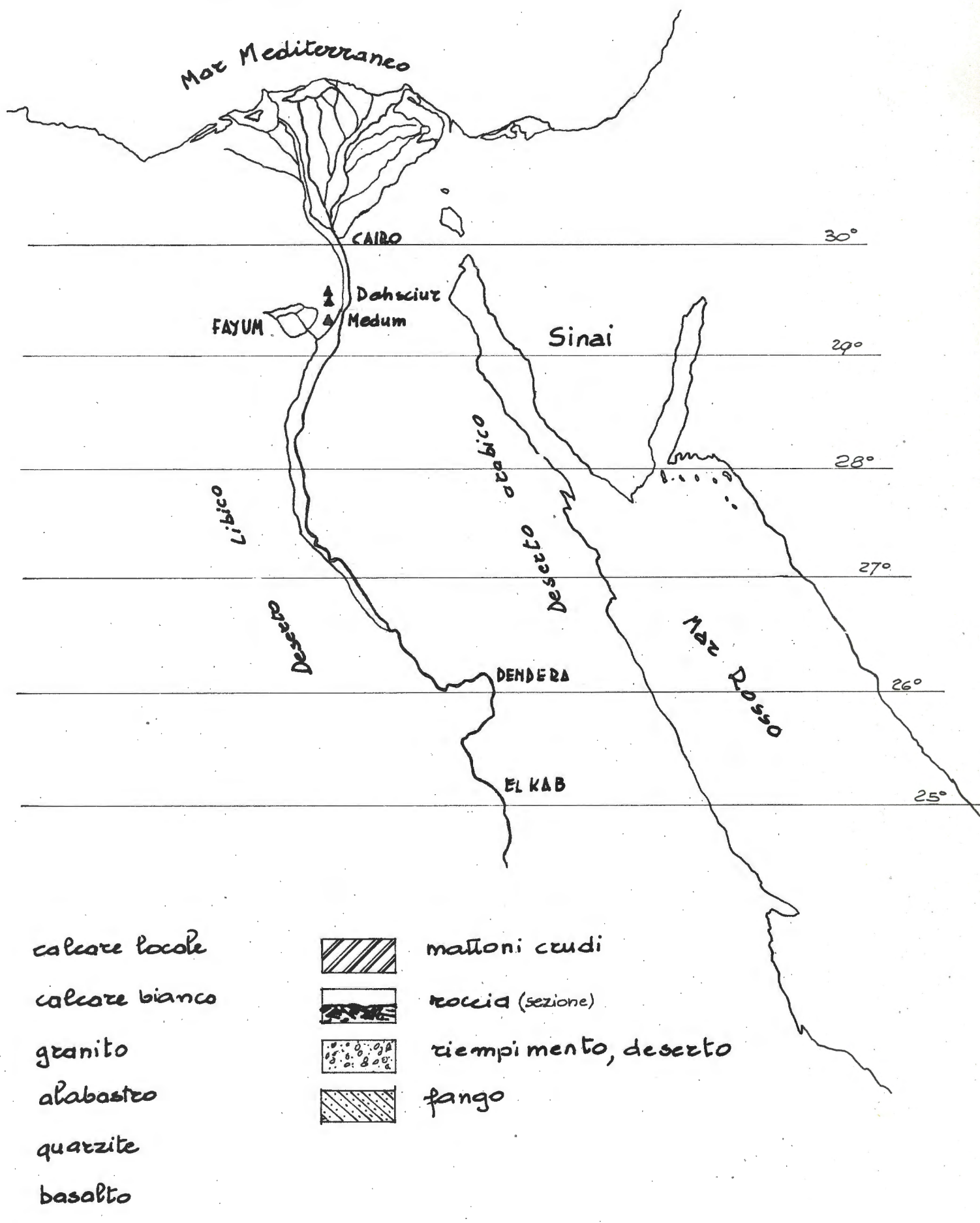
English Translation by Jennifer Anne Zanini Jellis, B. A., B. S. W.  
and Vito Maragioglio

Opera pubblicata col concorso del Centro per le Antichità e la Storia  
dell'Arte del Vicino Oriente

+

V. MARAGIOGLIO - C. RINALDI L'ARCHITETTURA DELLE PIRAMIDI MENFITE PARTE III - TAVOLE



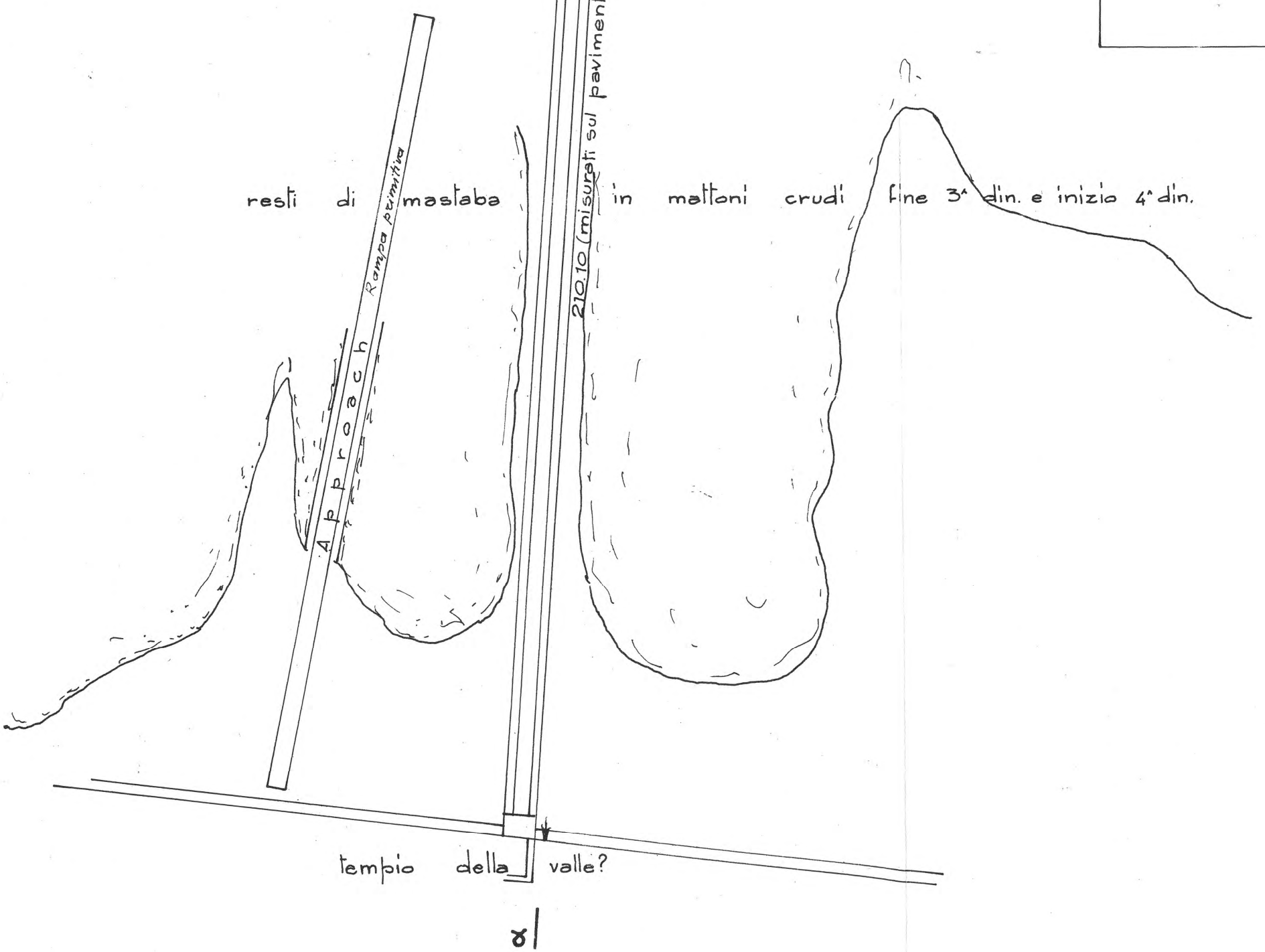
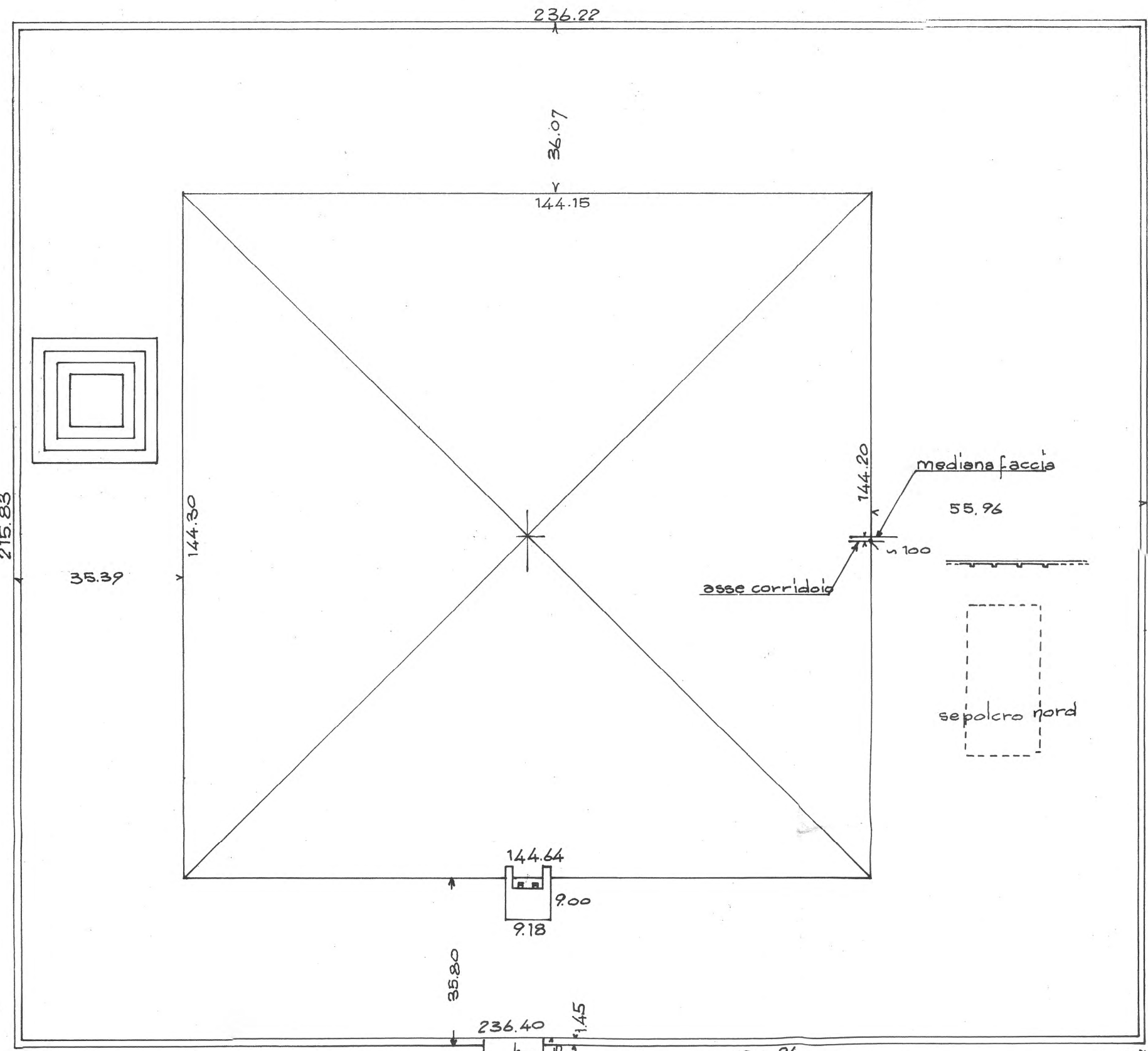




COMPLESSO ATTRIBUITO AD HUNI A MEYDUM

in posizione indeterminata, a 27/2 metri della piramide, cumuli di scorie il più orientale dei quali fu trovato (Mackay) contenere i due muri paralleli in pietra medievale. Berchardt fece una rampa di costruzione meridionale.

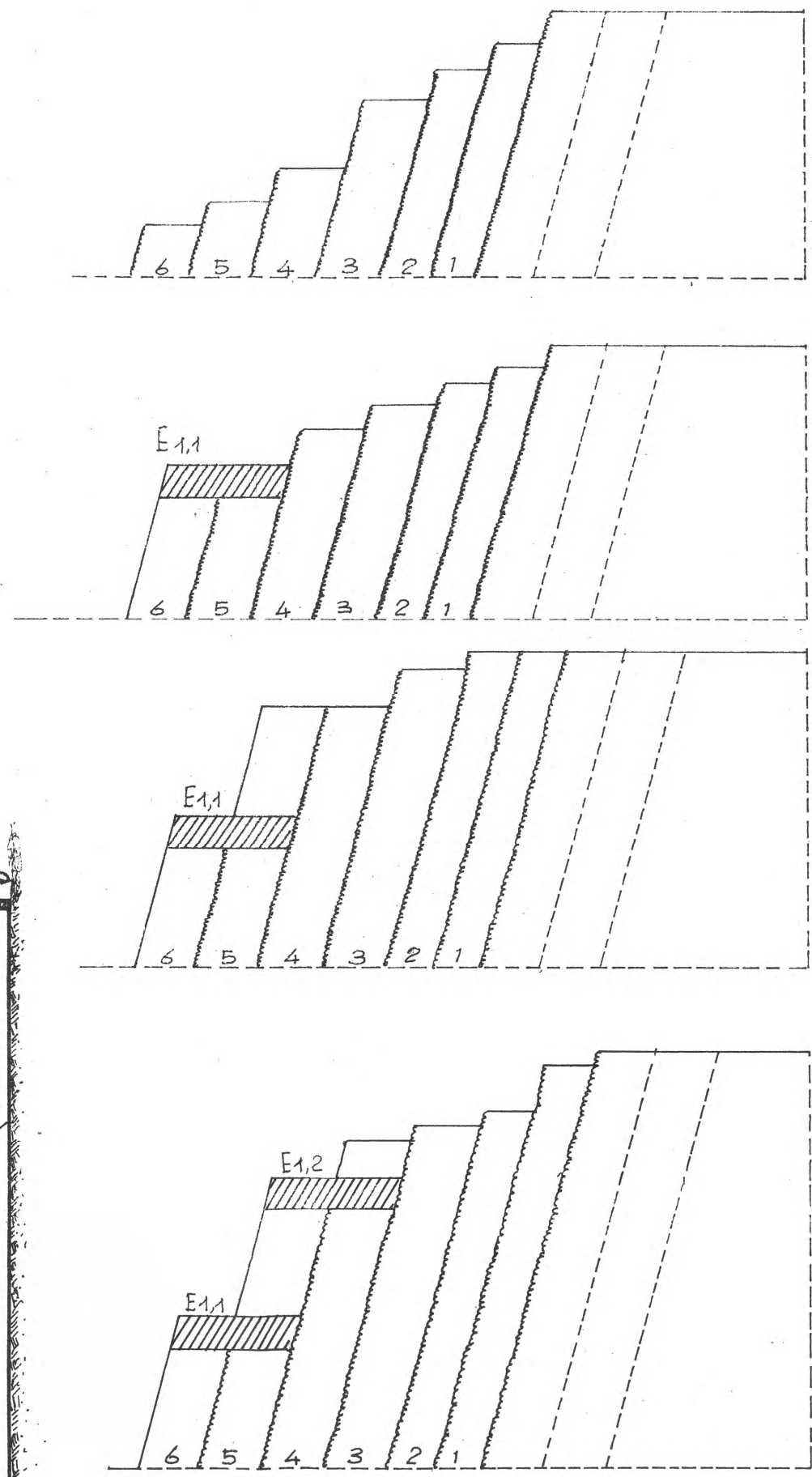
fig. 1 PLANIMETRIA



Azimut lato	U del muro di cinta	-30°
	S	+1°30'
	E	-27°30'
	W	-29°

da Petrie, Wainwright, Rowe

fig. 4



Elevazione lungo la spezzata αβγδ

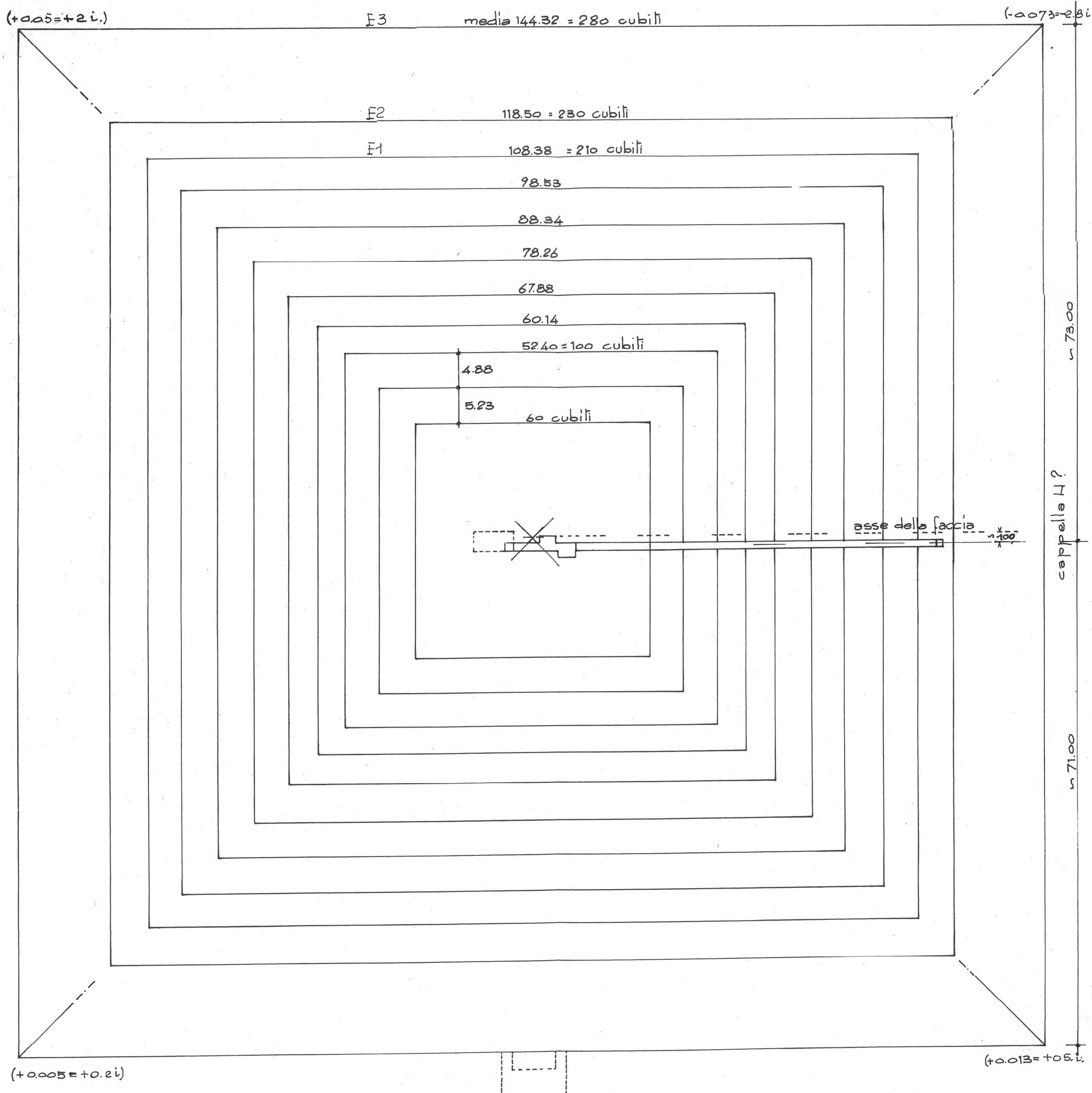
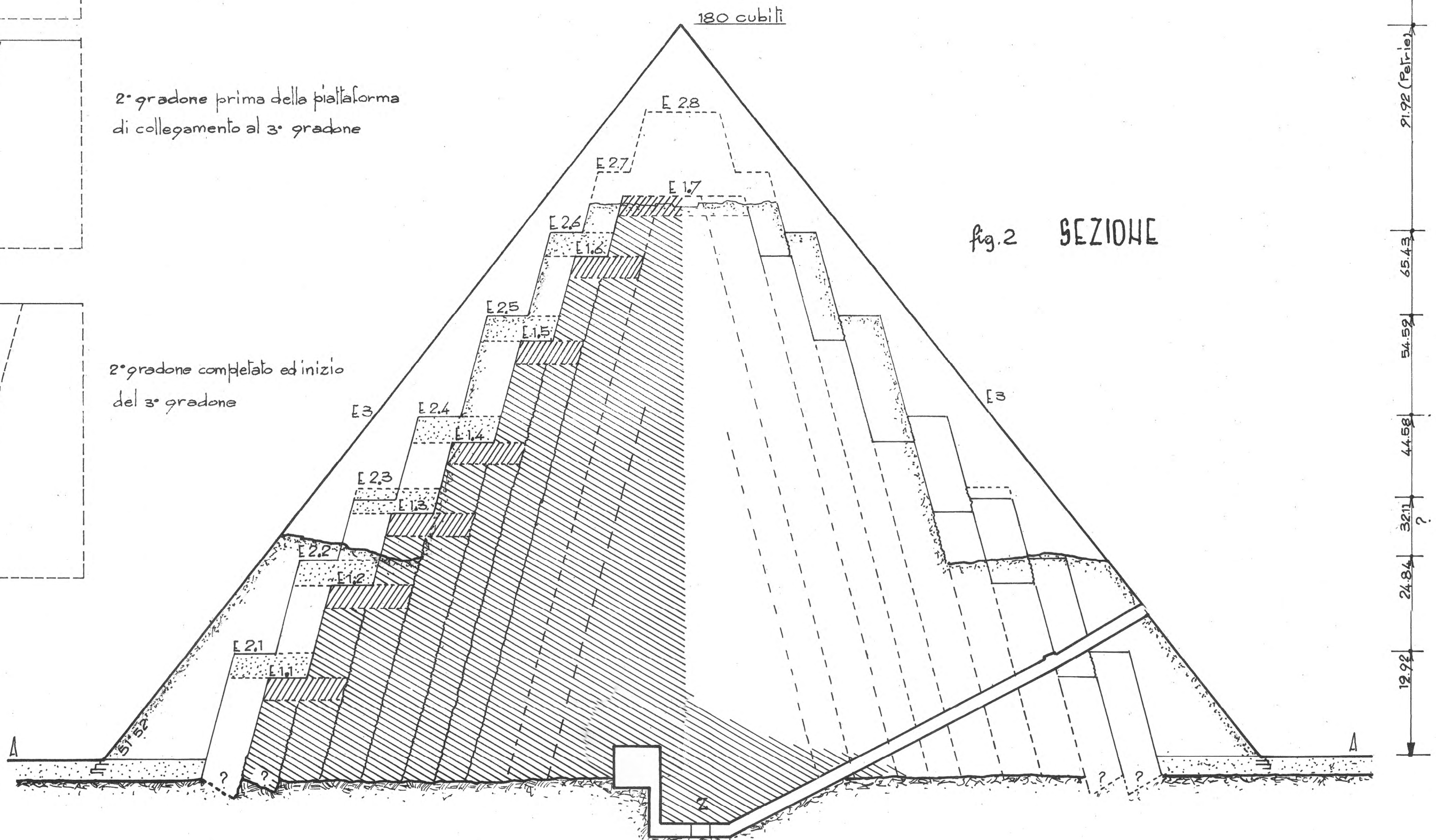
STRUTTURA DELLA PIRAMIDE

0 5 10 15 20 25 30 35 40 45 50 55 60 65 70 75 metri

□ piattaforma di collegamento fra  
▨ piattaforma di collegamento fra  
▩ muratura di F1

inclinazione fra le facce degli involucri in alto 73°20' (media)  
in basso 74°21' (media)

fig. 2 SEZIONE



Azimut dei lati U 35°25'  
a W del Nord 20°35'  
V 23°30'  
W 18°8'  
azimuth medio 24°25'

fig. 3 PIANA  
a livello della roccia per F1 ed F2  
a livello definitivo per F3



fig. 1 SEZIONE SULLA MEDIANA DELLA FACCIA EST QUALE OGGI SI PRESENTA

0 5 10 15 20 25 30 35 40 m.

65.43

54.59

44.58

32.11

24.84

12.92

A B faccia liscia  
 C D faccia rustica  
 E F faccia liscia  
 G H faccia rustica  
 I rivestimento corroso  
 L rivestimento conservato

fig. 7 FONDAZIONI SECONDO PETRIE

0 1 2 3 4 5 m.

PARTICOLARI

0 1 2 3 m.

fig. 2 Particolare (1)

fig. 3 Particolare (2)

fig. 4  
Disposizione dei blocchi nell'angolo NE  
a P. Pirello (3)fig. 6 PROGRESSIVO SMANTELLAMENTO DELLA PIDAMIDE  
come è possibile ricostruire dalle iscrizioni rilevate sul monumento

fig. 5 APPARTAMENTI SOTTERRANEI (da Rowe)

nel corridoio discendente:  
 da a a b inclinazione 30° 28'  
 " b a c " " 29° 22'  
 oltre c " " 27° 36'  
 inclinazione media 28° 29'

□ faccia in vista  
 ■ pozzi in pianta

0 1 2 3 4 5 6 7 8 9 10 15 20 25 30 35 40 metri

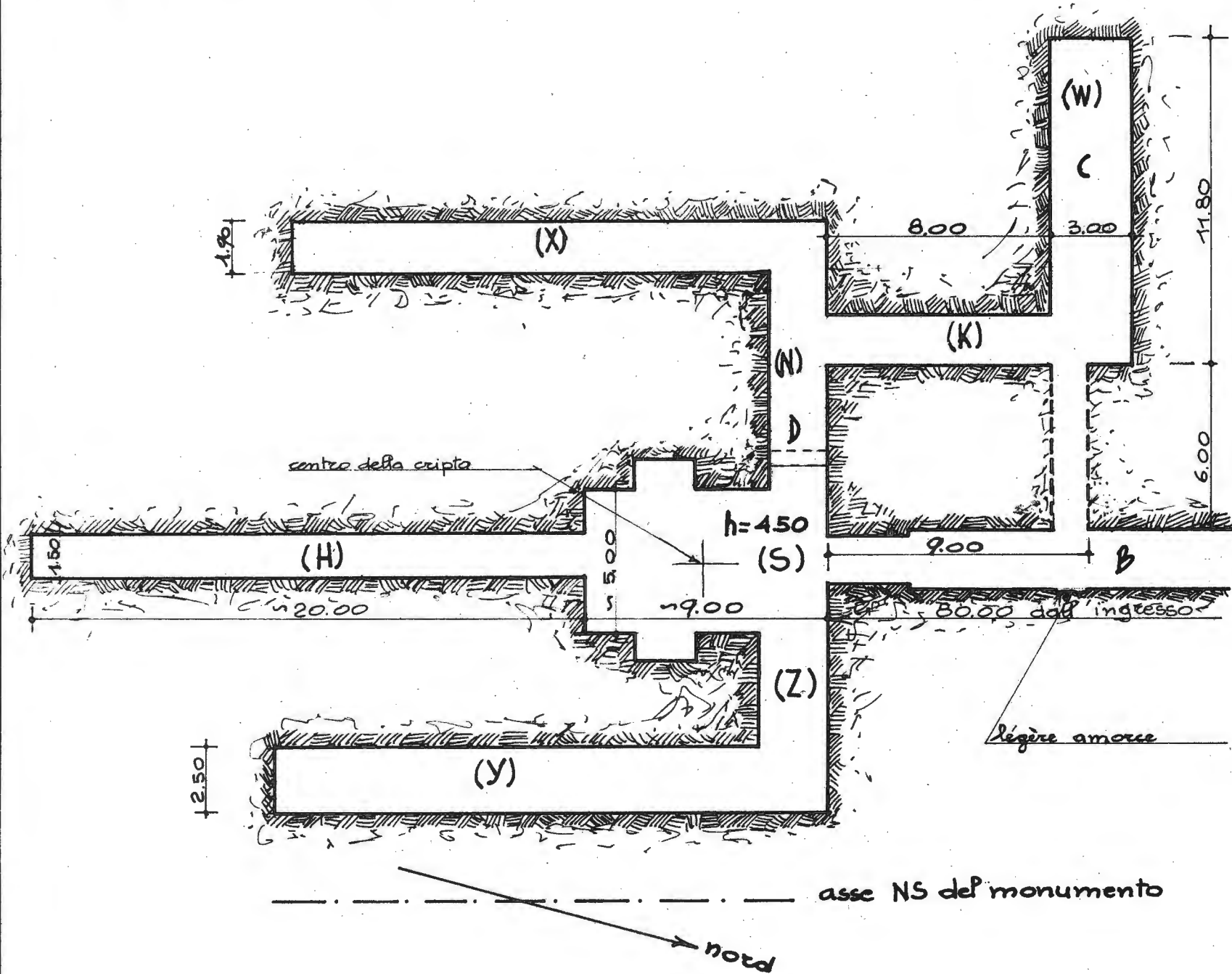






## COMPLESSO DI SECHEMKHET A SACCARA MORD

PIANTA DELLA "CRIPTA" secondo Lauer "Histoire monumentale".... I pl. 26



Le lettere fra parentesi sono quelle della tavola 4 della parte II del nostro "l'architettura delle piramidi menfite" - quelle senza parentesi corrispondono alle lettere riportate nella tavola del Lauer.



Scala per le orizzontali 1:200

Scala per le verticali 1:50

L'APPROACH

RILIEVO DI MACKAY (Medum and Memphis III pl.III)  
ingrandimento fotografico del disegno di Mackay (4 volte)

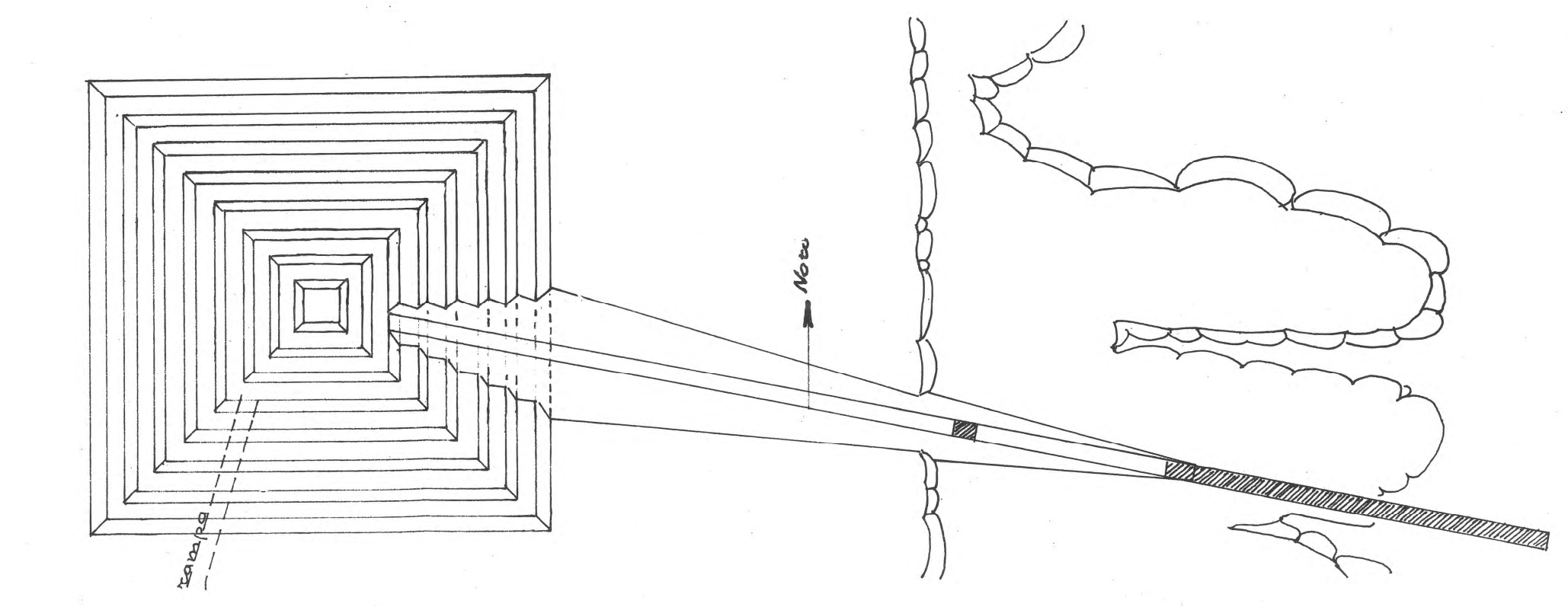
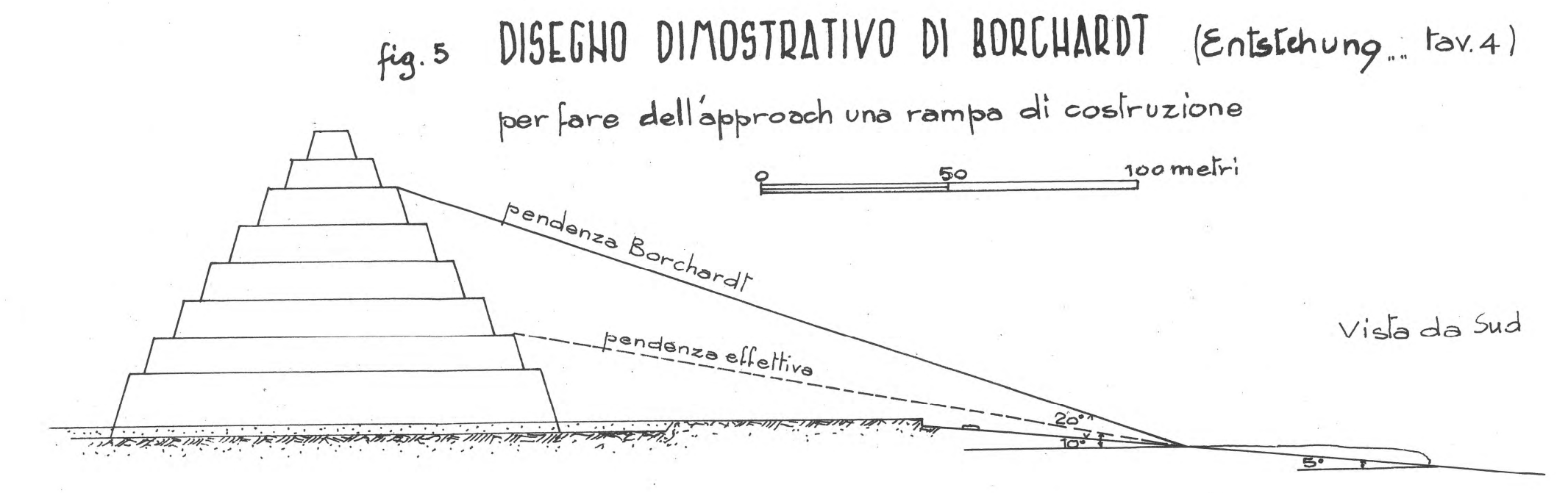
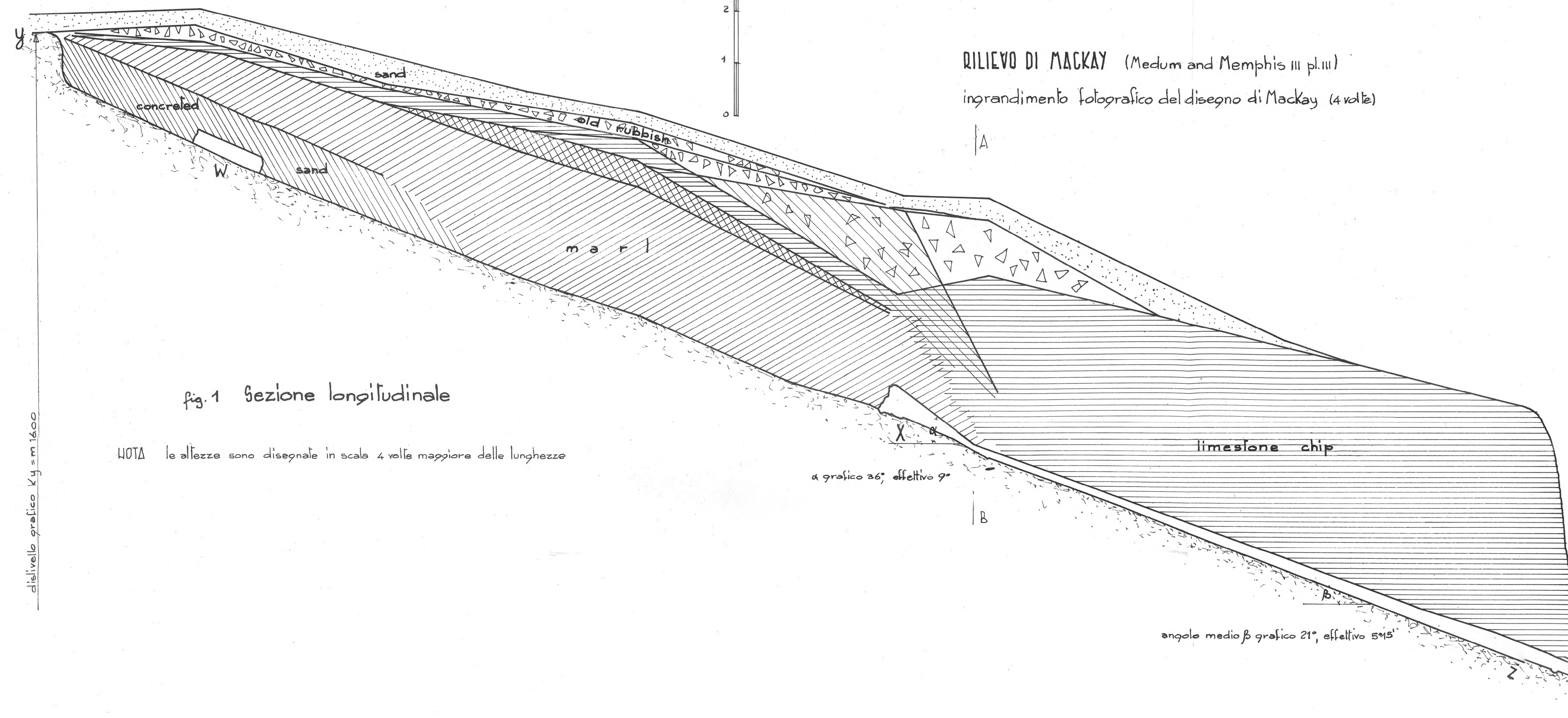


fig. 2  
Sezione trasversale AB

fig. 3 RIDUZIONE DELLE ALTEZZE ALLA MEDESIMA SCALA DELLE LUNGHEZZE

Scala per le orizzontali 1:200

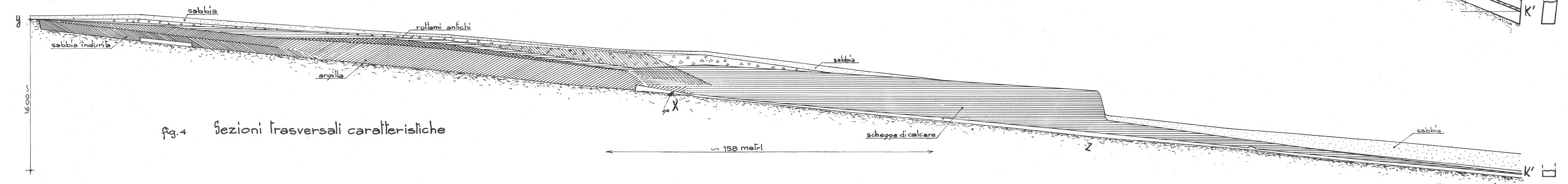
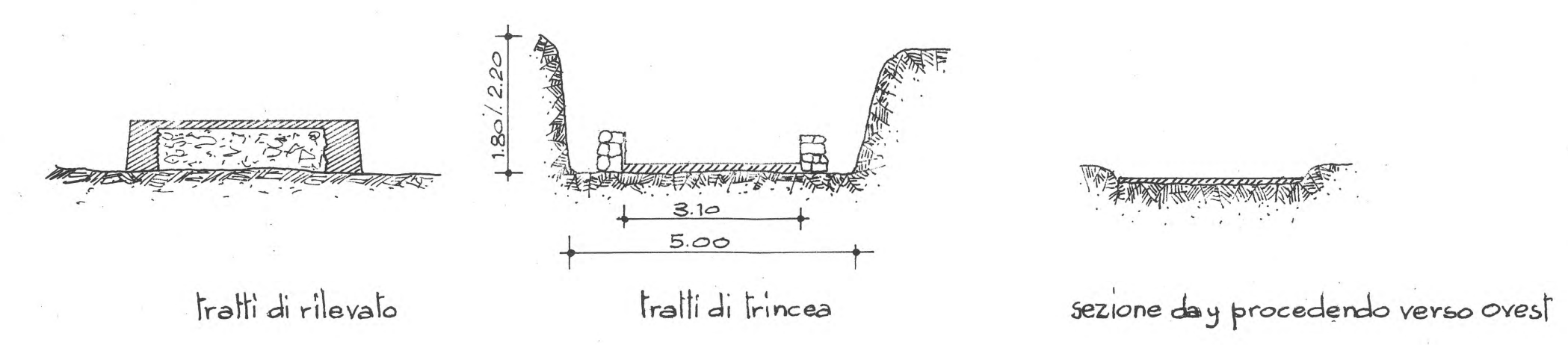


fig. 4 Sezioni trasversali caratteristiche



- schegge di calcare
- argilla (marl)
- sabbia indurita
- sabbia soffice
- rollami antichi
- mattoni
- terreno naturale



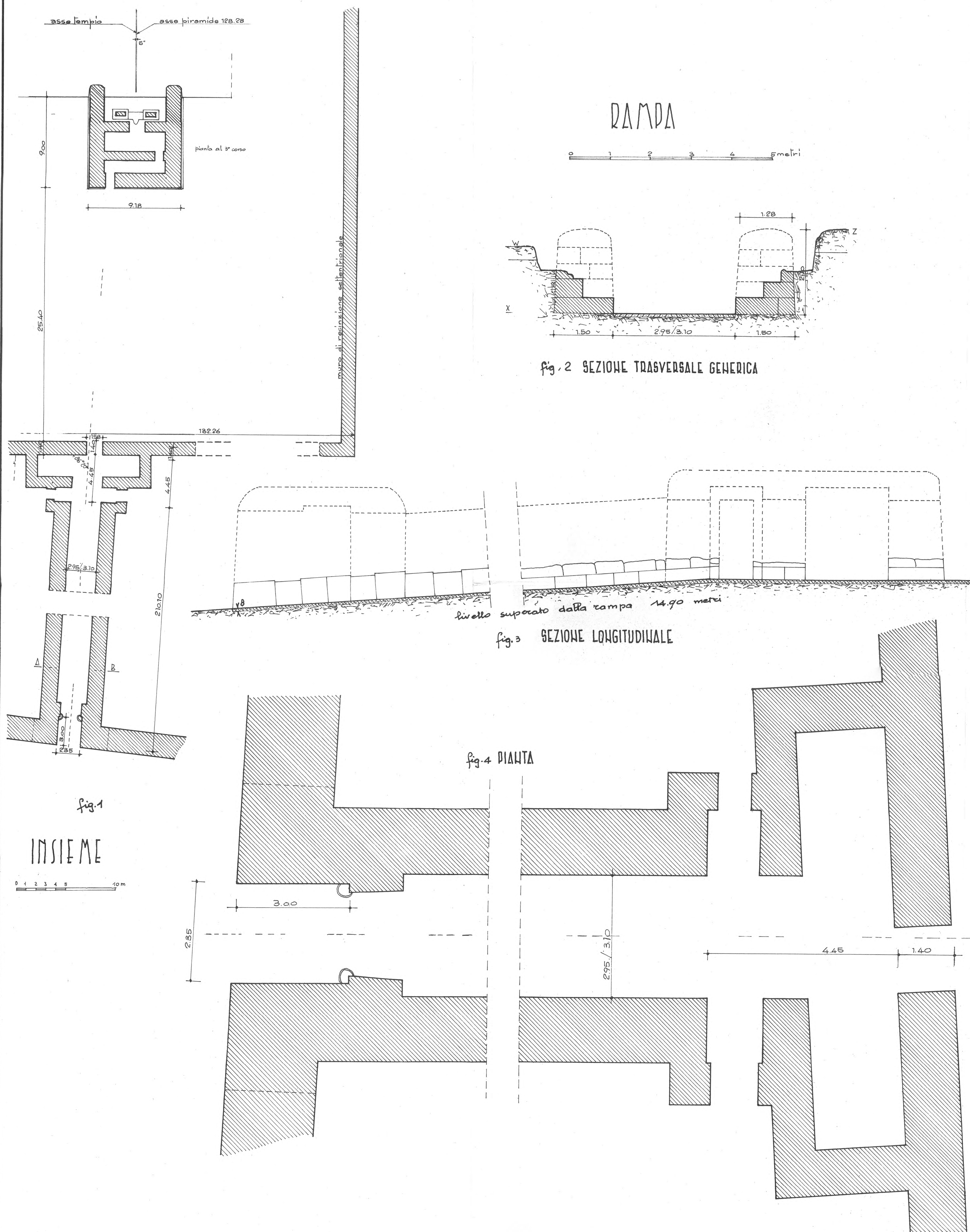


fig. 7 PROSPETTO A LEVANTE

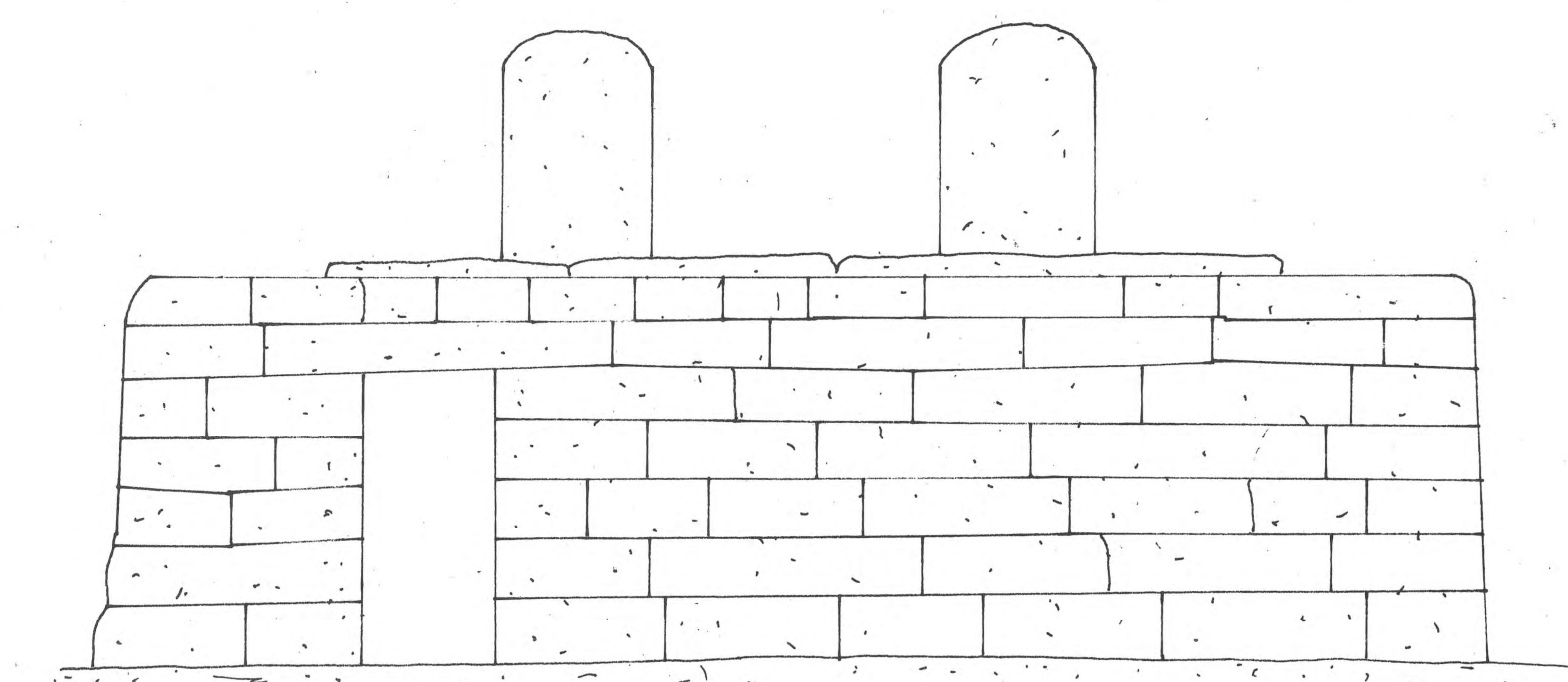


fig. 8 PROSPETTO A MEZZOGIORNO

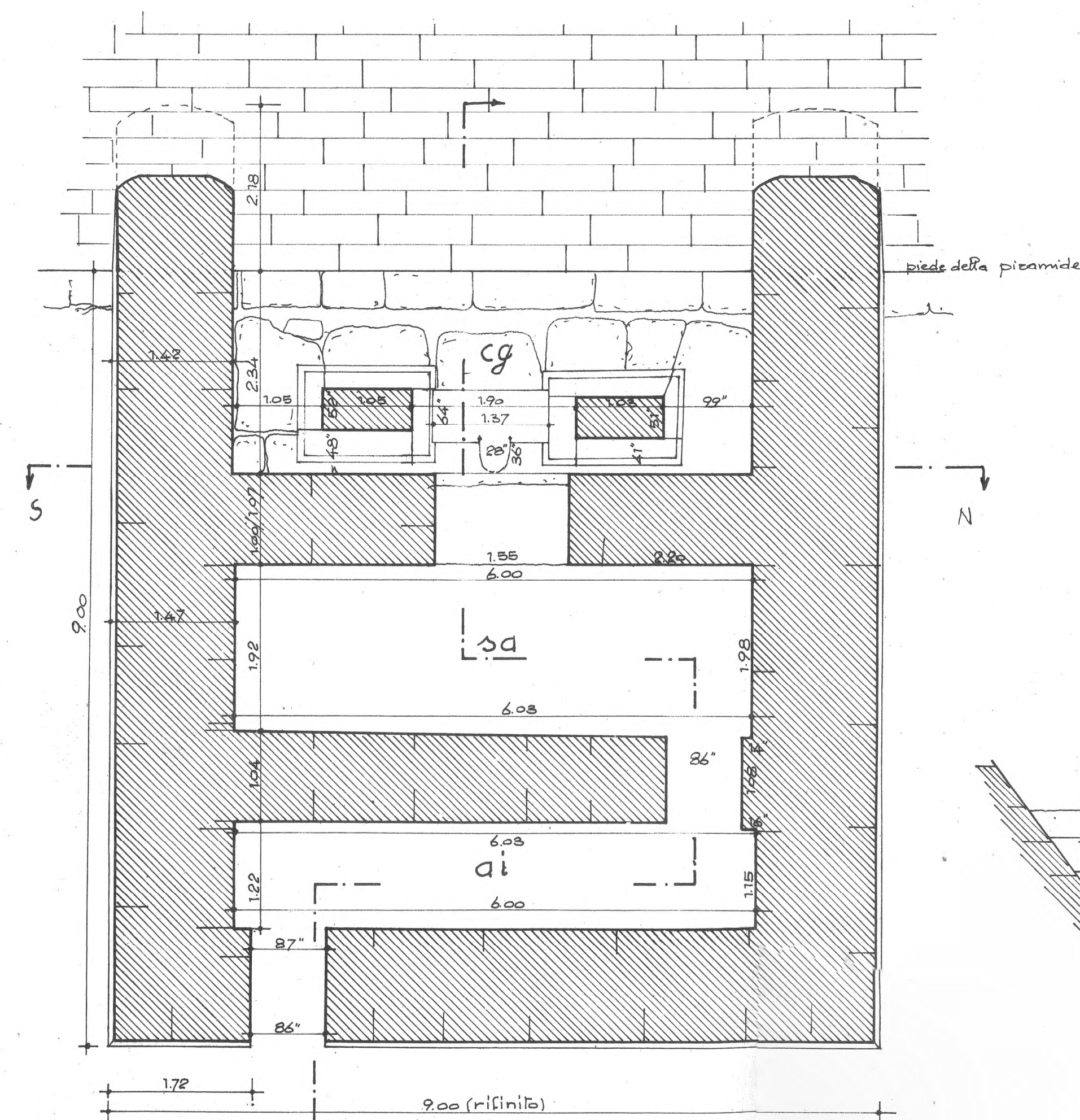
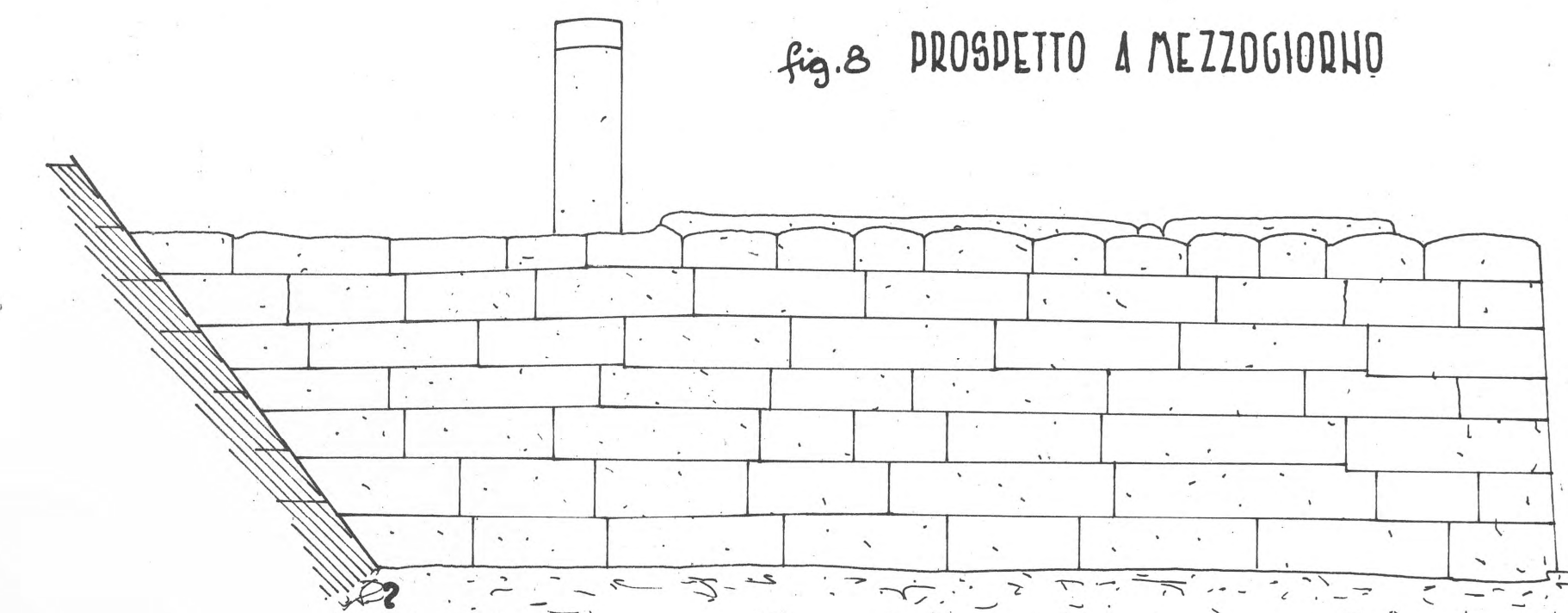


fig. 5 PIANITA (3° CORSO)

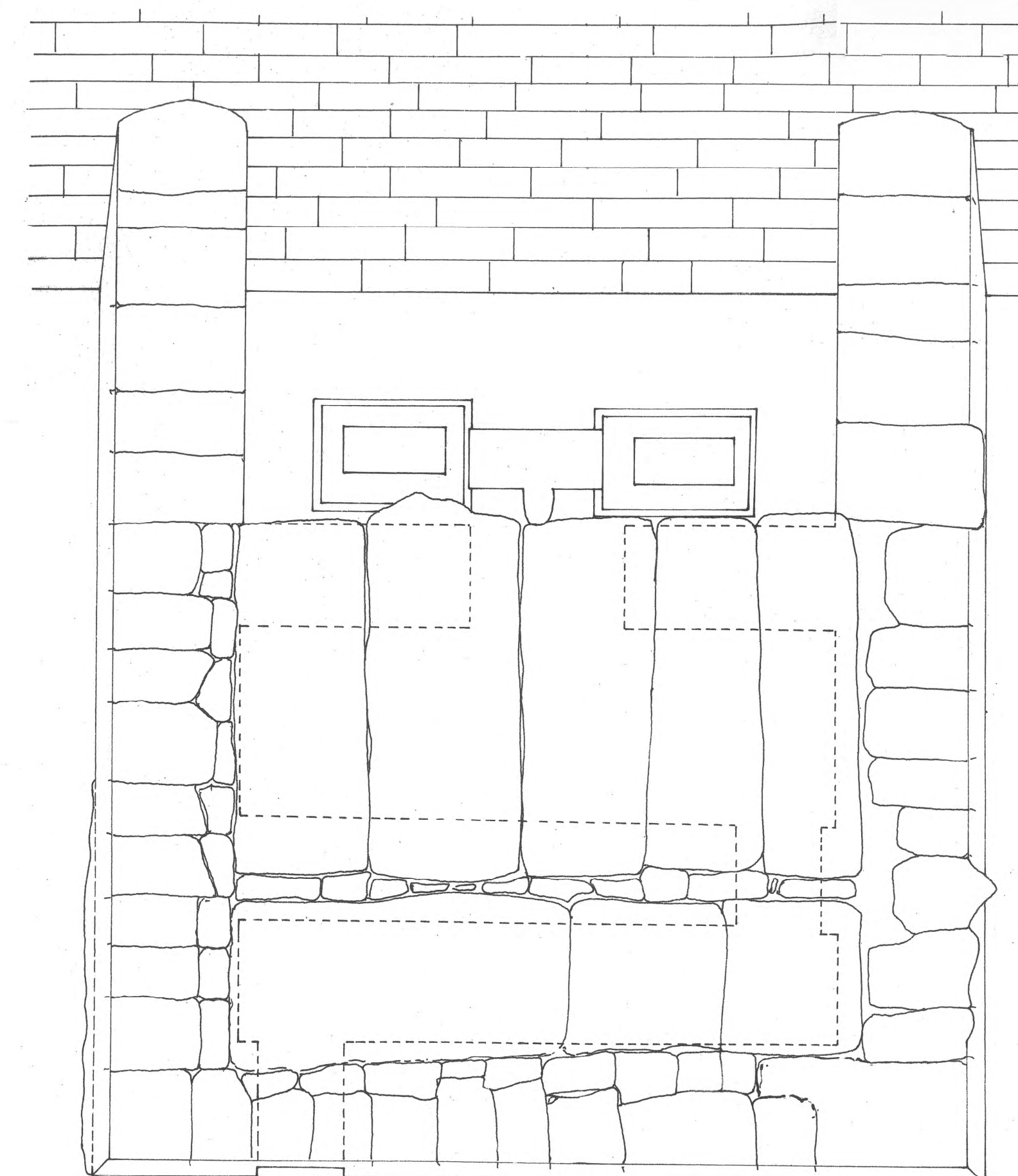


fig. 6 PIANITA DELLA COPERTURA

fig. 9 SEZIONE W-E guardando a nord

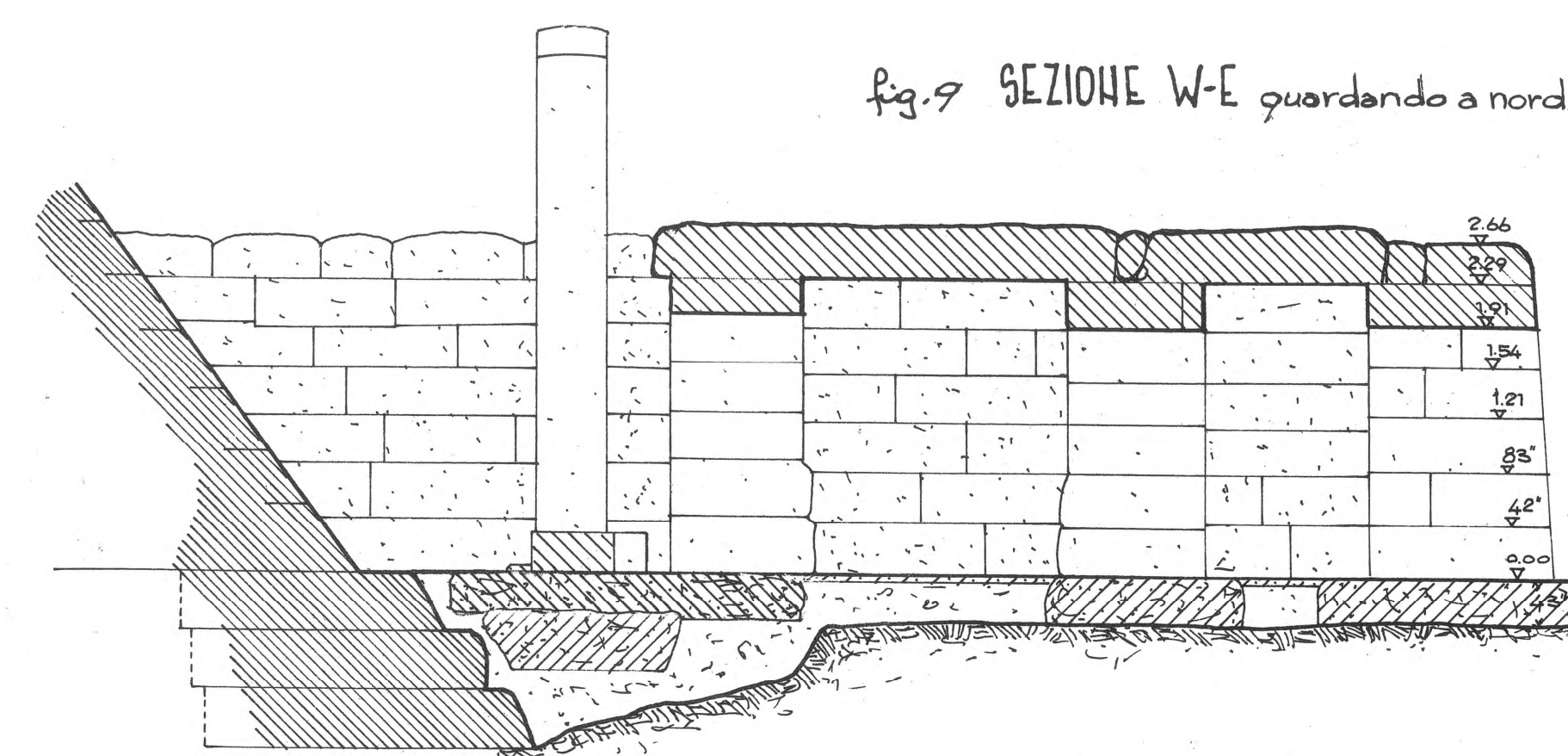
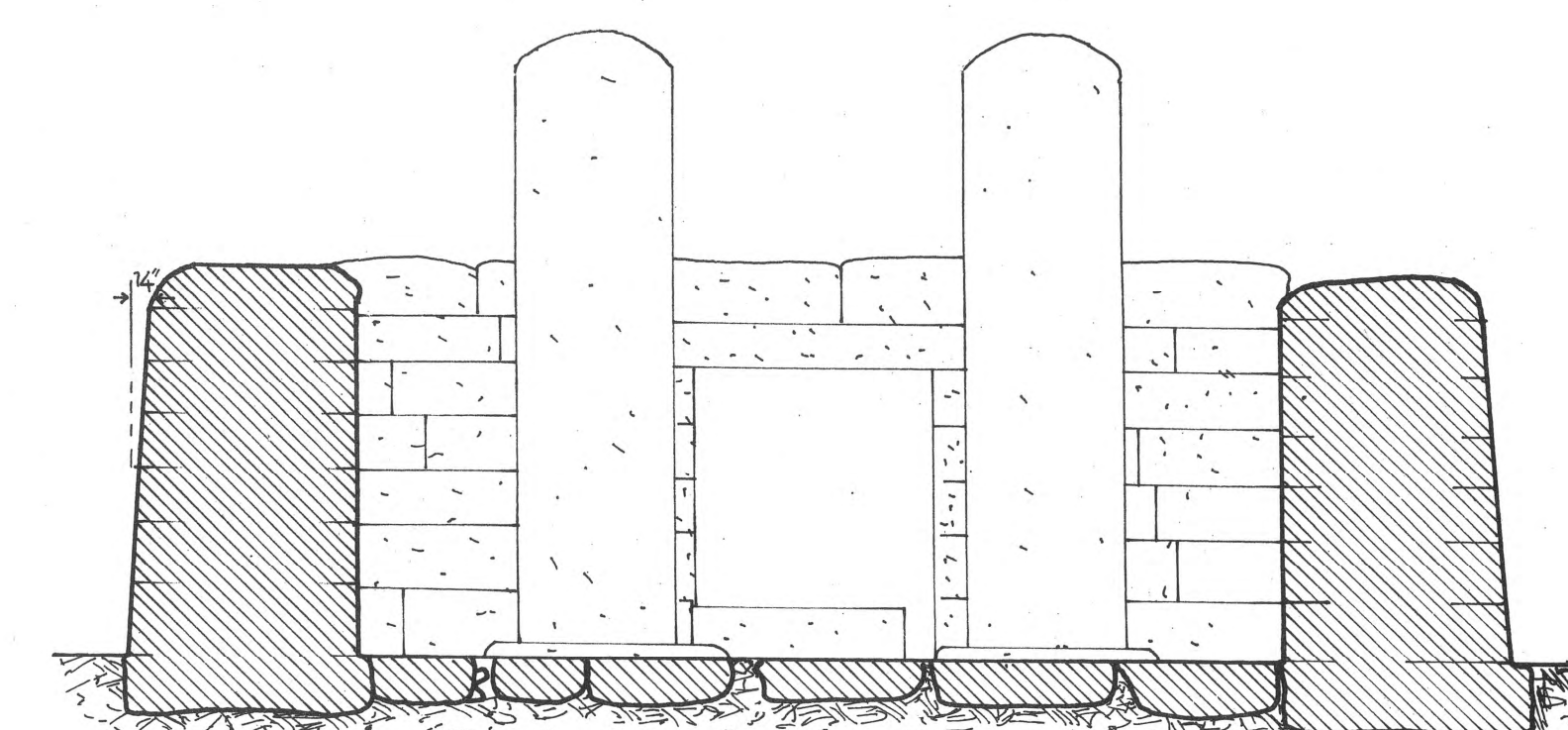


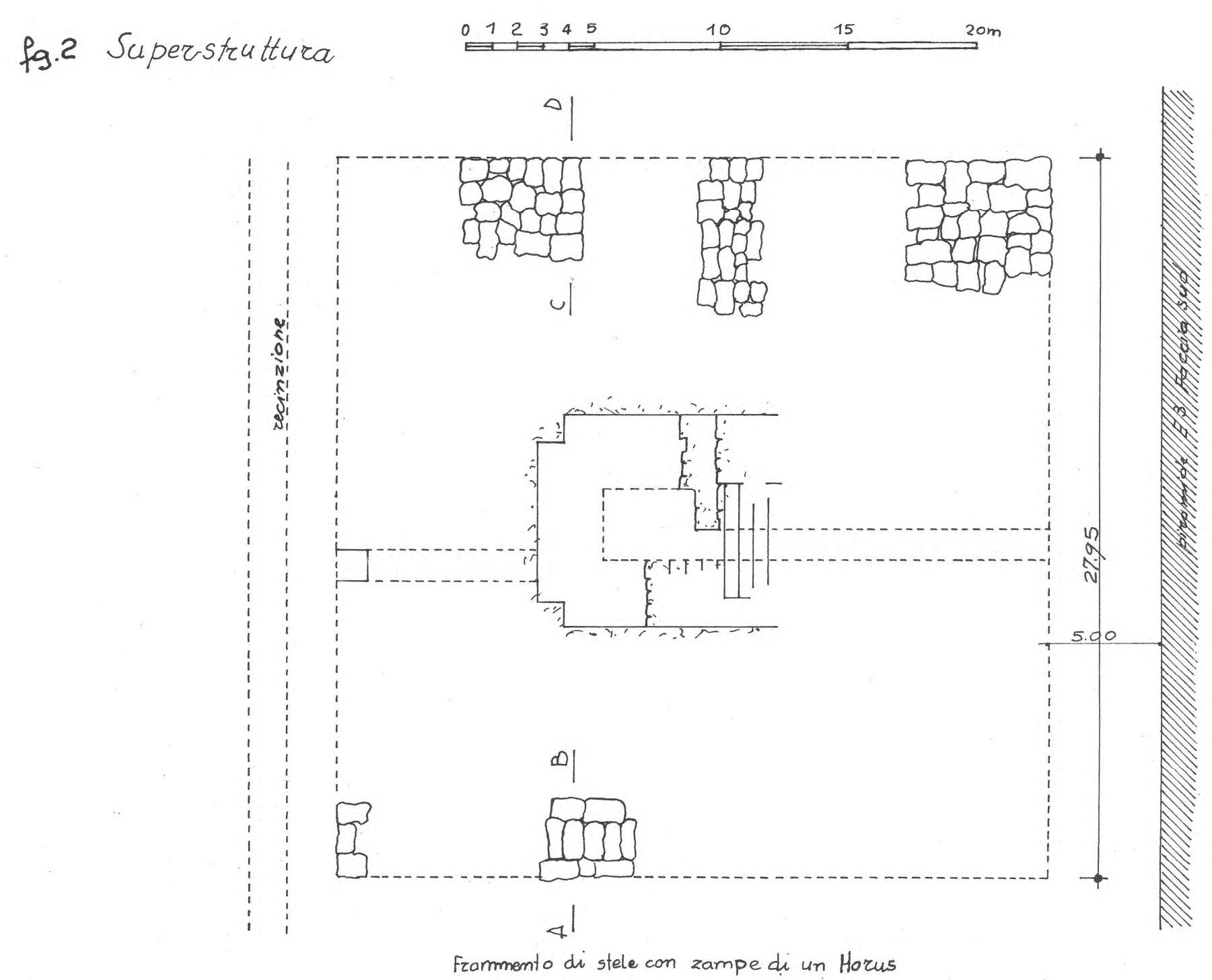
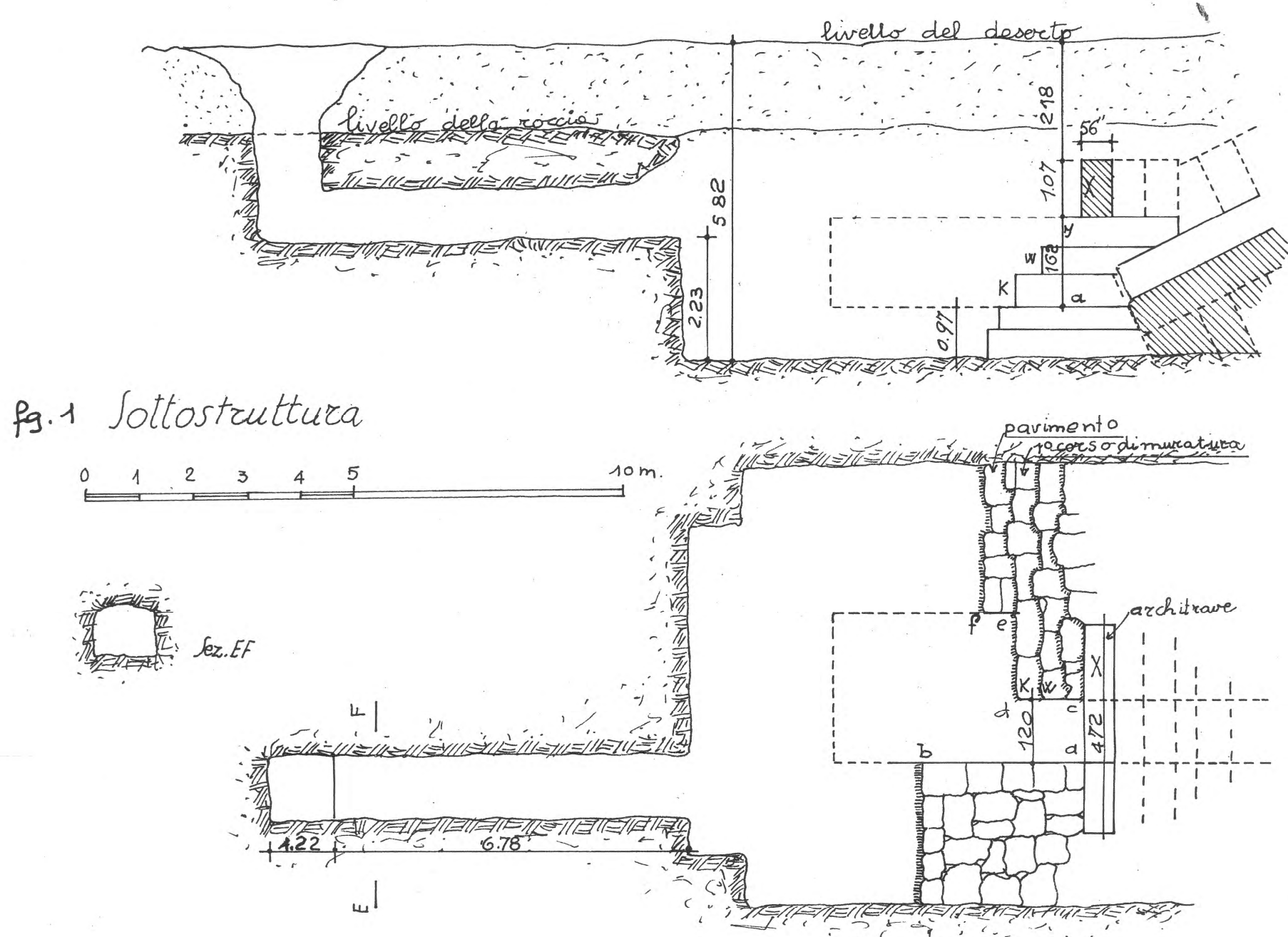
fig. 10 SEZIONE W-E guardando ad est



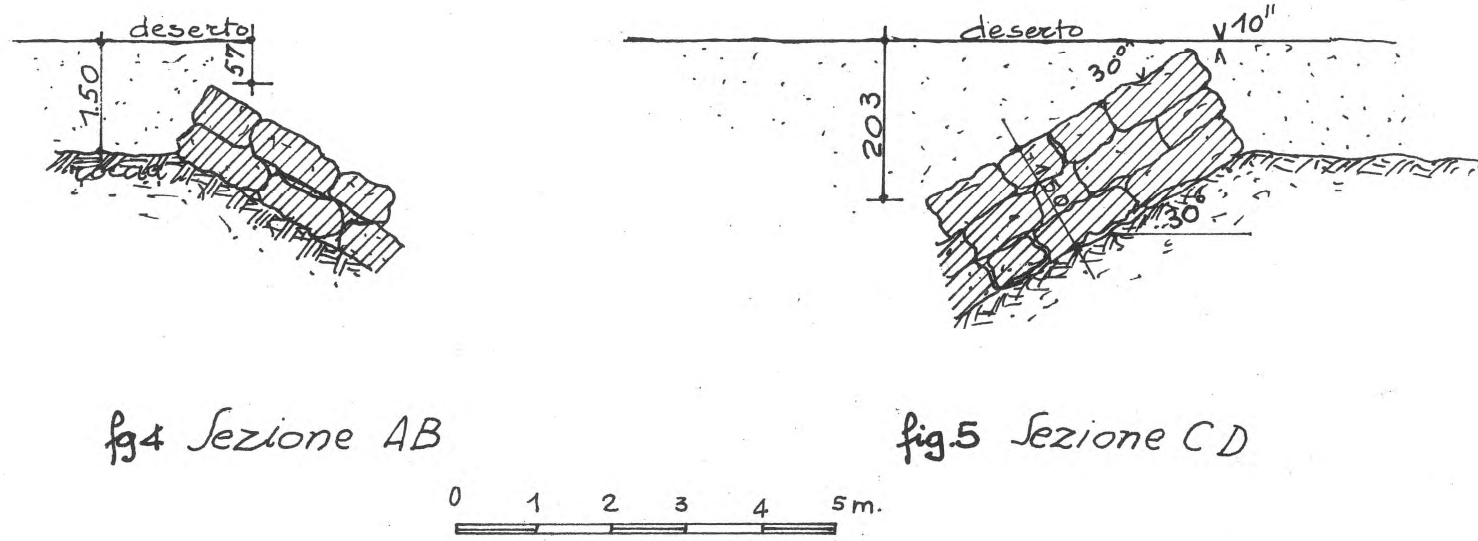
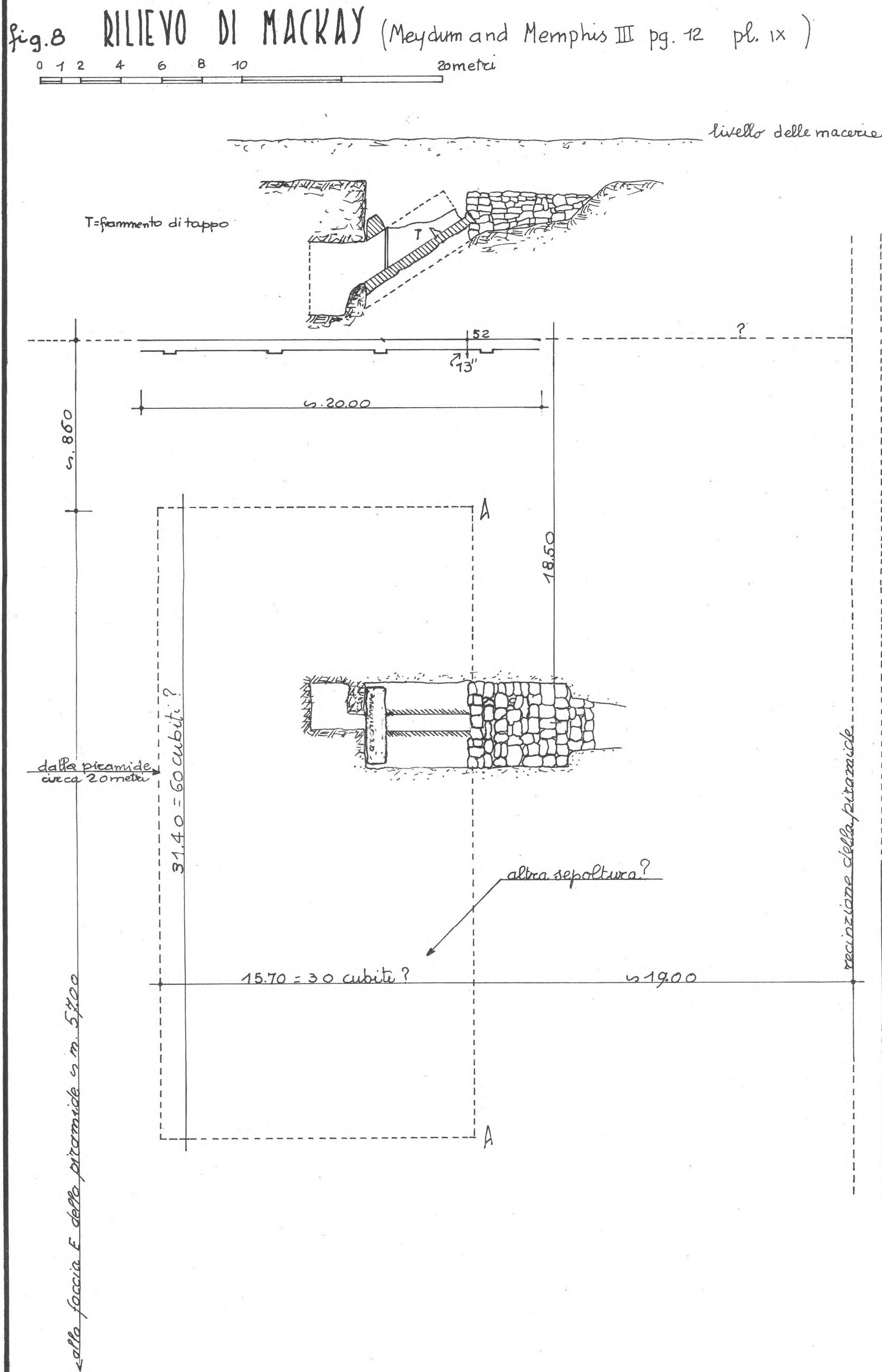


PIRAMIDEITA MERIDIONALE (SOUTH TOMB)

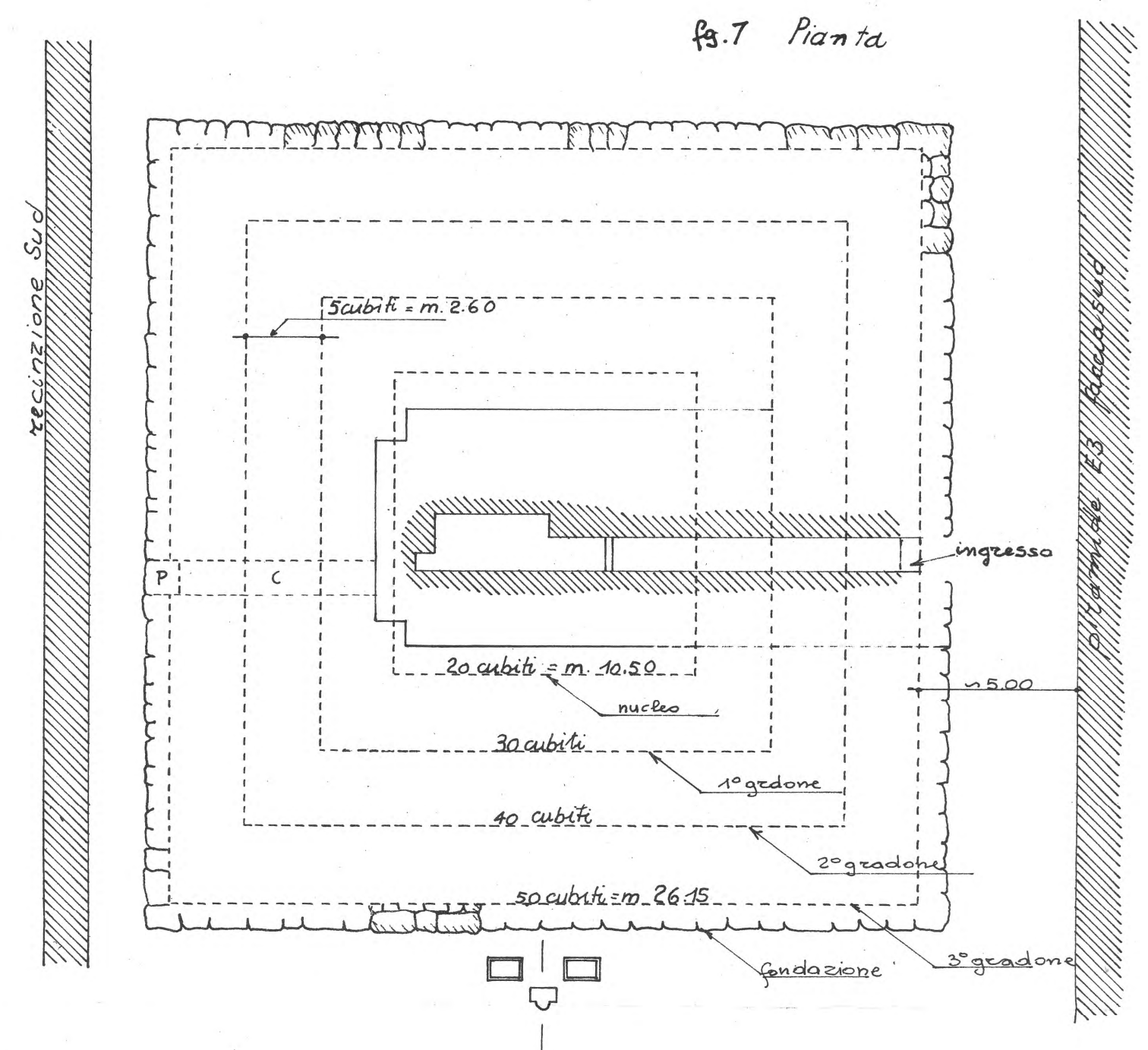
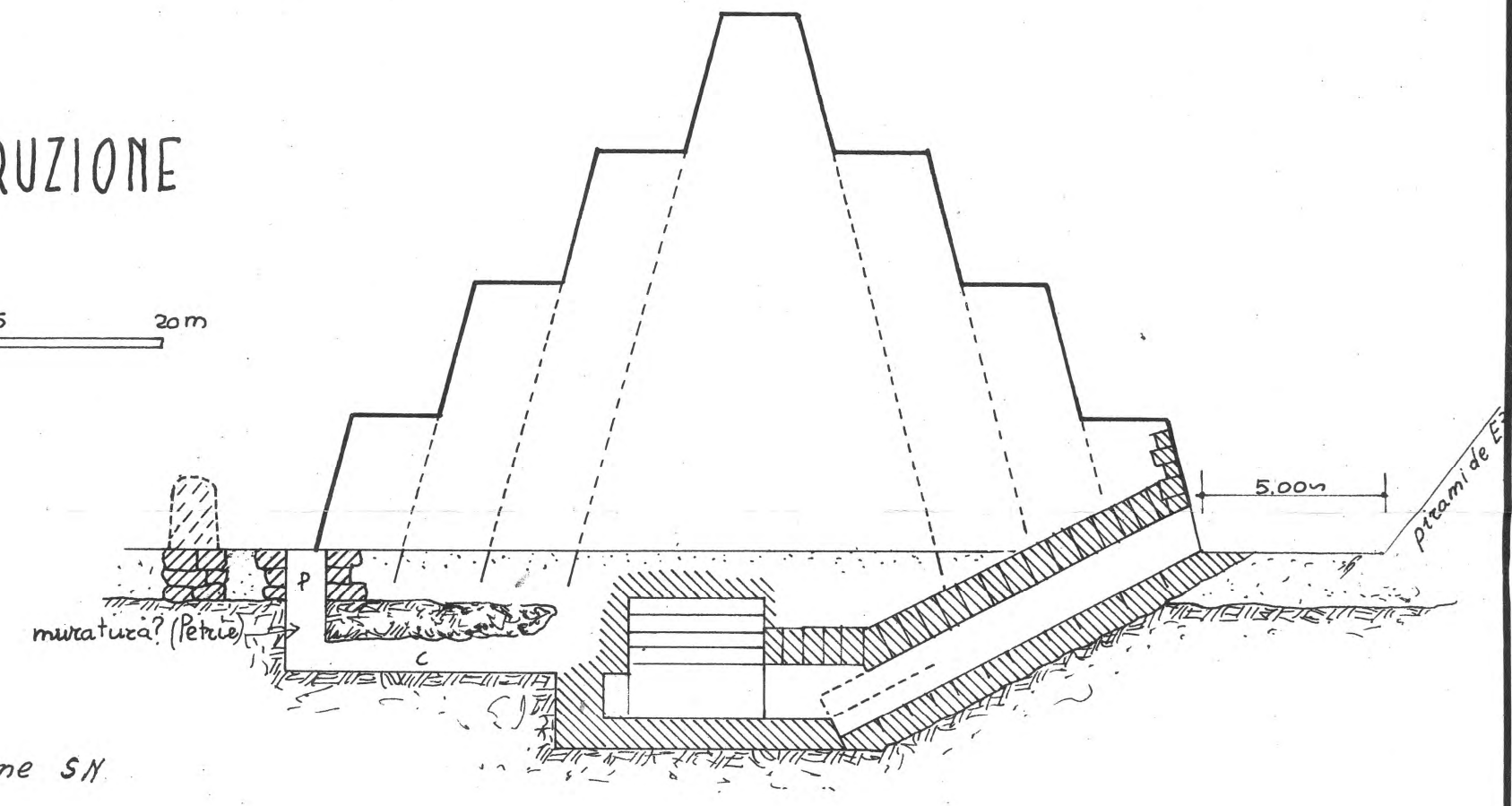
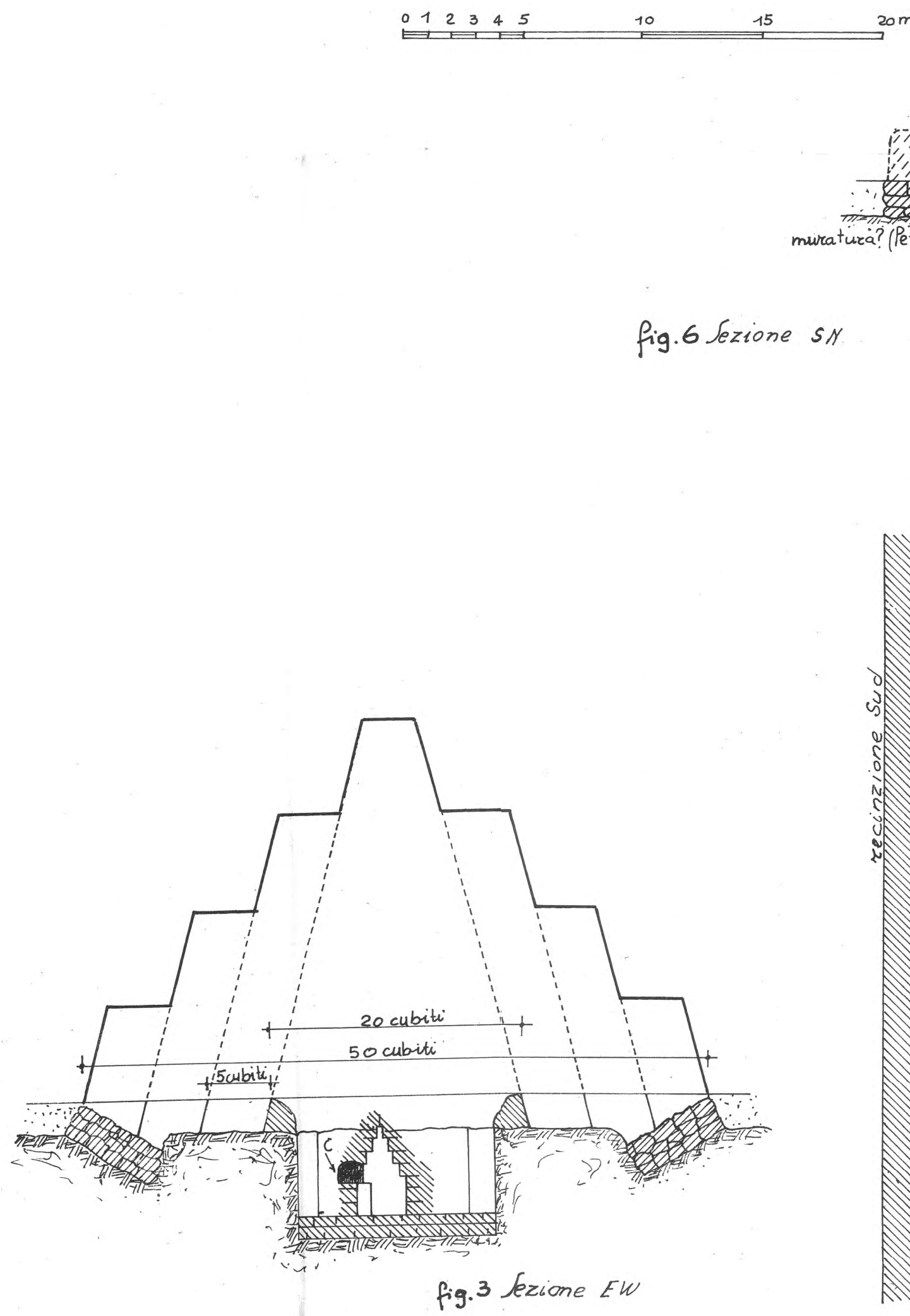
DATI DI SCAVO (Wainwright-Meydum and Memphis III tav. VIII e IX)



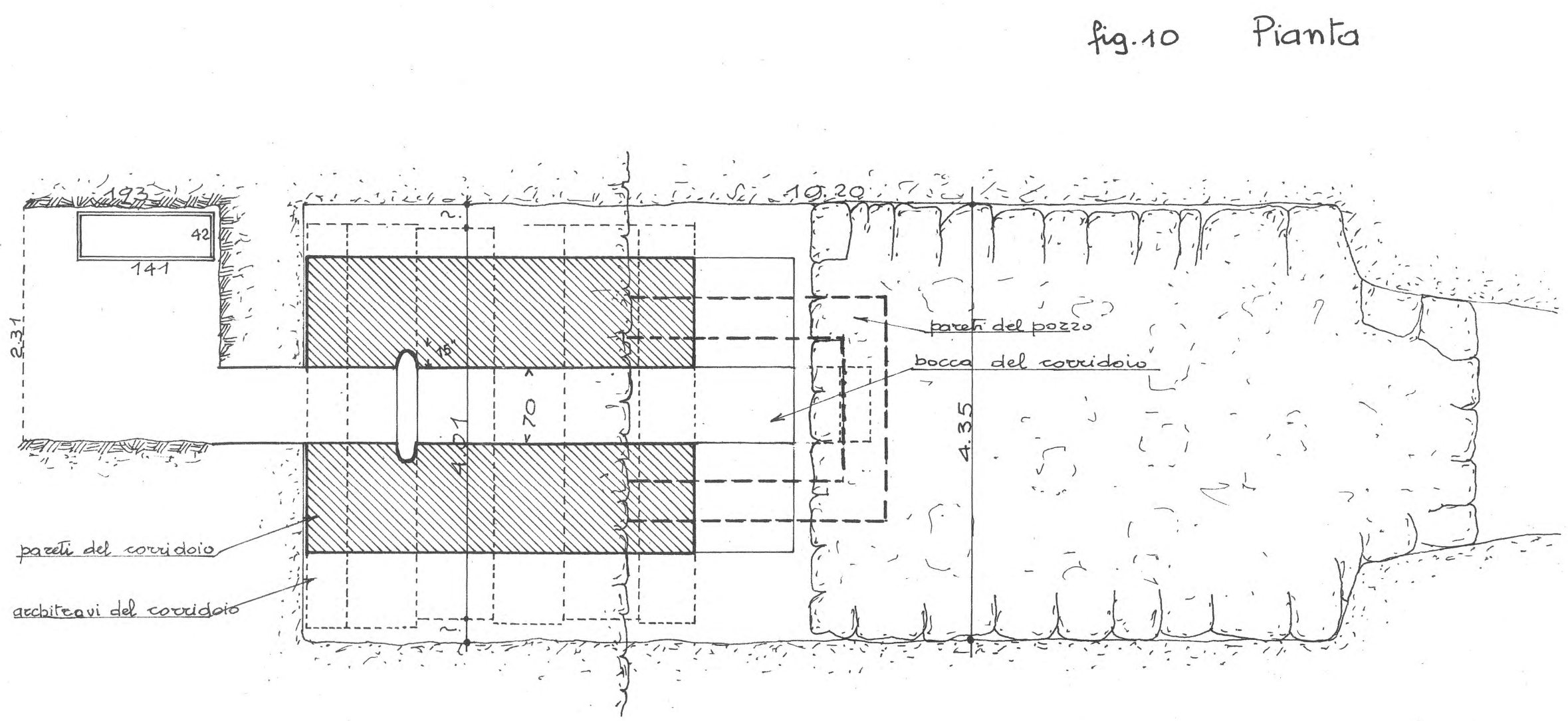
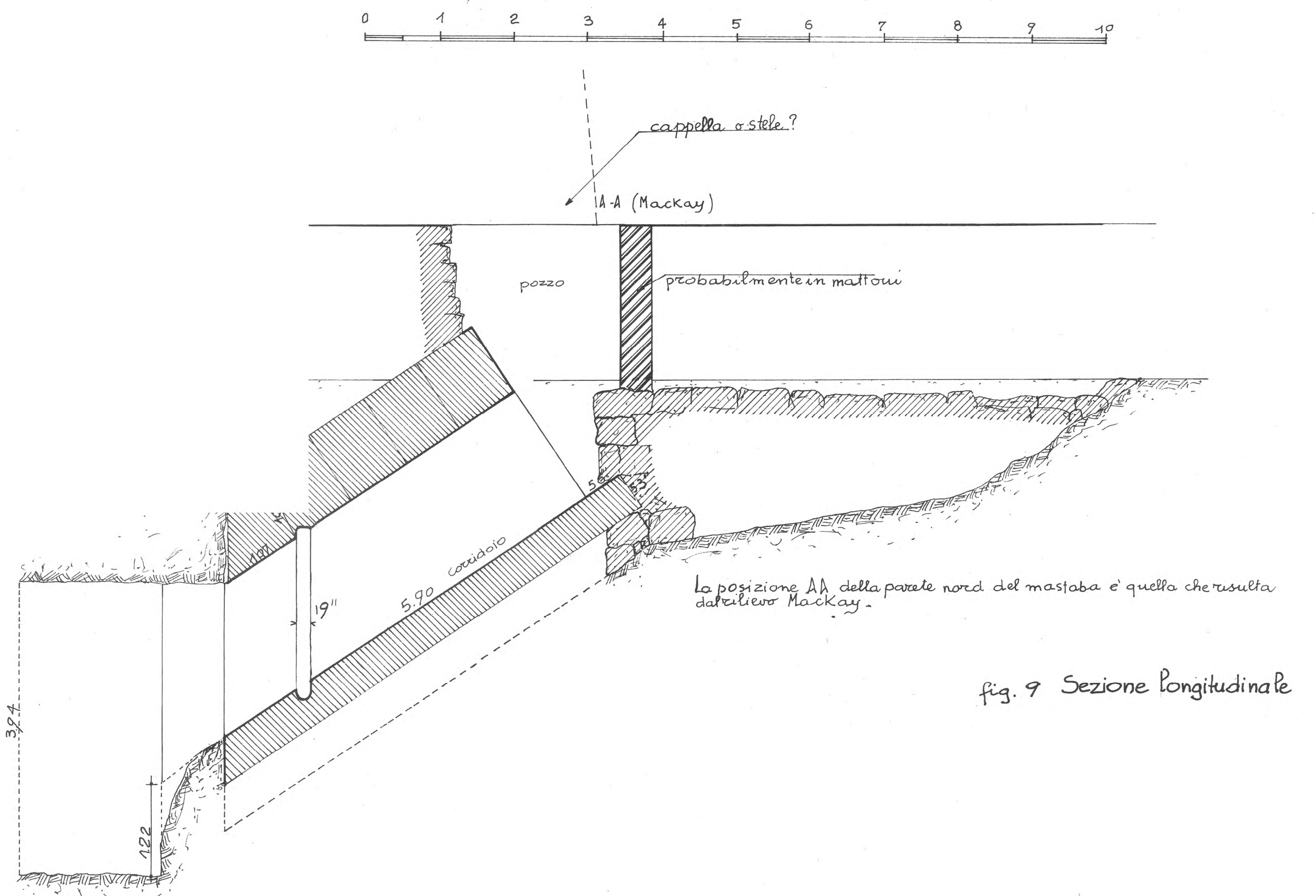
SEPOLCRO A NORD NEL RECINTO DELLA PIRAMIDE



## PROPOSTA DI RICOSTRUZIONE



PROPOSTA DI RICOSTRUZIONE DEI SOTTERRANEI  
sulla scorta delle grandi tombe del Fox Western cemetery contemporanee (scavi Wainwright e Rowe)





## PIRAMIDE E DECINZIONE

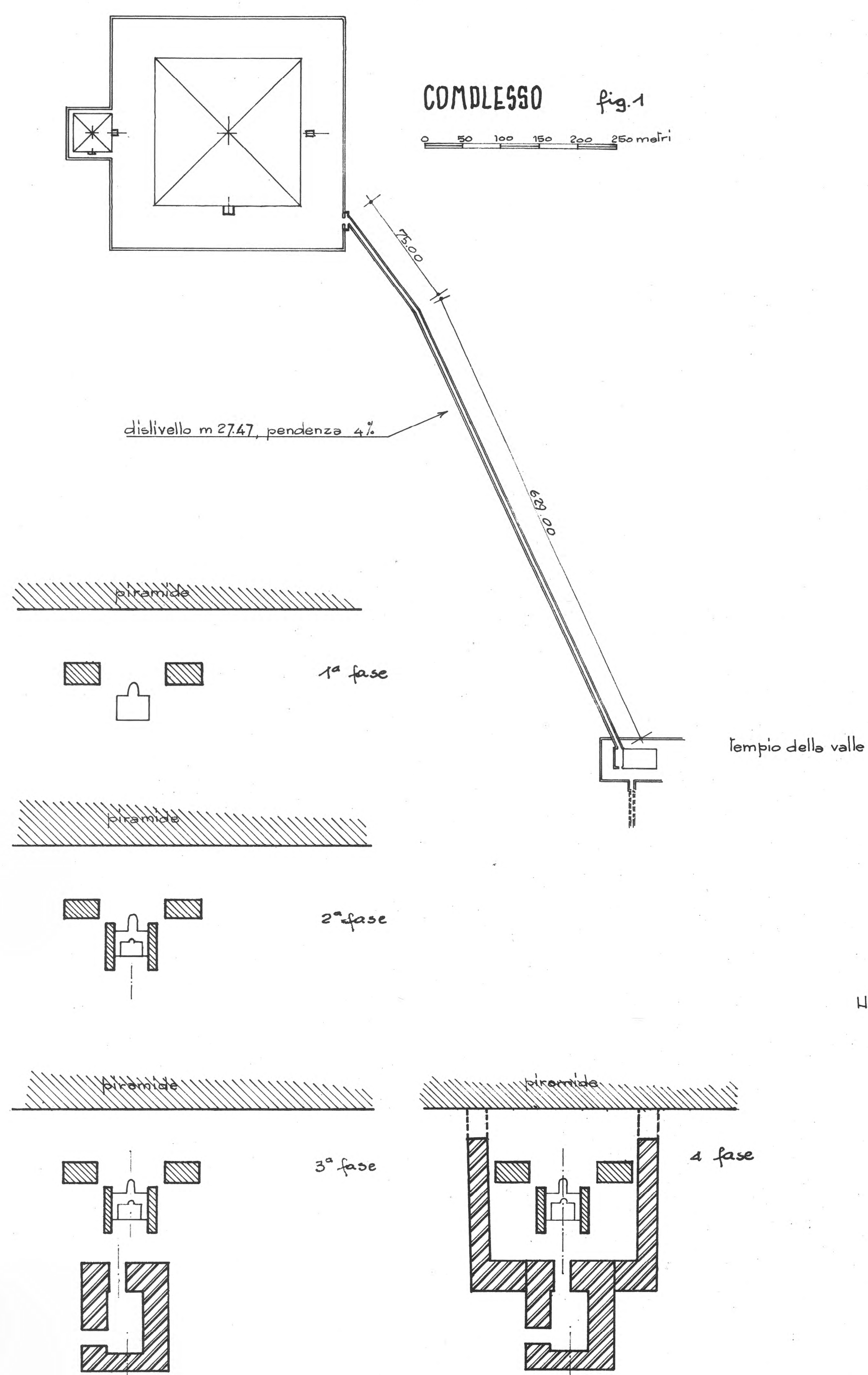
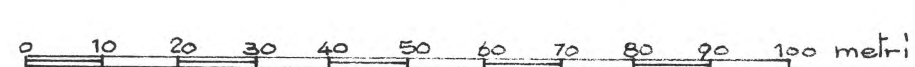


fig.8 SUCCESSIVE FASI DEL TEMPIO AD EST



TEMPIO A LEVANTE

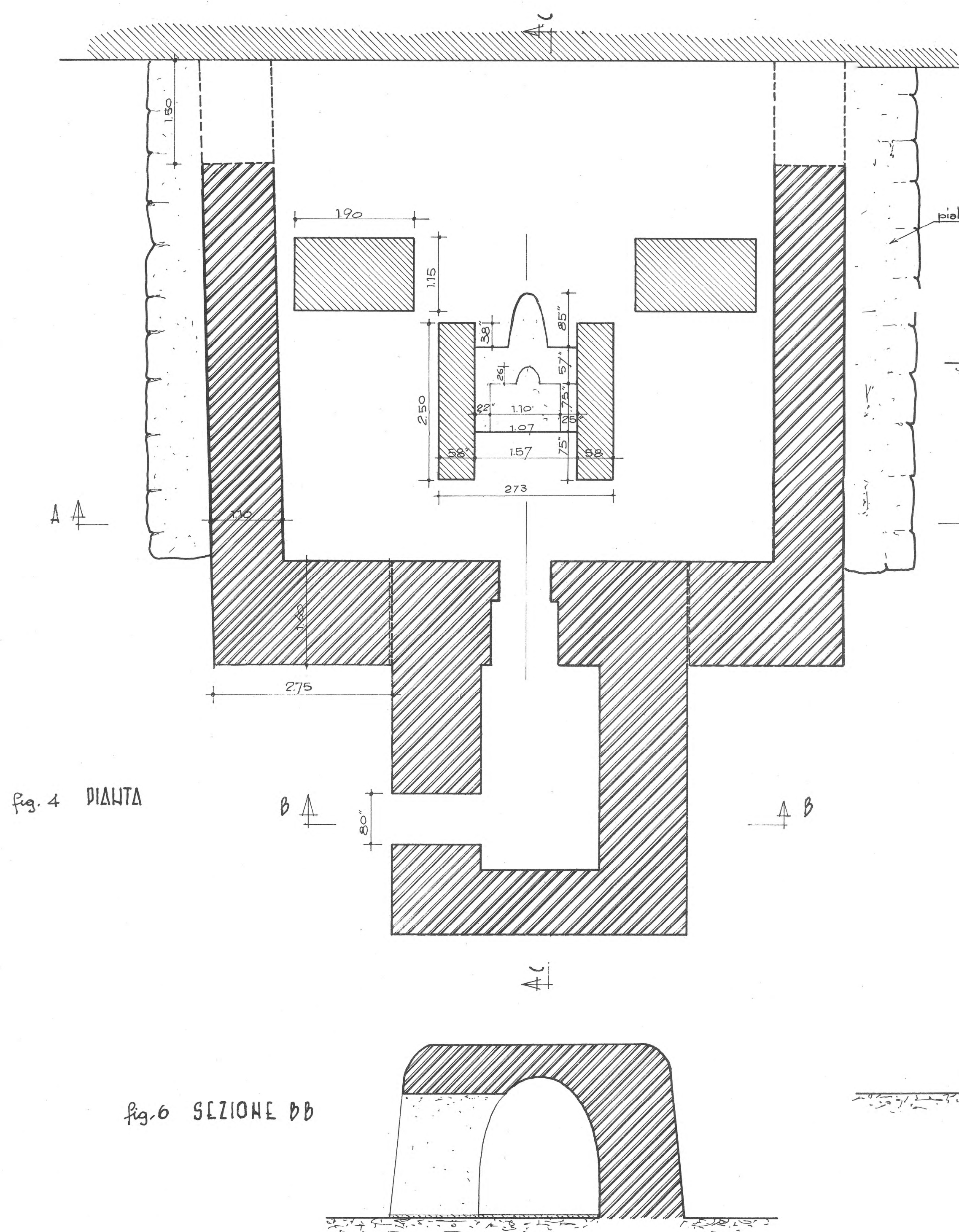
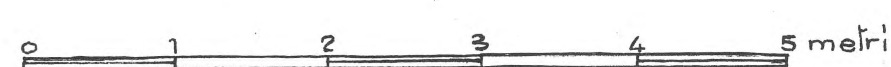
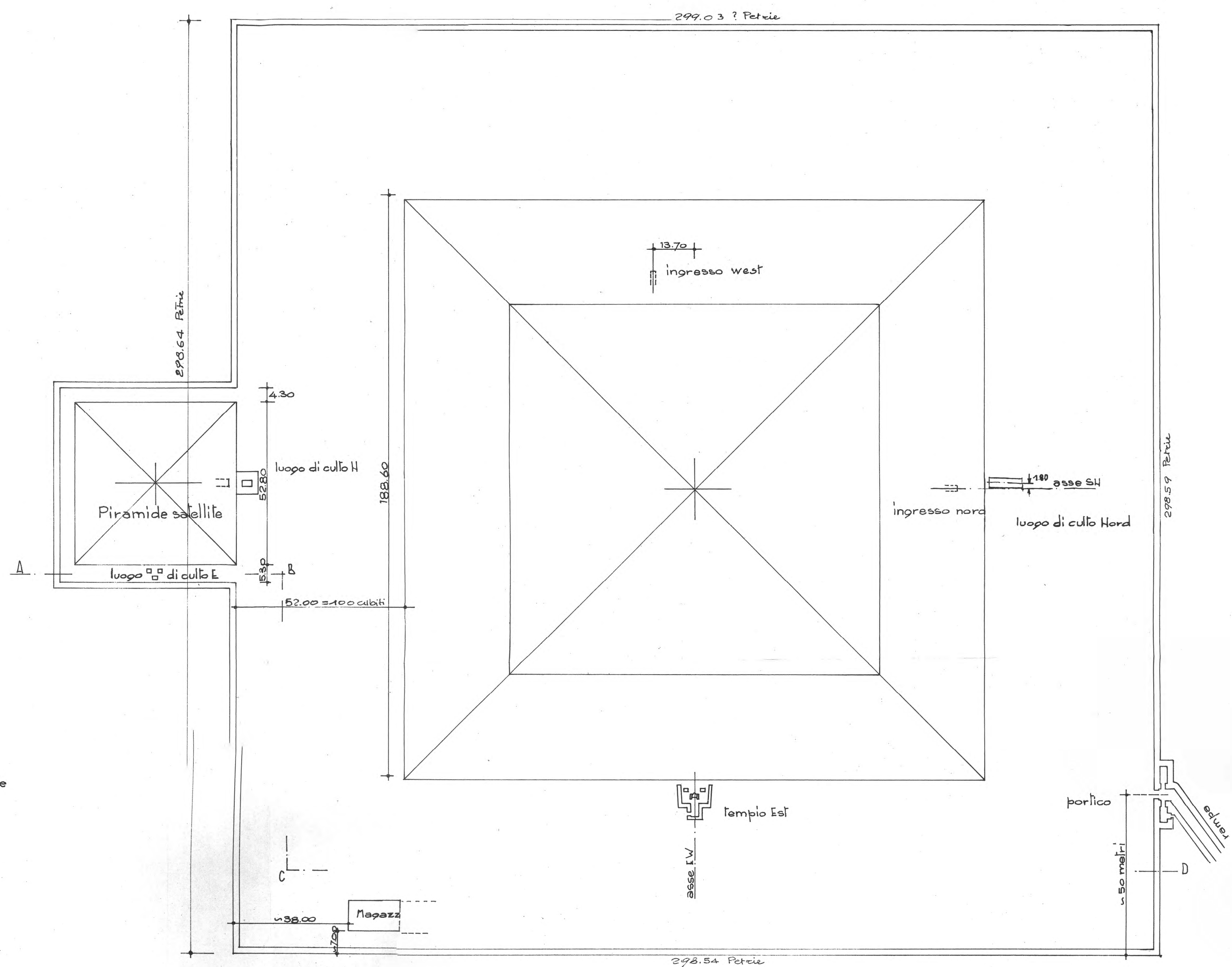
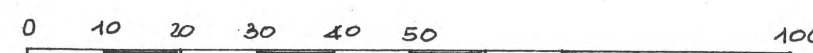
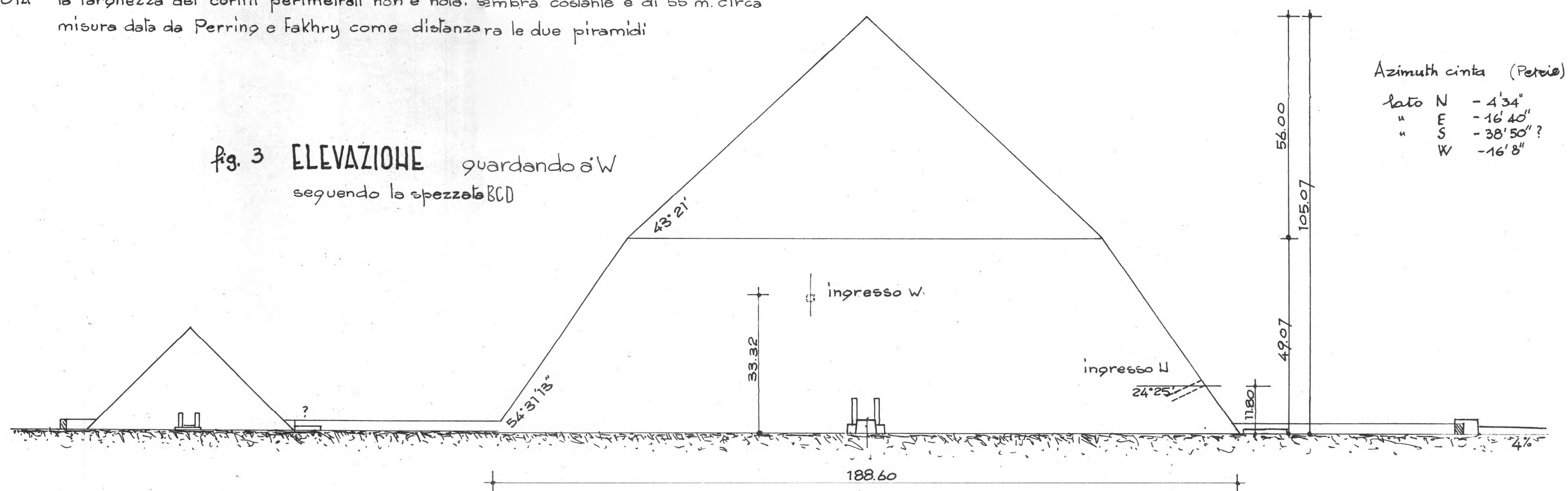


fig. 6 SEZIONE BB



NOTA la larghezza dei cortili perimetrali non è nota: sembra costante e di 55 m. circa misura data da Perring e Fakhry come distanza tra le due piramidi

Fig. 3 ELEVAZIONE guardando a'W  
seguendo la spezzata BCD



Azimuth cinta (Petae)

lato	N	- 4' 34"
"	E	- 16' 40"
"	S	- 38' 50" ?
	W	- 16' 8"

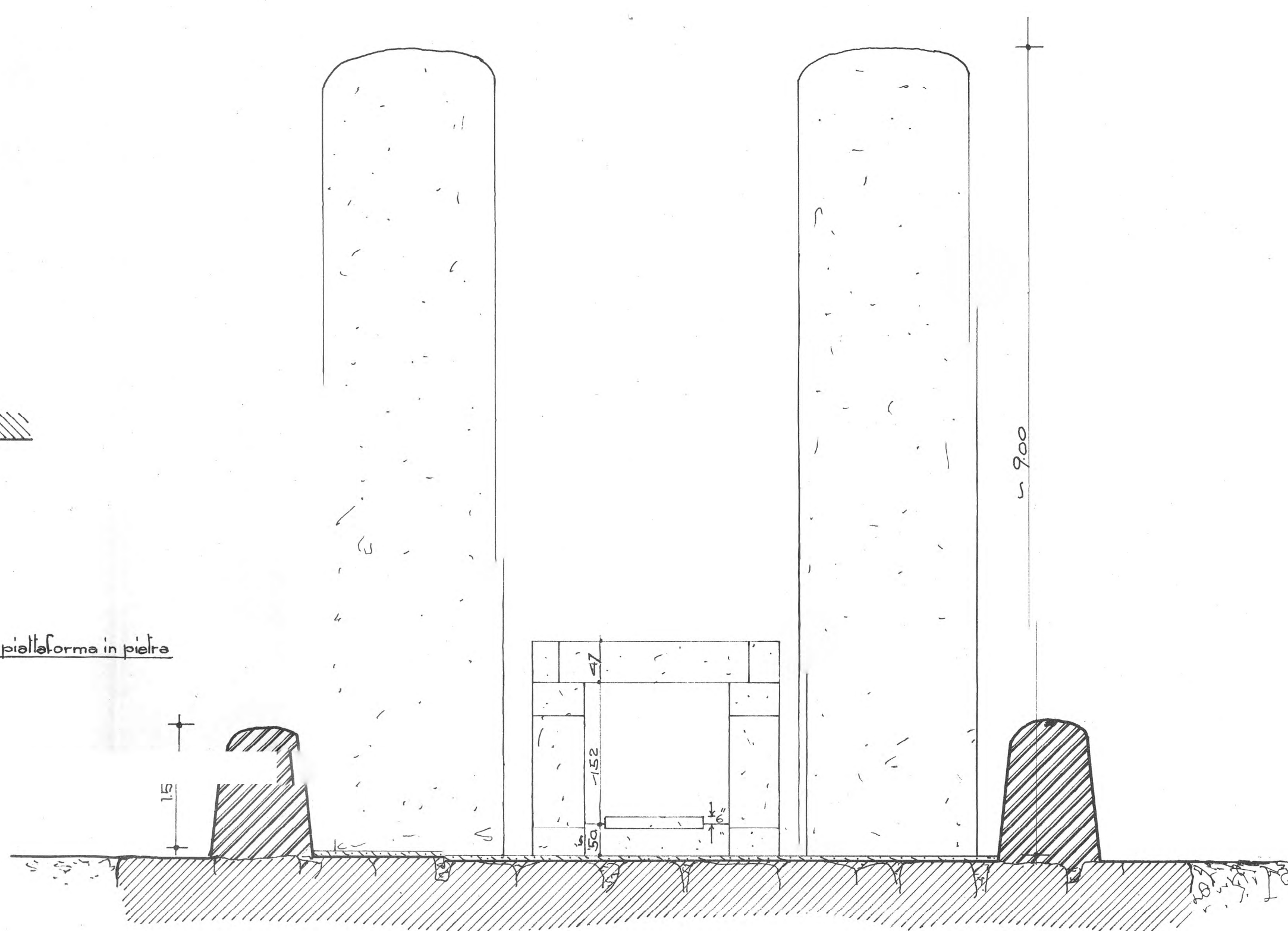


fig.5 SEZIONE AA

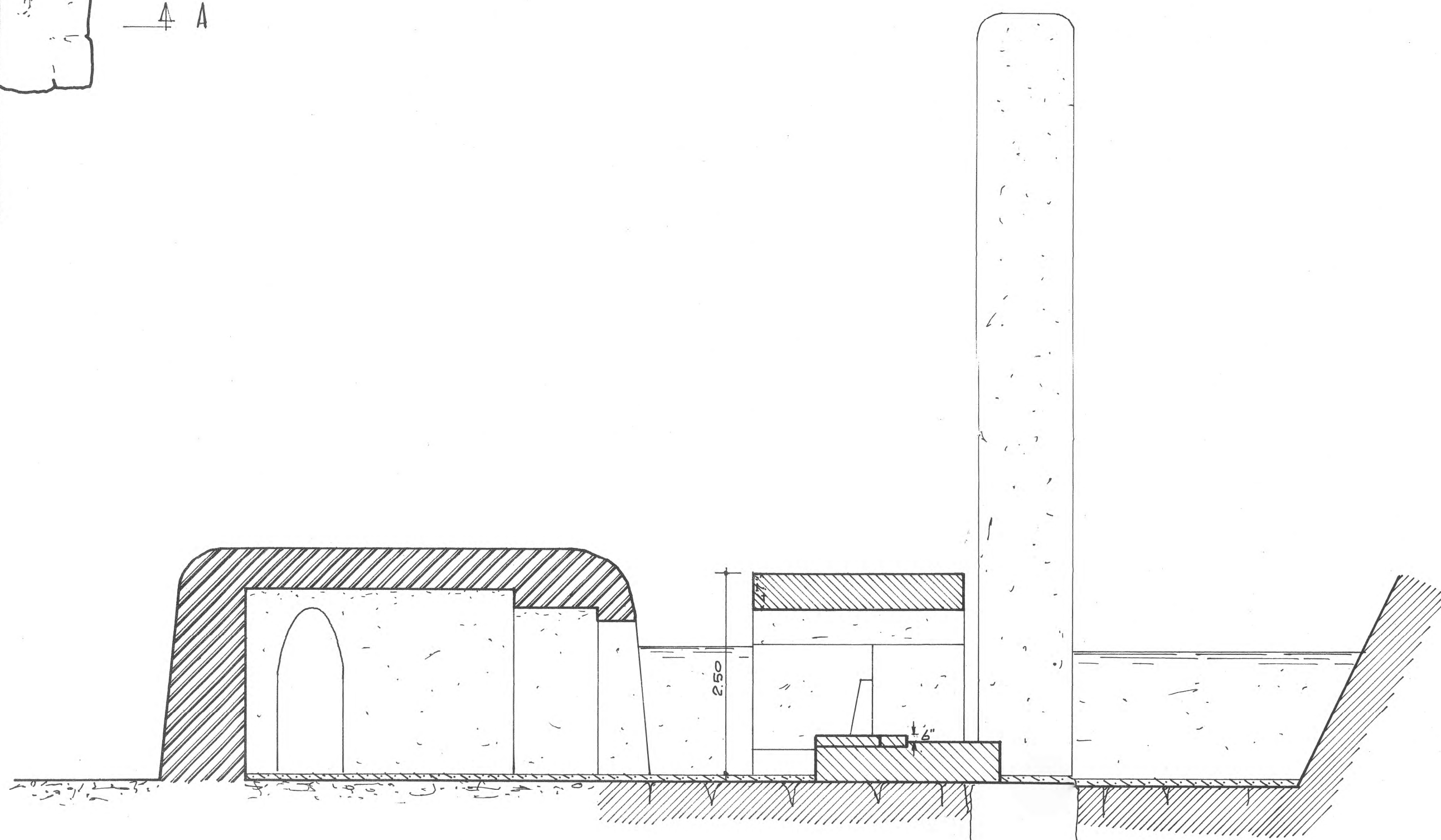


fig. 7 SEZIONE CC



**APPARTAMENTO SUPERIORE**

Fig. 1 SEZIONE WE a m. 13.70 aa Sud dell'asse EW della piramide

West Est

asse EW della piramide

asse NS della piramide secondo Perrin

camera superiore

camera inferiore (Sezione a circa 4 metri a Nord dell'asse EW della piramide)

livello del suolo

MH 30.9

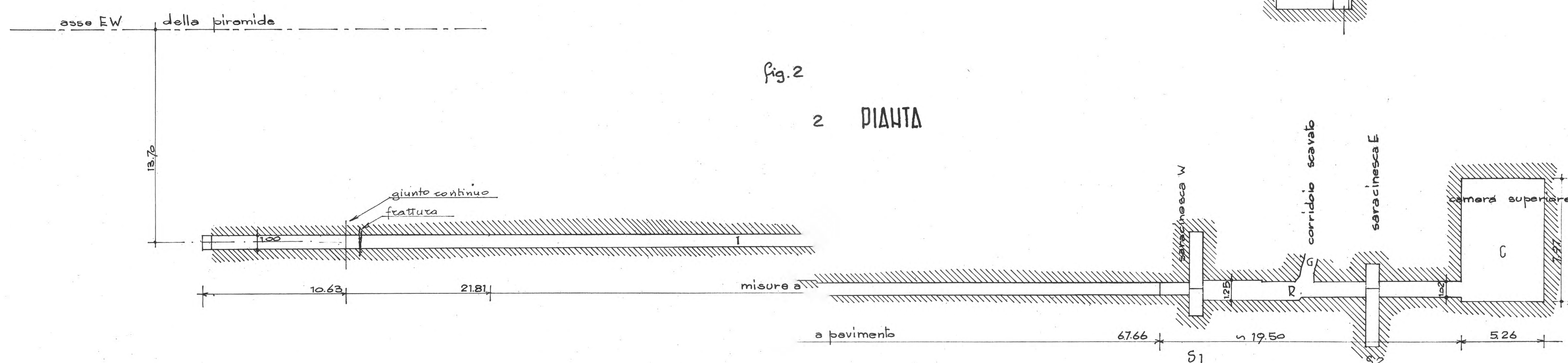
MH 26.77

MH 21.13

giunto continuo frattura

0m 1m 2m

2 PIANTE



A cross-sectional diagram of a well casing and socket assembly. The diagram shows a tapered casing with horizontal lines, labeled 'casing'. Below the casing is a horizontal section labeled 'socket'. To the left of the socket is a section labeled 'pavm.' (paving). To the right of the socket is a section labeled 'smt' (soil). The entire assembly is shown within a larger, irregular shape representing the well structure.

[illegible]

Fig. 4 PIASTA  
punto d'incontro col terreno

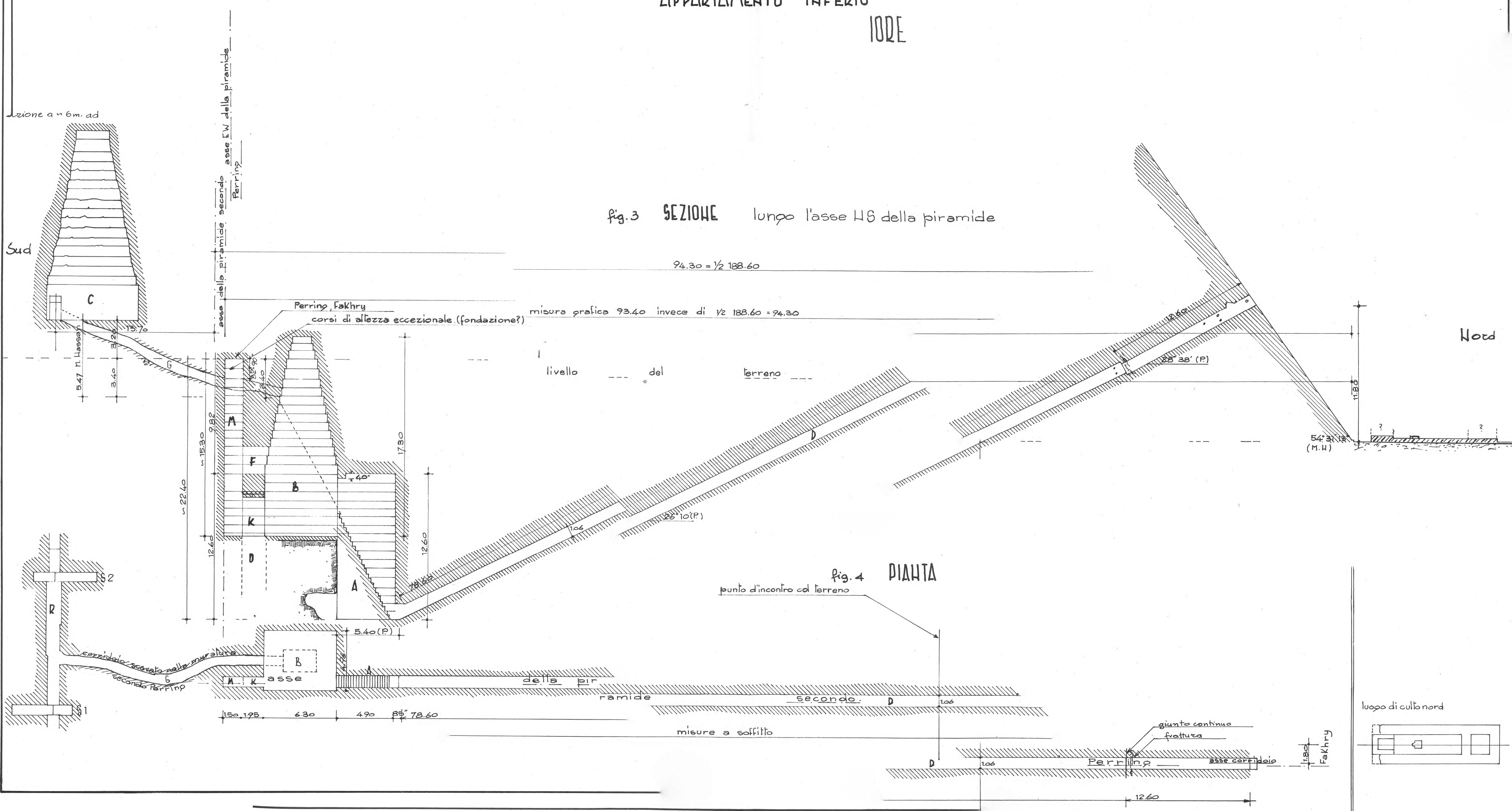






fig 1 CARATTERISTICHE

l'inclinazione della congiungente i due punti di frattura è uguale a quella della faccia della parte inferiore.

per l'esame dell'assetamento ed del suo comportamento tenere presente che le osservazioni sono fatte su due facce diverse potrebbe quindi anche essere che l'angolo iniziale fosse stato anch'esso  $54^{\circ} 31' 13''$

fig.2 INSIEME DEI SOTTERRANEI

fig. 3

Relazione fra l'asse del luogo di culto  
e quello del corridoio discendente D

la pianta è disegnata rappresentando i vani al piano pavimento indipendentemente dalla quota (indicata) di quest'ultimo

praticamente l'asse del luogo di culto nord è il medesimo della camera inferiore in direzione NS



## APPARTAMENTO INFERIORE

0 1 2 3 4 5 6 7 8 9 10 metri

## Sezioni generiche

0 1 metro

fig. 1 SEZIONE LONGITUDINALE

i giunti verticali sono puramente indicativi

trasversale

longitudinale

La parete Est è del tutto simile - La profondità del foro è pari a cm. 28 ad Est e cm. 18 a W.

Particolare Ingresso

0 1 metro

fig. 7

Ingresso (misure sulla faccia)

fig. 8 parete est

Estremo Sud del corridoio D

ricostruzione (la rottura dello spigolo attuale è disegnata tratteggiata)

fig. 9 parete ovest

Particolare della frattura

0 1 metro

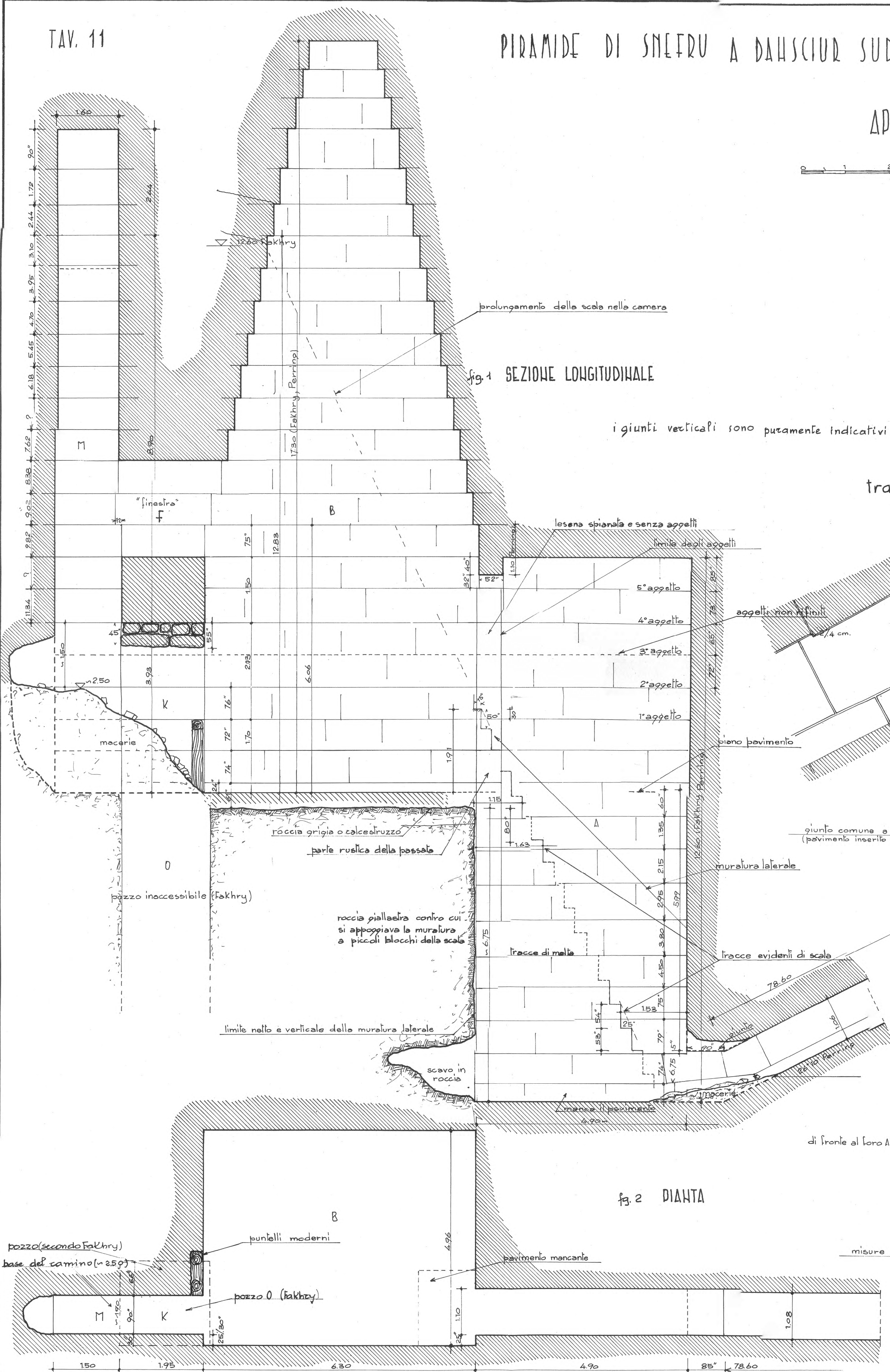
fig. 5

Al fronte al foro F un analogo foro tappato  
Non si sa che cosa ci fosse di fronte al foro F'

misure sulla pendenza

misure a soffitto

fig. 2 DIAMTA

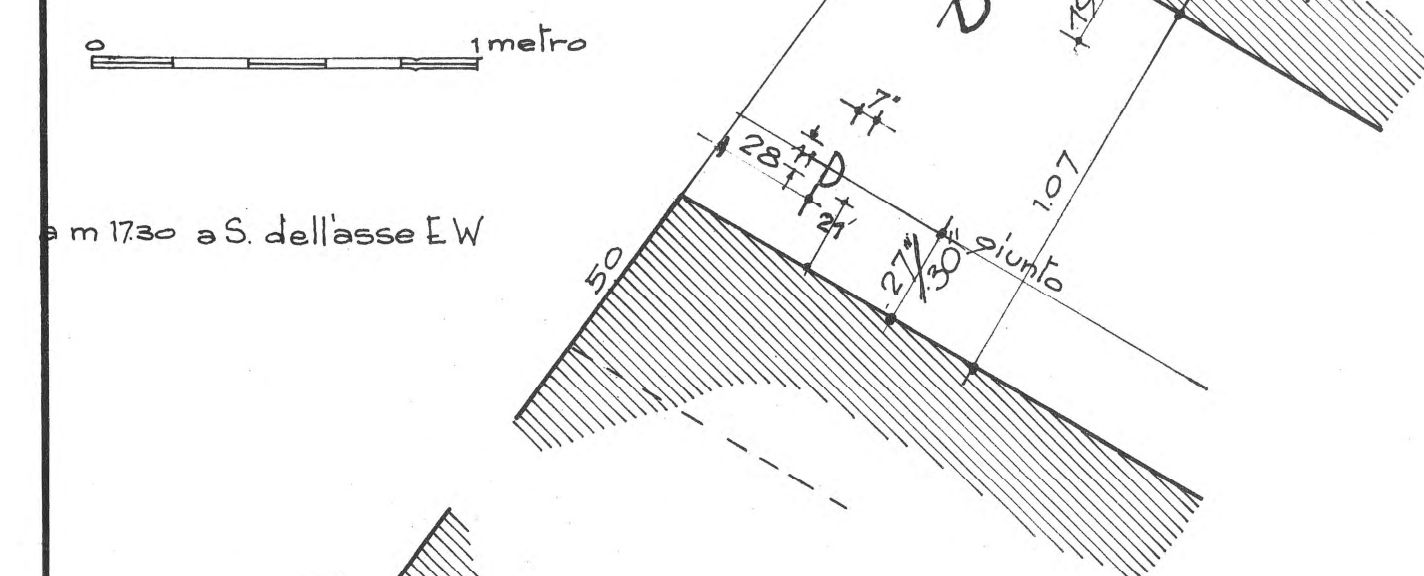




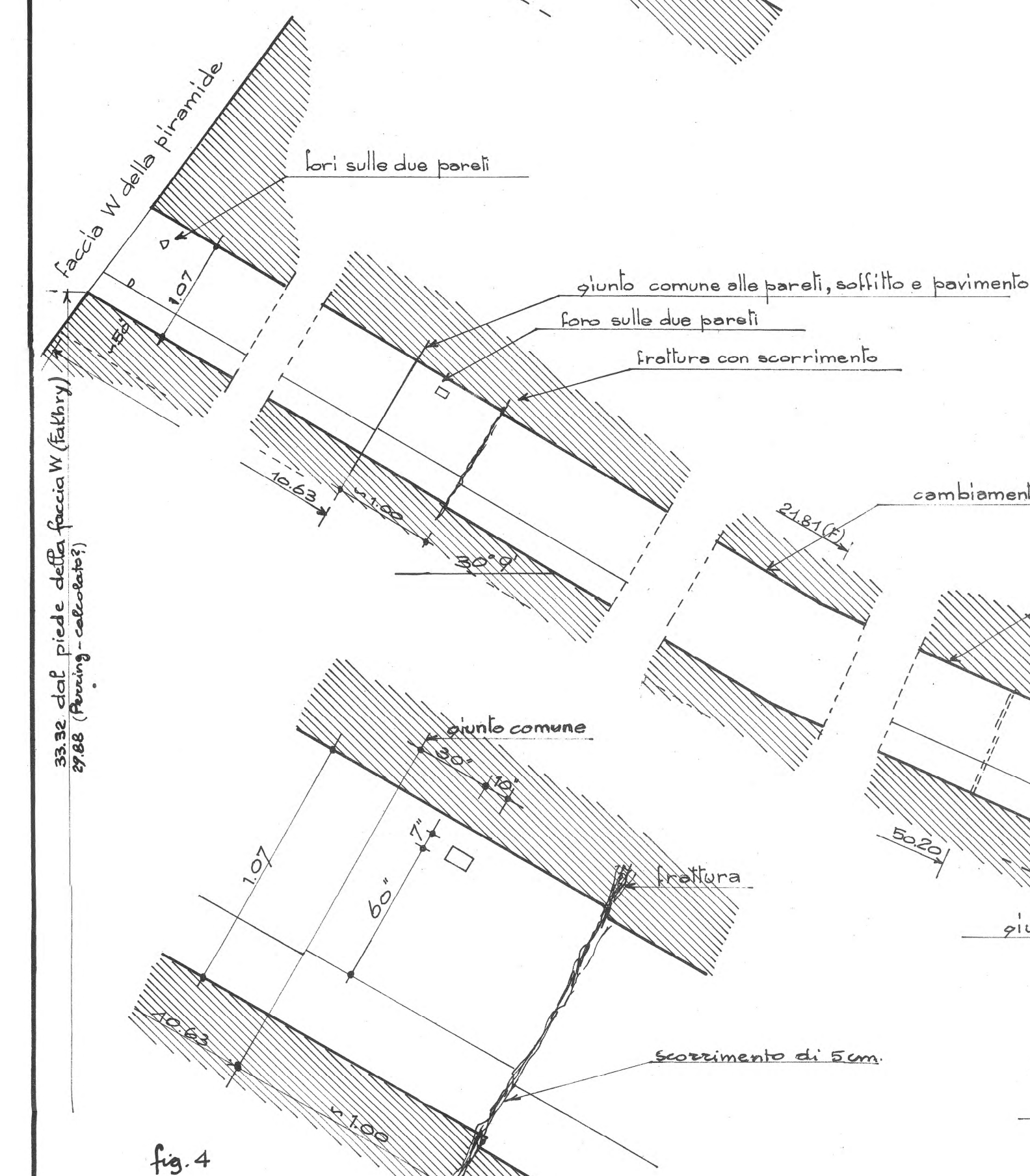




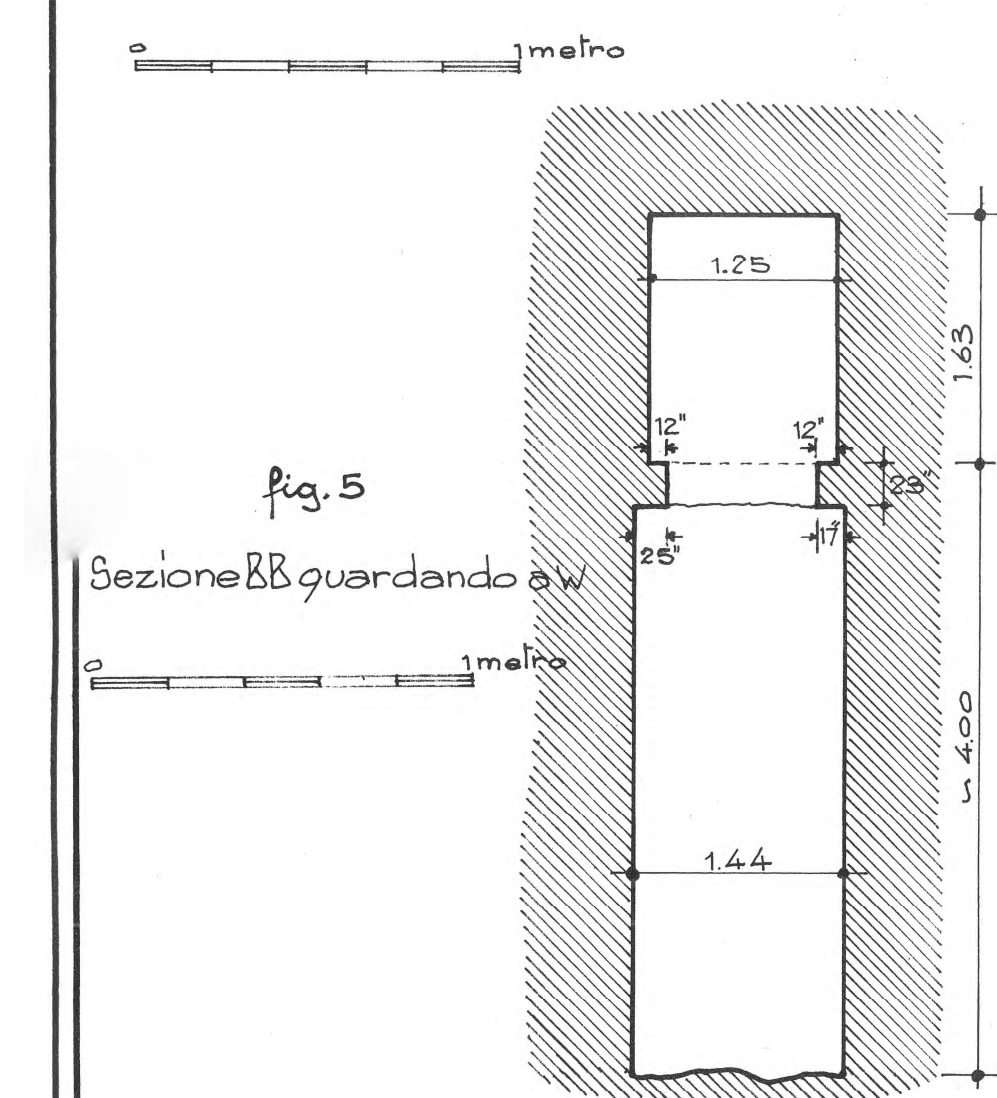
Particolare dell'ingresso



a m 17.20 a S. dell'asse EW

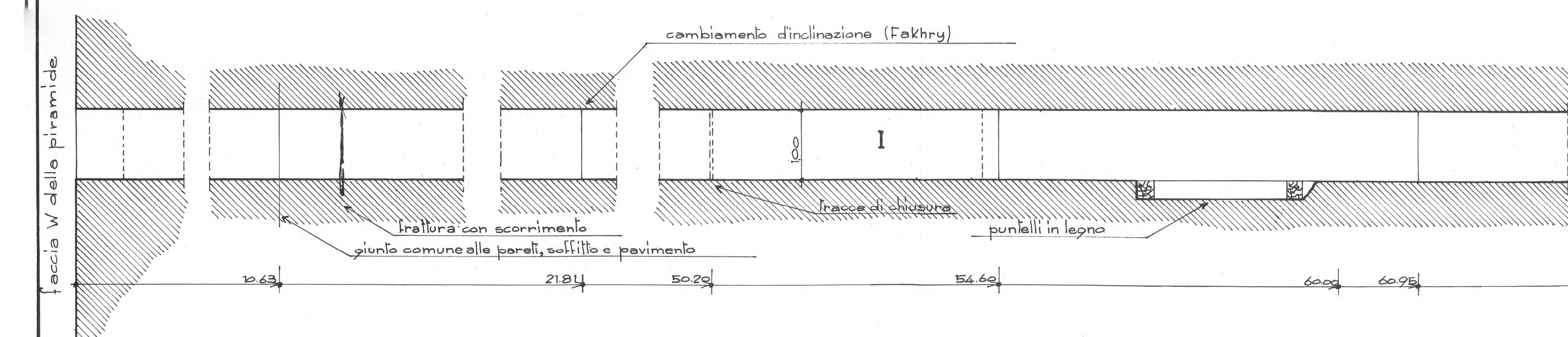


Particolare a m. 10.63 dall'ingresso



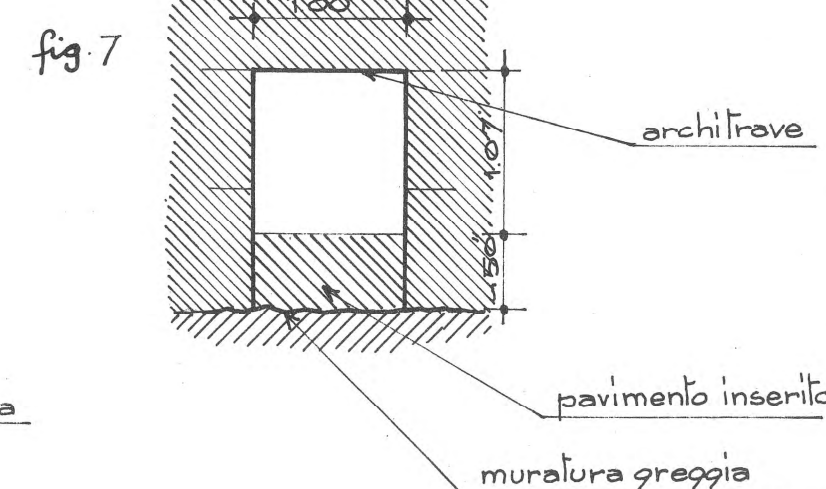
Sezione BB guardando a W

a m 17.20 a S. dell'asse EW

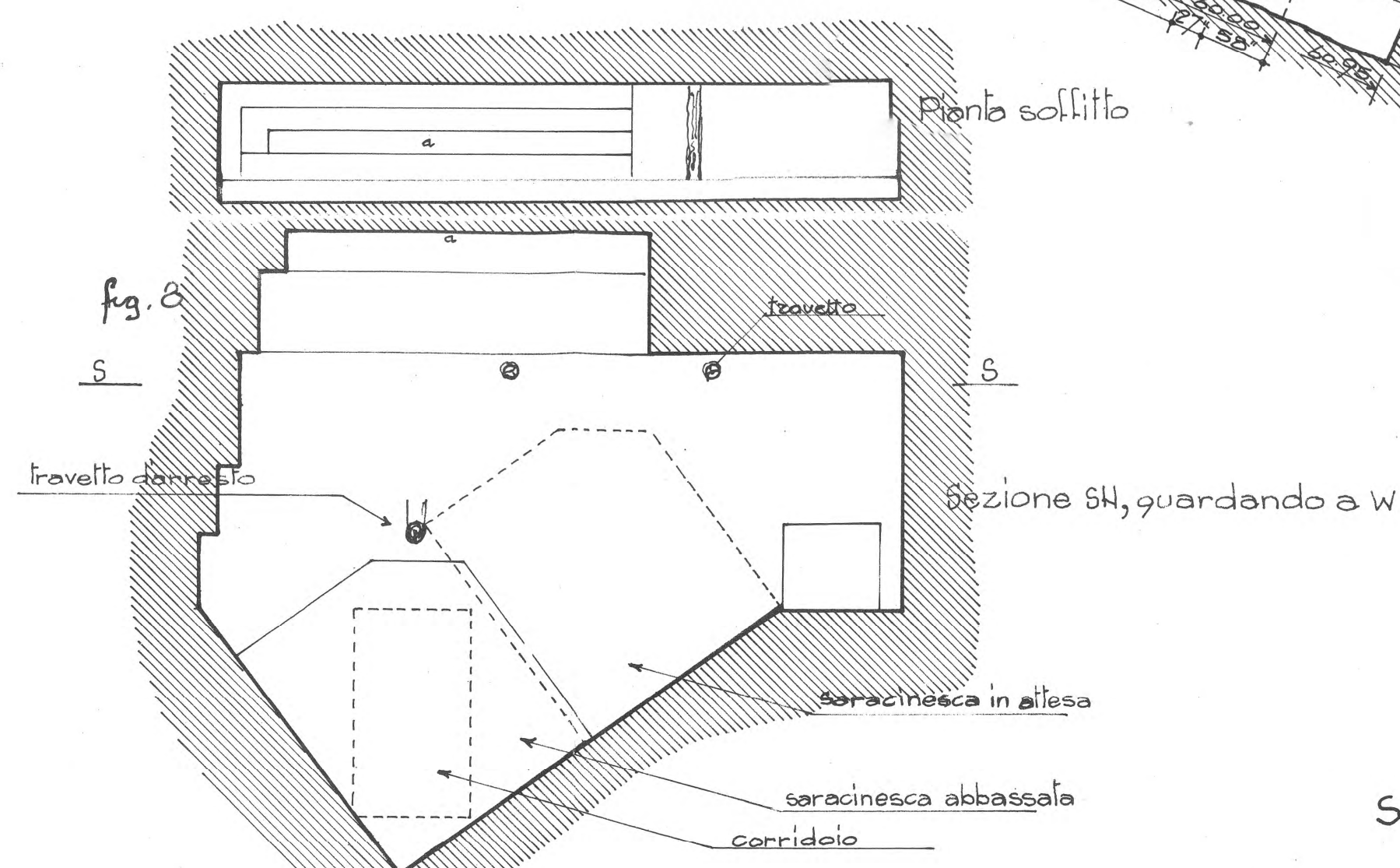


Sezione longitudinale generica dalla parte centrale e occidentale

Sezione trasversale generica

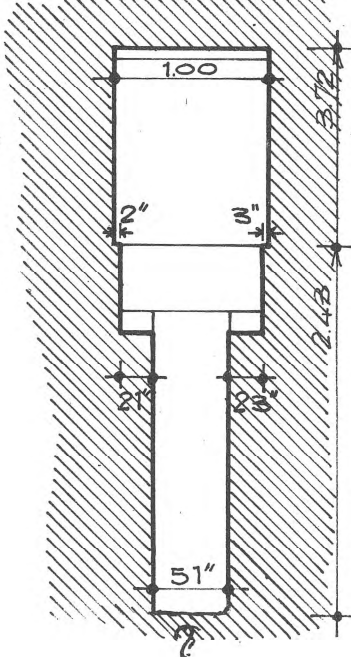


Saracinesca occidentale (inclinata sia a E che a W)



Sezione AA guardando a W

Fig. 9



Particolari dell'estremo E del corridoio W

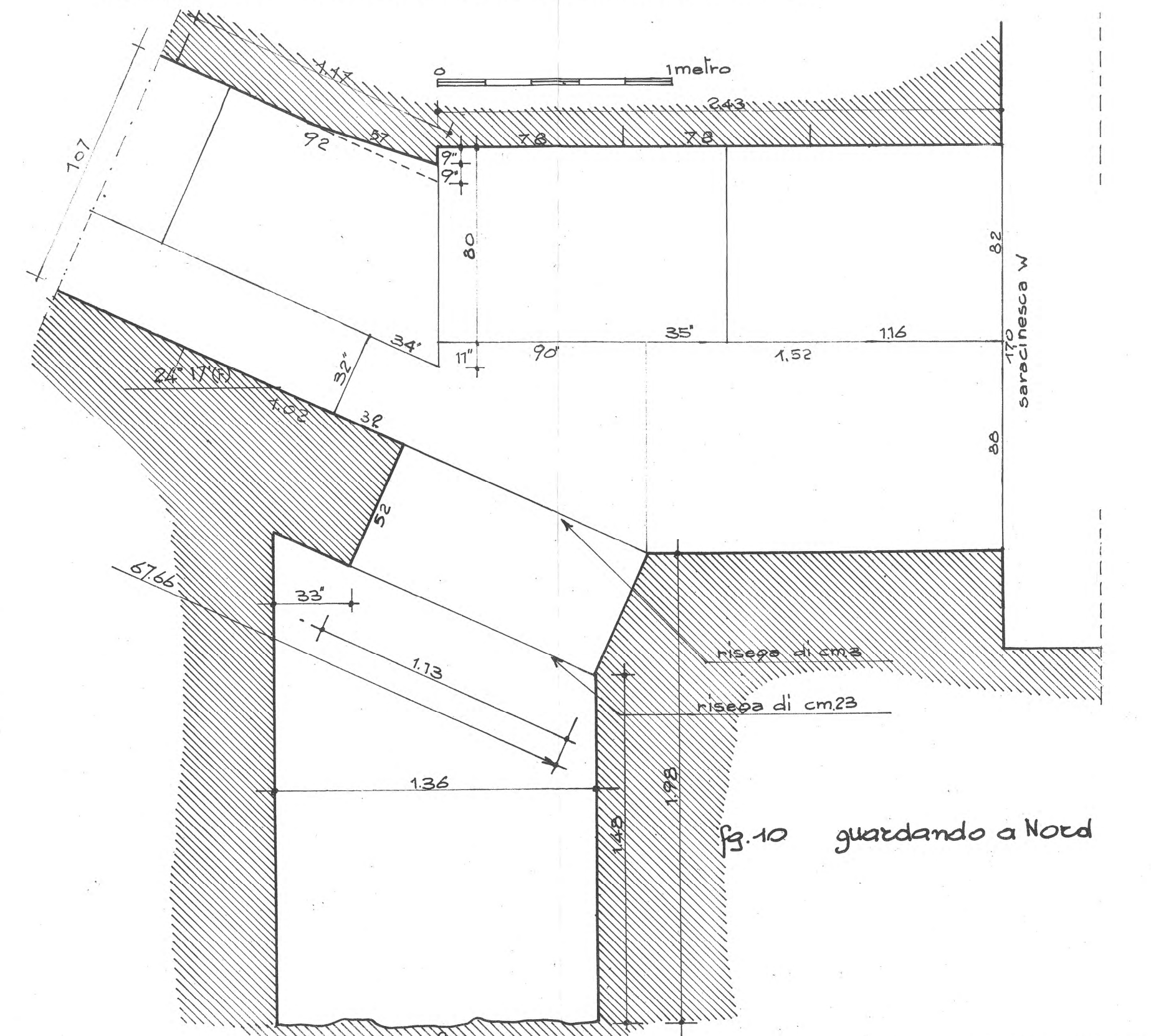


Fig. 10 guardando a Nord

Fig. 1 SEZIONE LONGITUDINALE WE

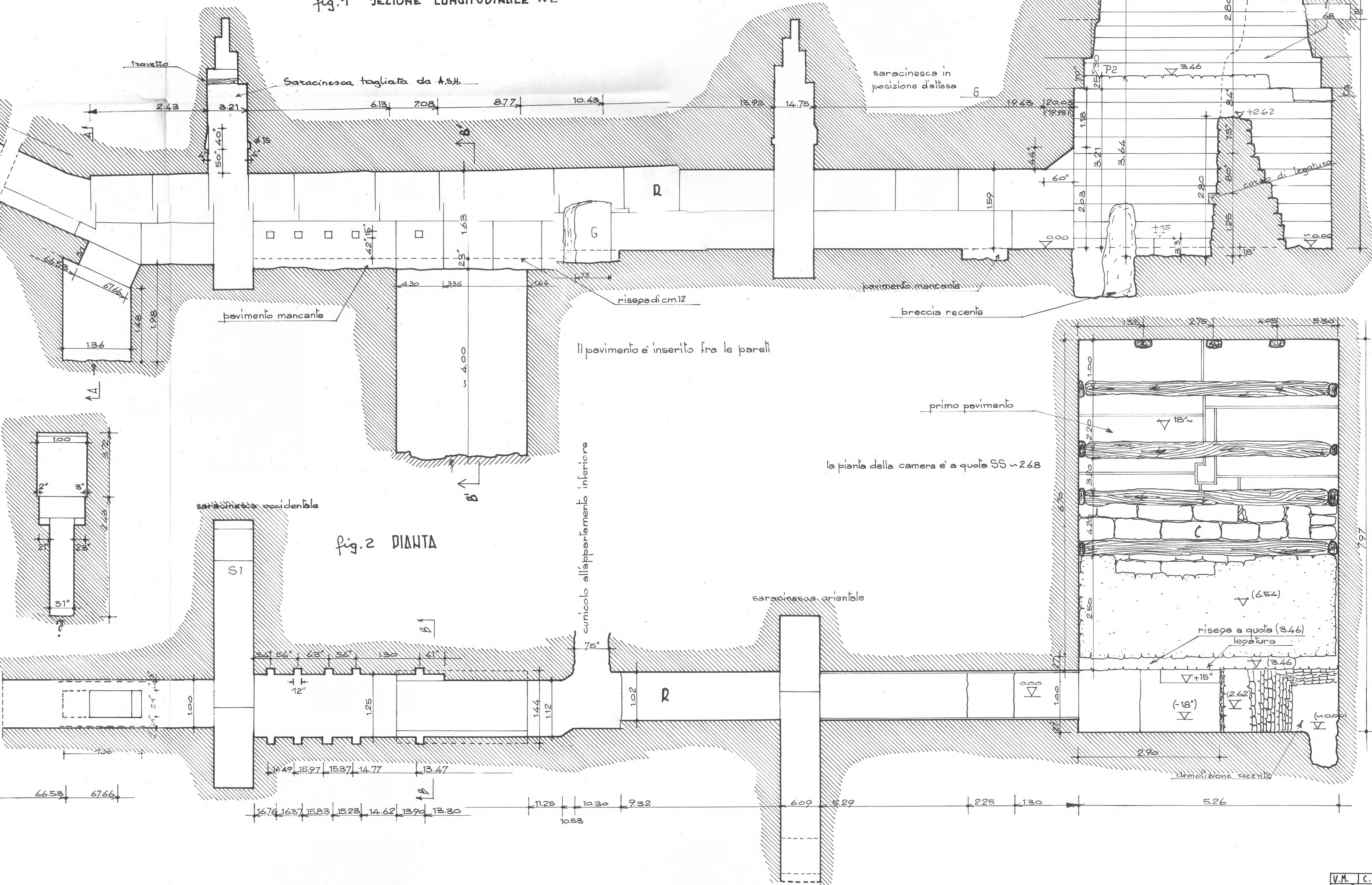


Fig. 2 DIAMTA

Saracinesca occidentale

S1

Il pavimento è inserito fra le pareti

cunicolo all'appartamento inferiore

Saracinesca orientale

la pianta della camera è a quota SS +2.68

Fig. 11 guardando a Sud

Seconda pavimento

Primo pavimento

Demolizione recente

le quote sono state misurate a pavimento e sulla pendenza



## LUOGO DI CULTO A NORD

Le sezioni sono un tentativo di ricostruzione

0 1 2 3 4 5m.

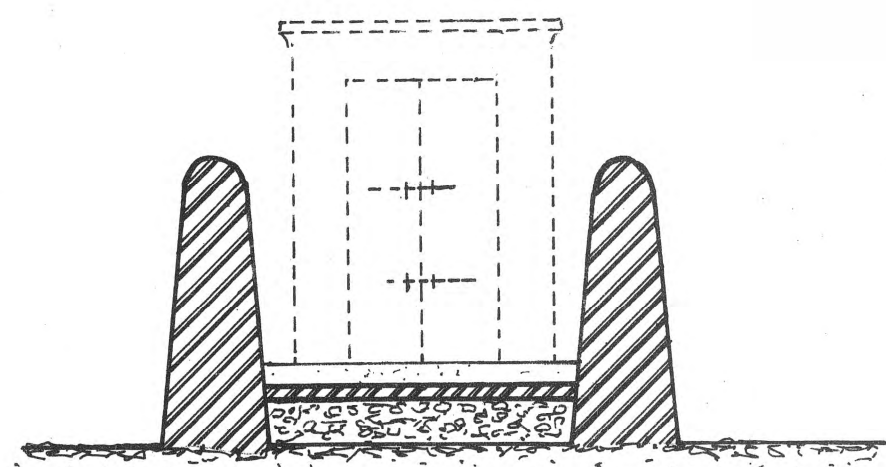


fig. 1 Sezione CC

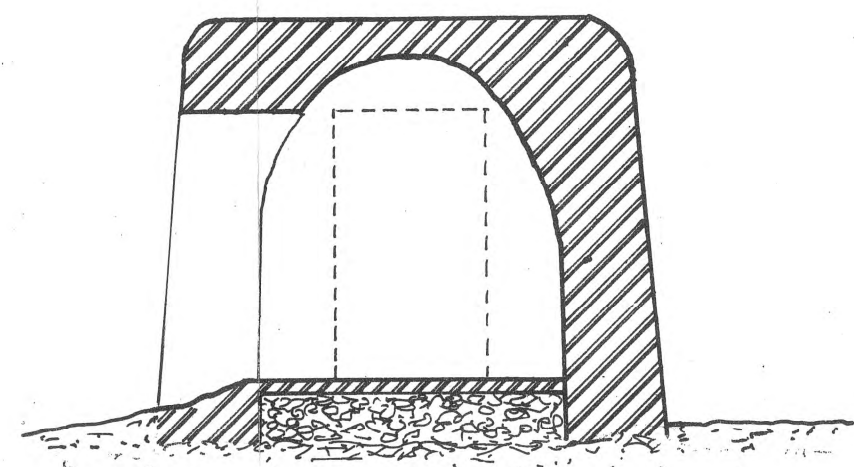


fig. 2 Sezione AA

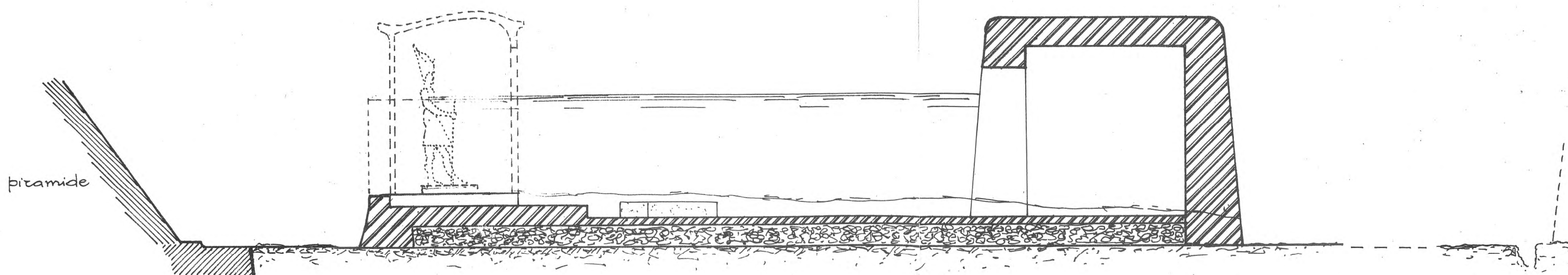


fig. 3 Sezione BB

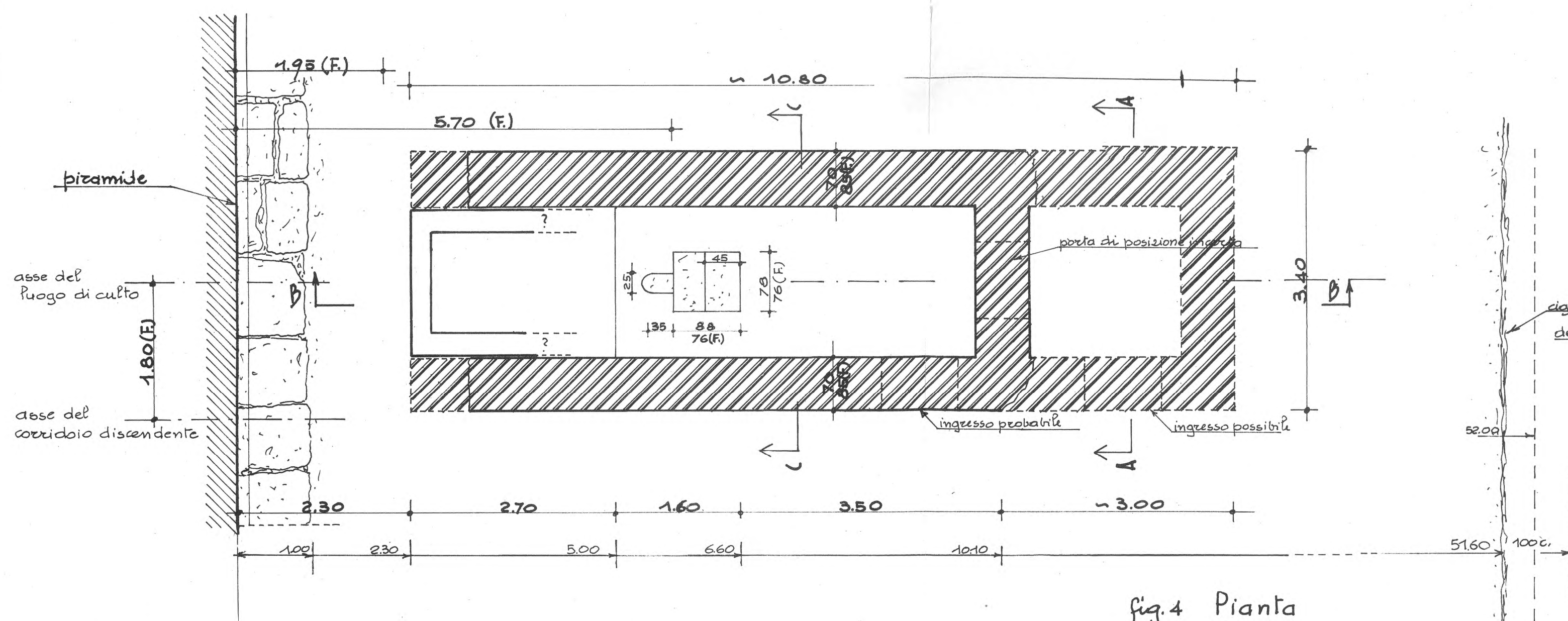
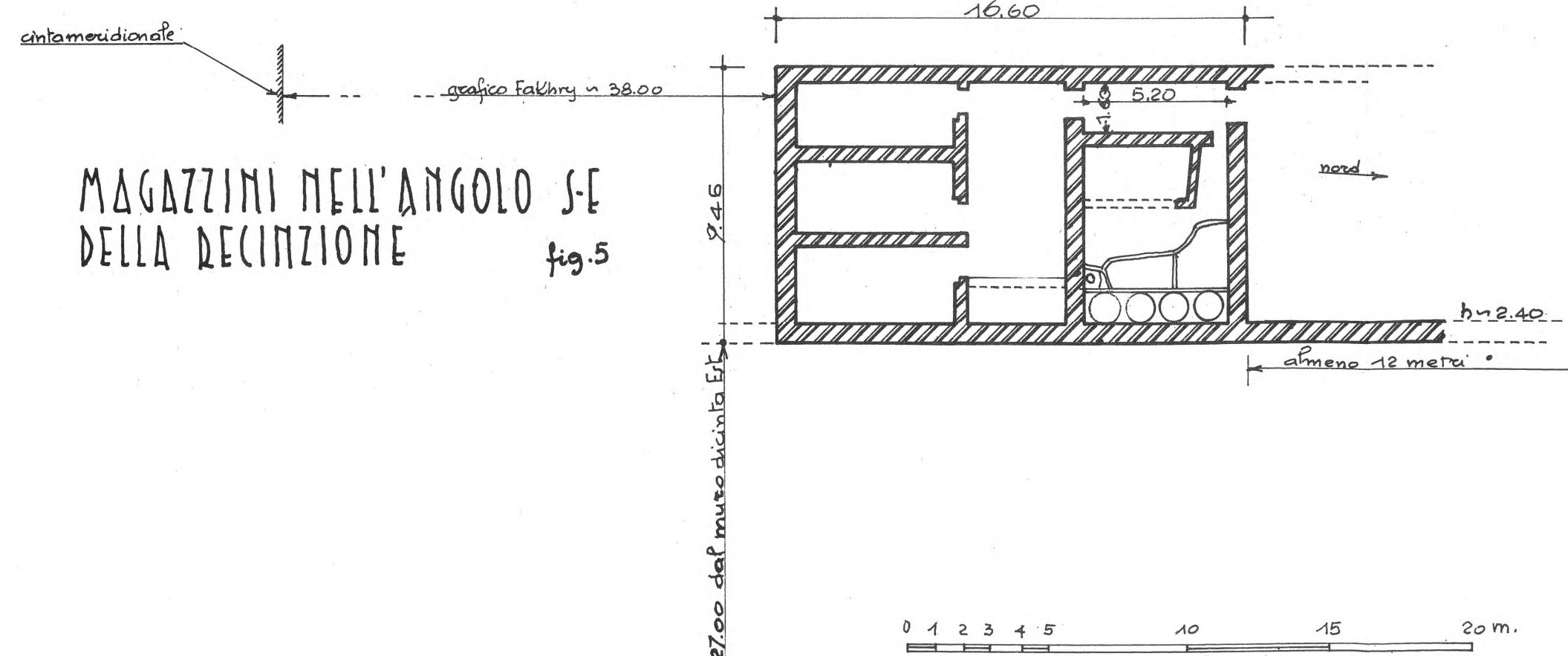


fig. 4 Pianta



## TENTATIVO DI SPIEGAZIONE DELLO SCOPO DEI FORI ALL'INIZIO DEI CORRIDOI

0 1 2 3 4 5m.

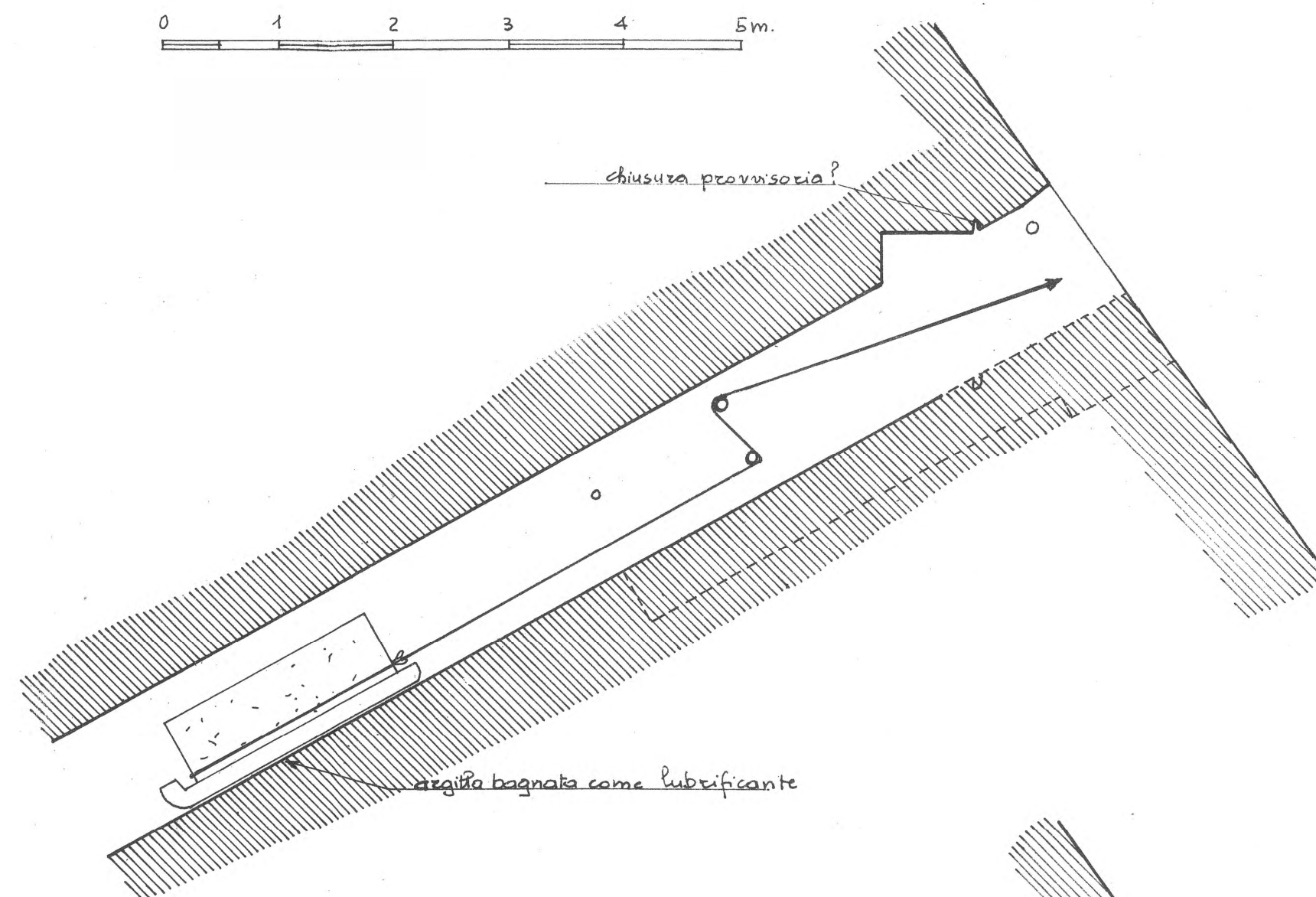


fig. 6

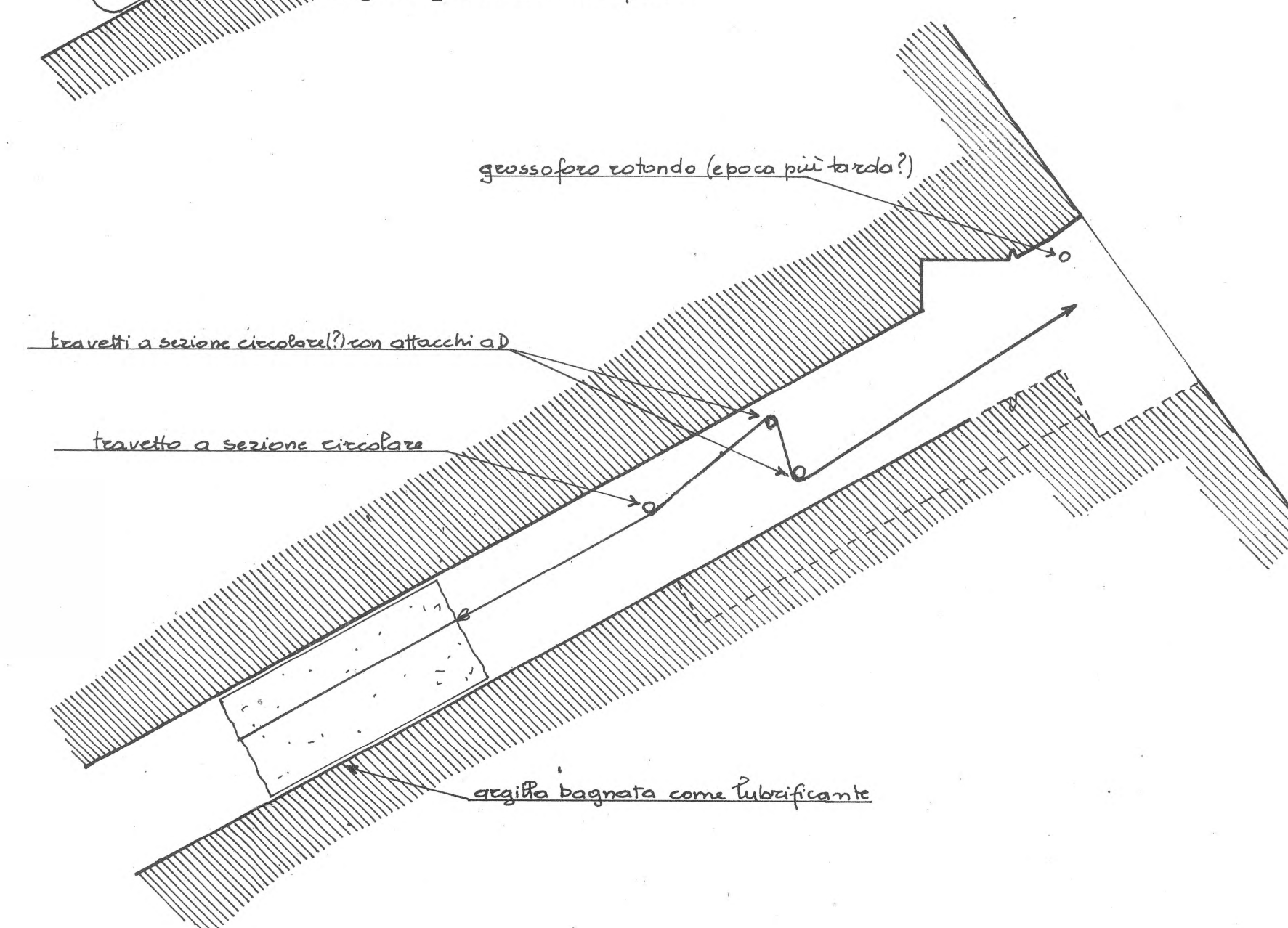


fig. 7

## TENTATIVO DI RICOSTRUZIONE DEL SISTEMA DI CHIUSURA E DELLO SCOPO DEI FORI QUADRI

0 1 2 3 4 5m.

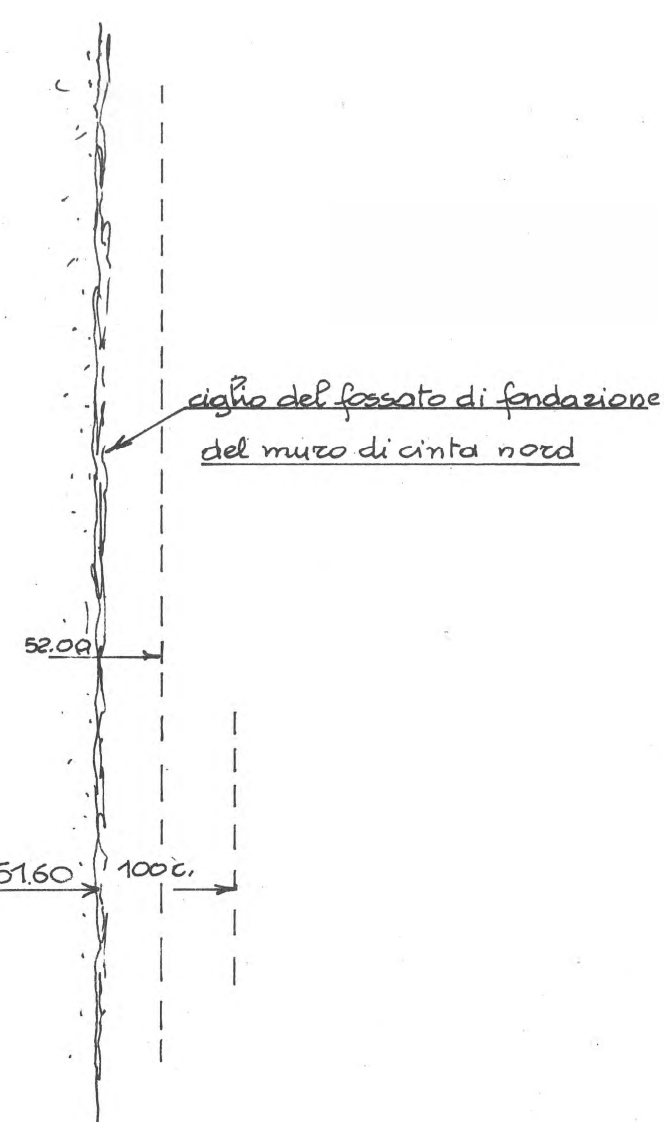


fig. 8 Soluzione 1

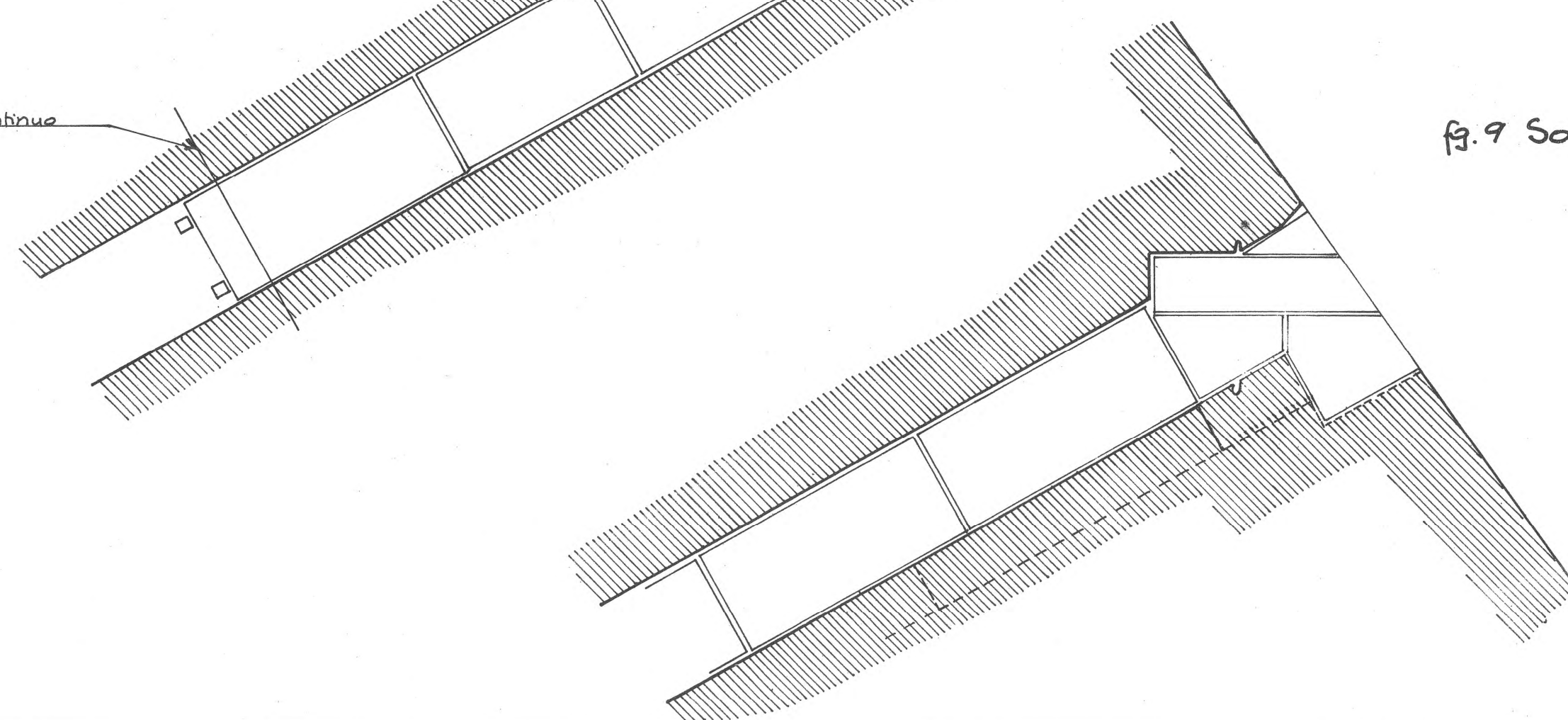


fig. 9 Soluzione 2



0 1 2 3 4 5 10 15 20 metri

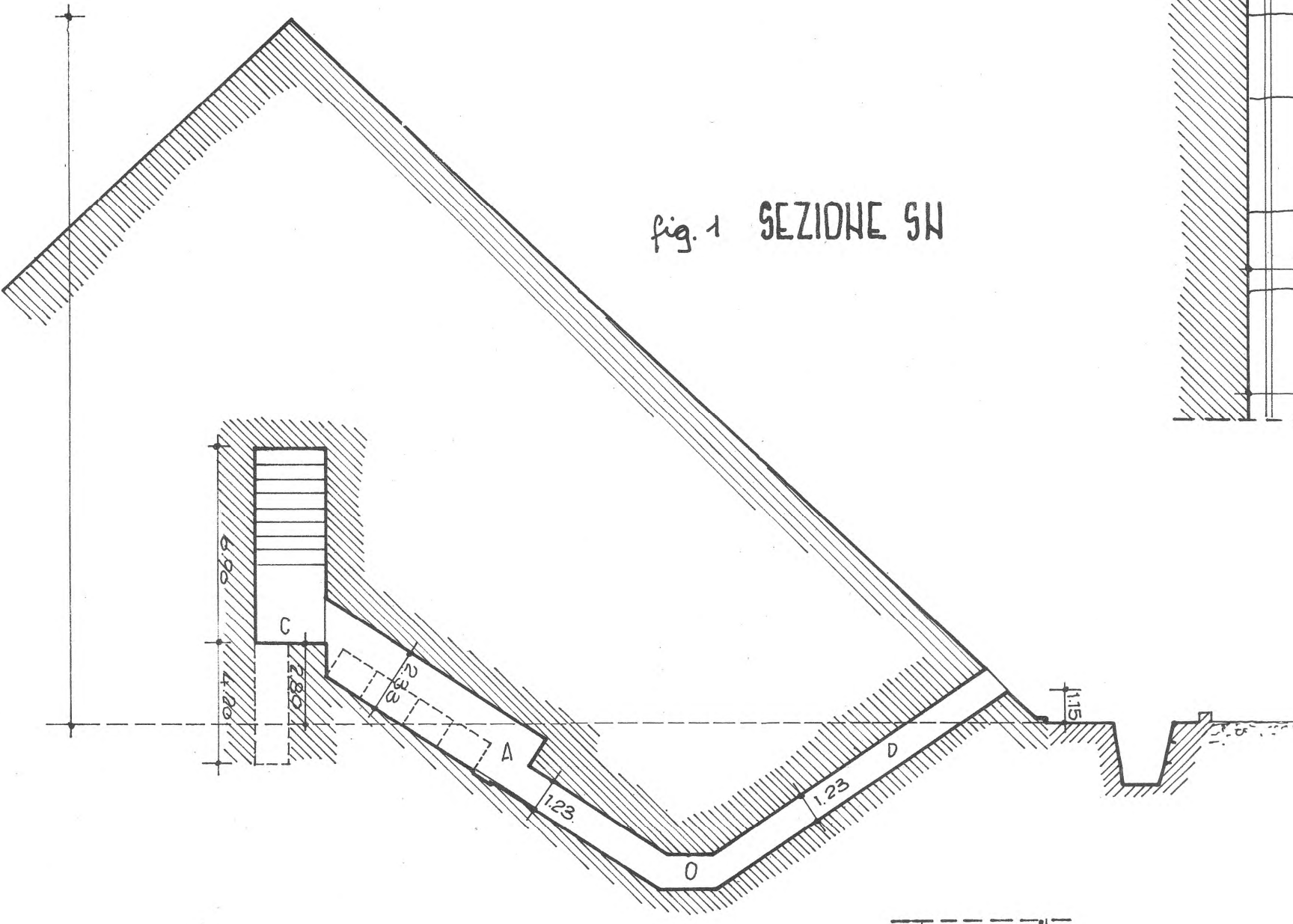


fig. 1 SEZIONE SN

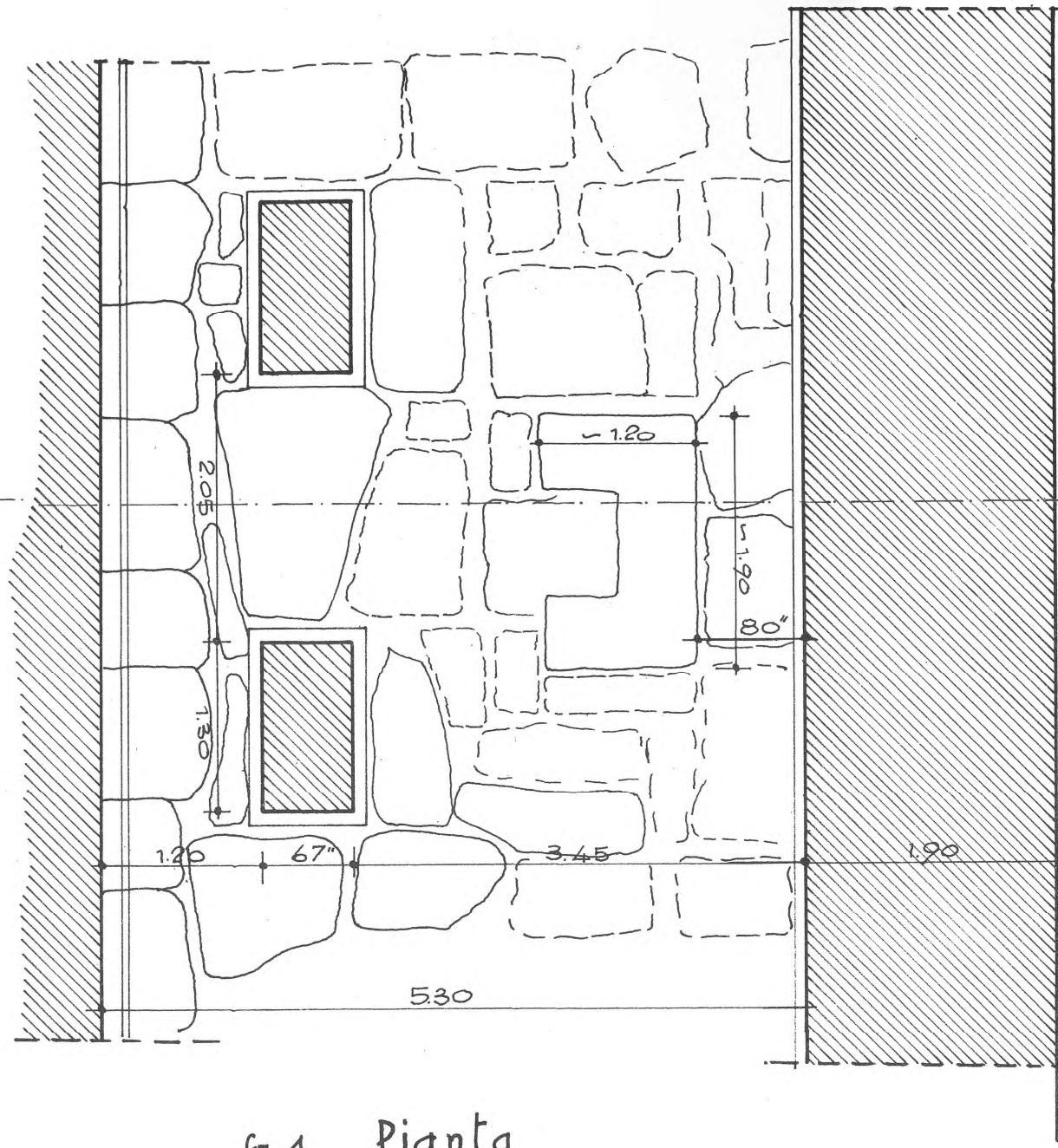


fig. 4 Pianta

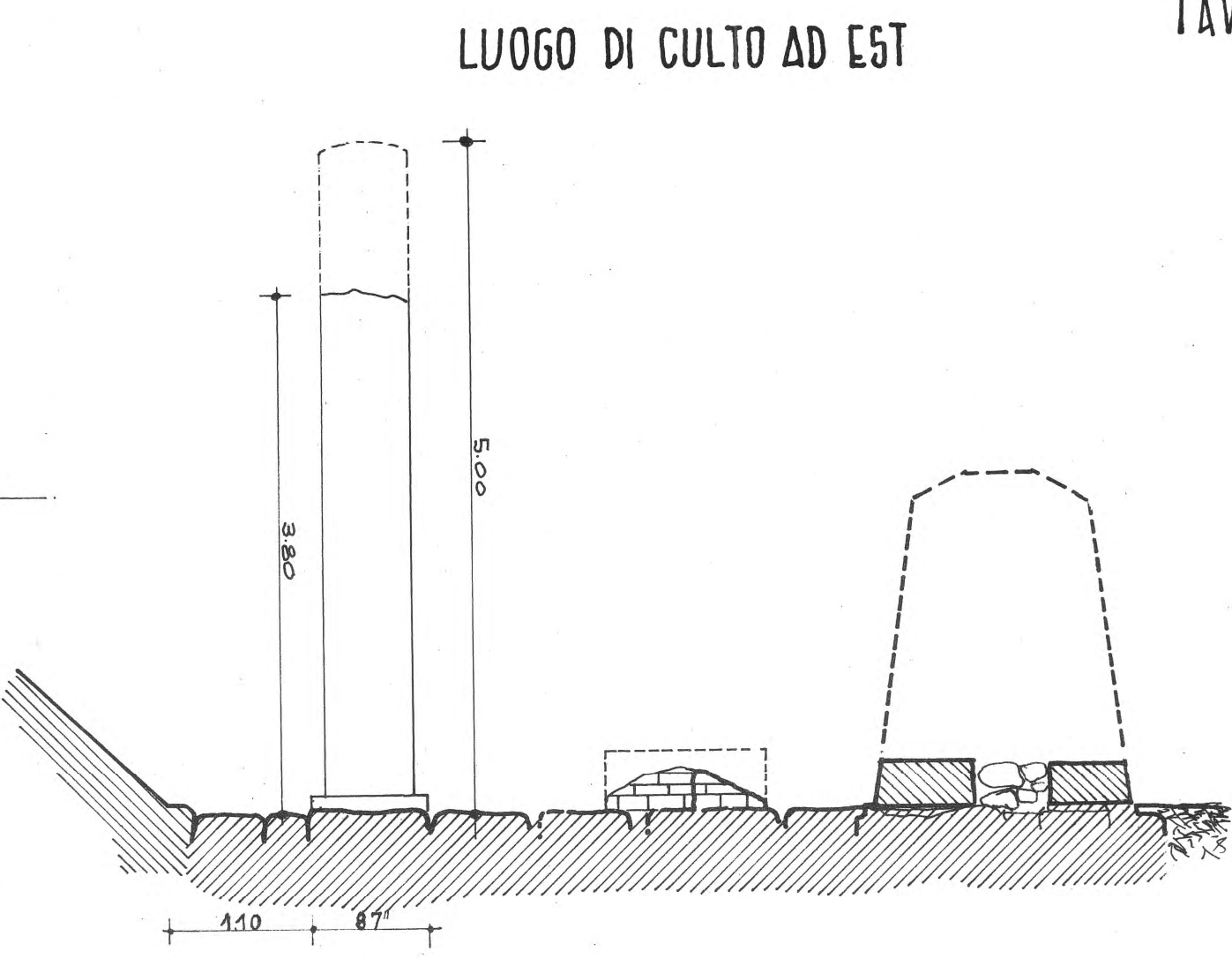


fig. 3 Sezione WE guardando a H

LUOGO DI CULTO AD EST

0 1 2 3 4 5 metri

fig. 2 Pianta DEL QUARTO NE

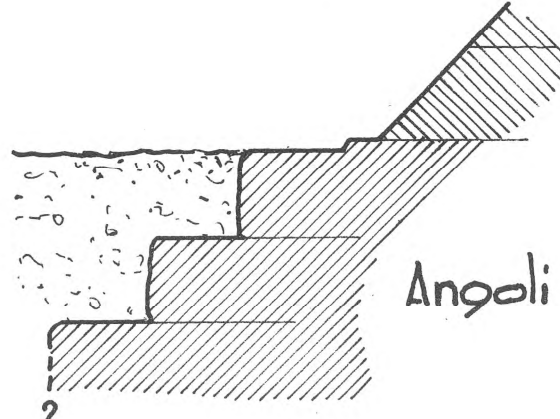
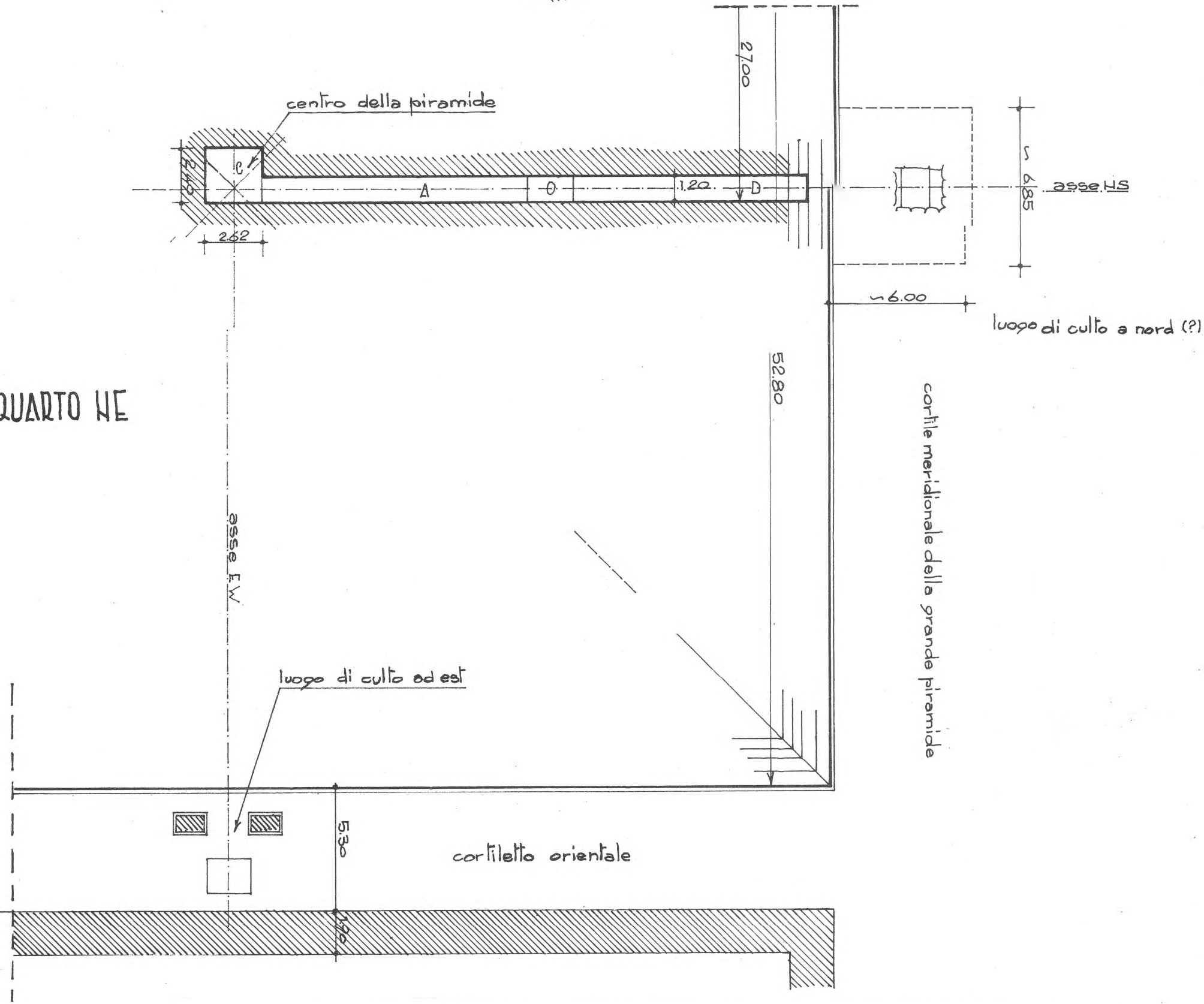
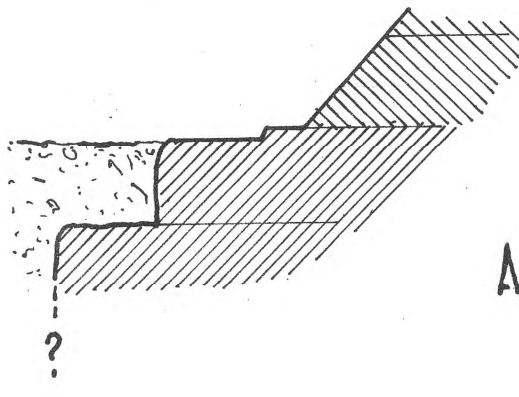


fig. 5 Angoli SE e SW



Angoli NWE e NE

SCHIZZO DIMOSTRATIVO

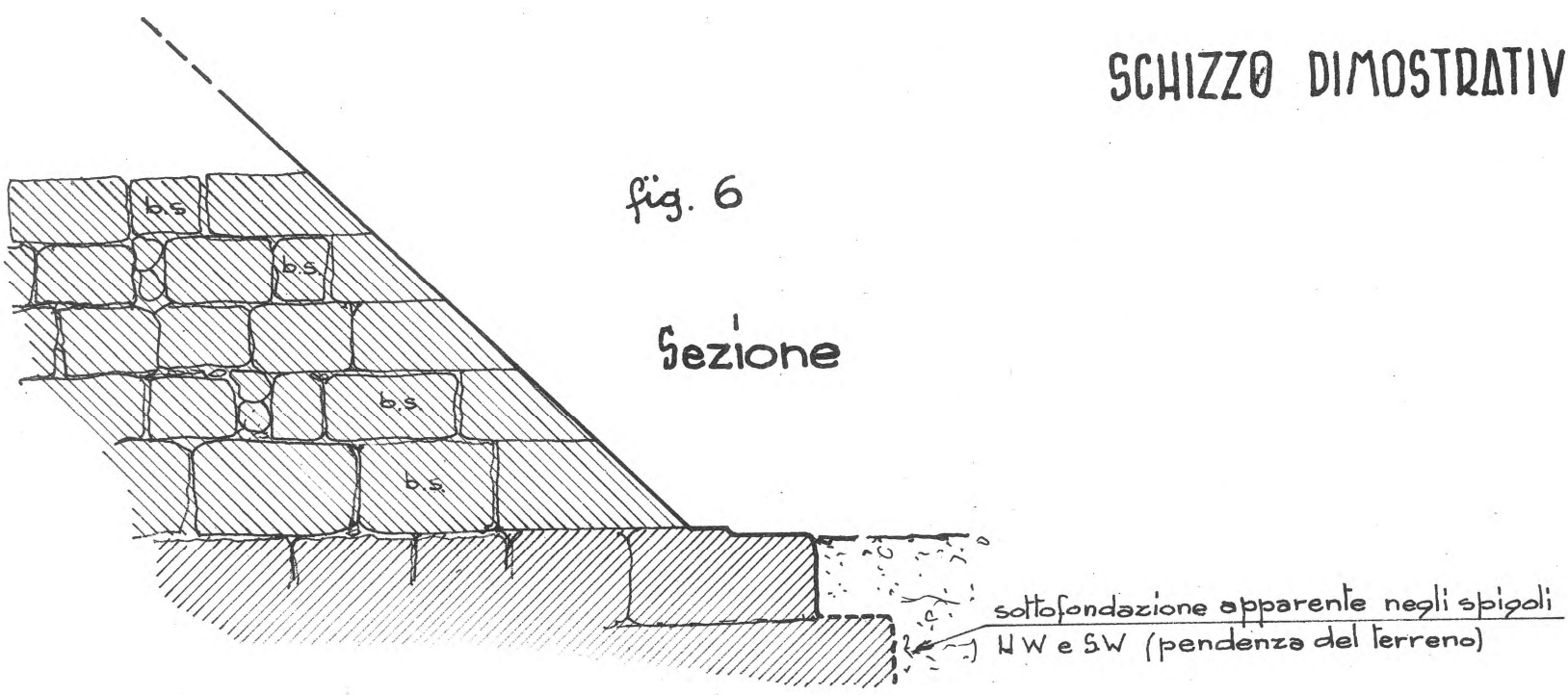


fig. 6

Sezione

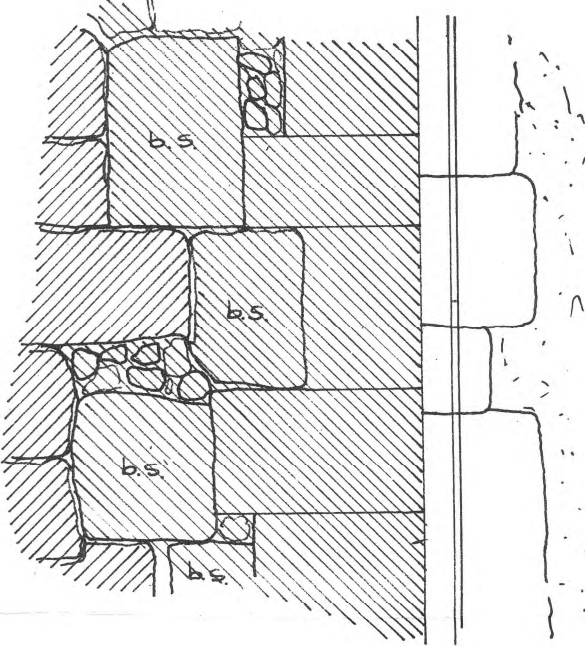


fig. 7 Pianta

TERMINI SUPERIORE DELLA RAMPA

0 1 2 3 4 5 6 7 8 9 10 metri

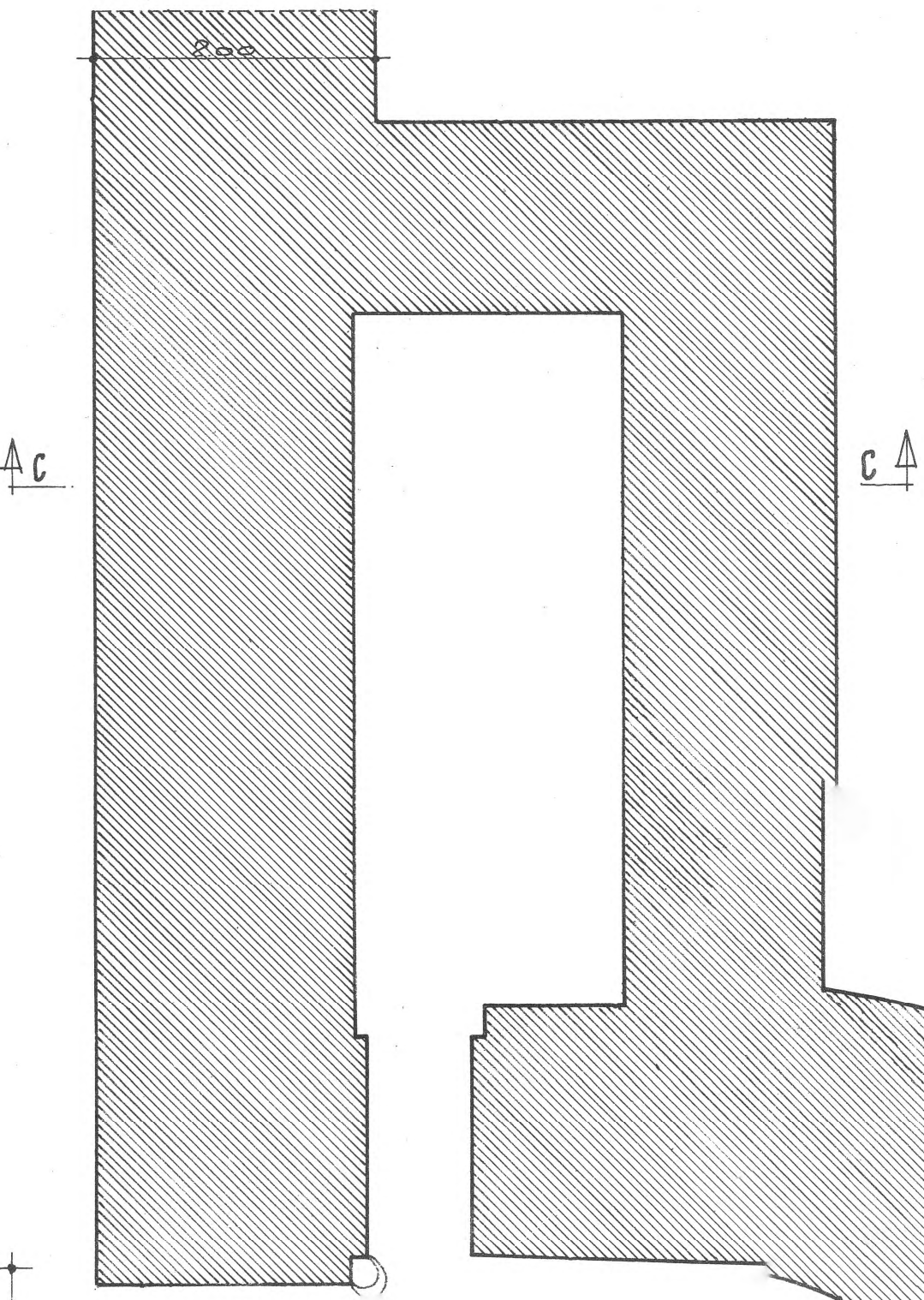


fig. 8

Pianta

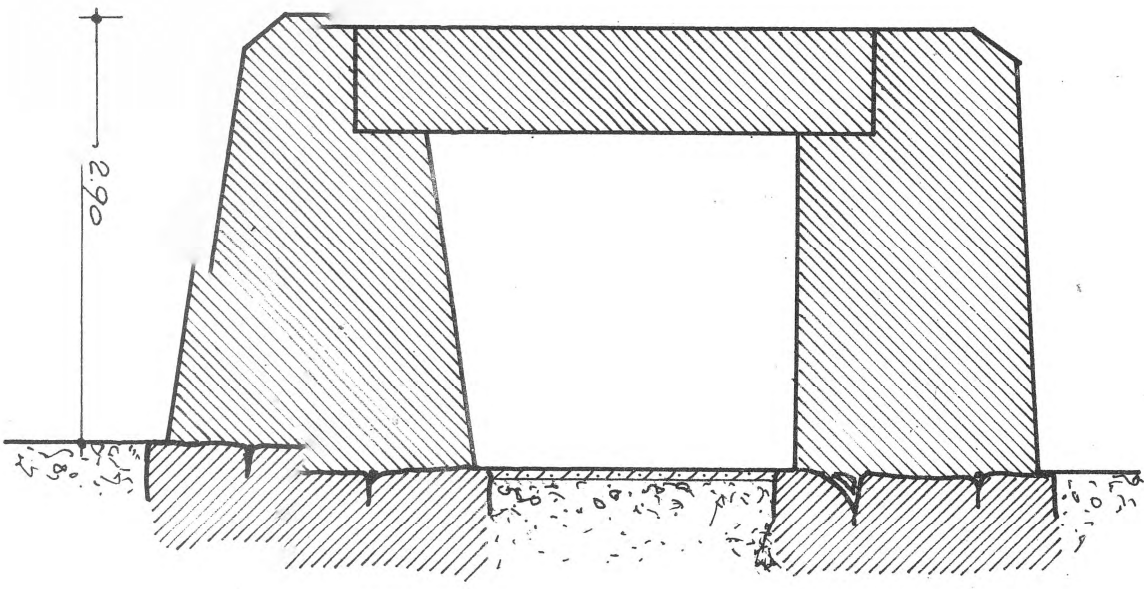


fig. 9 Sezione CC

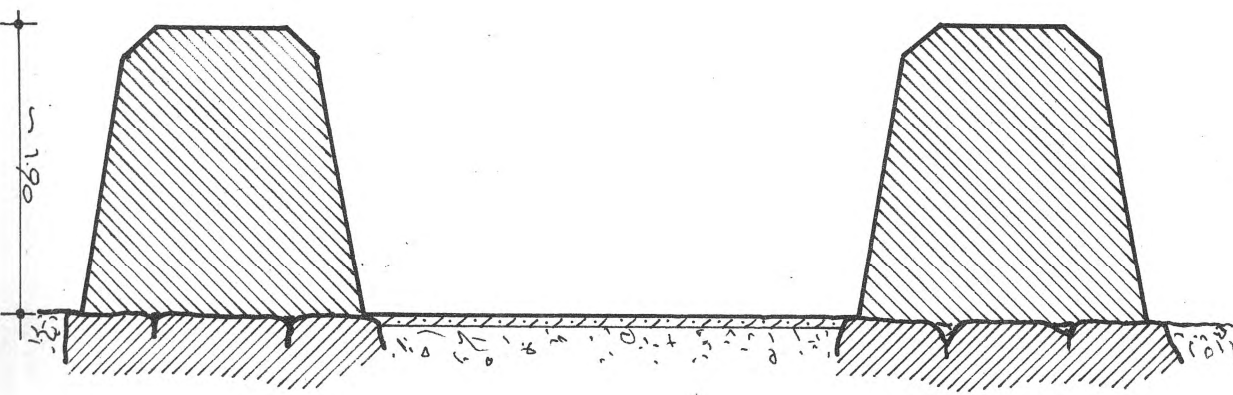


fig. 10 Sezione BB

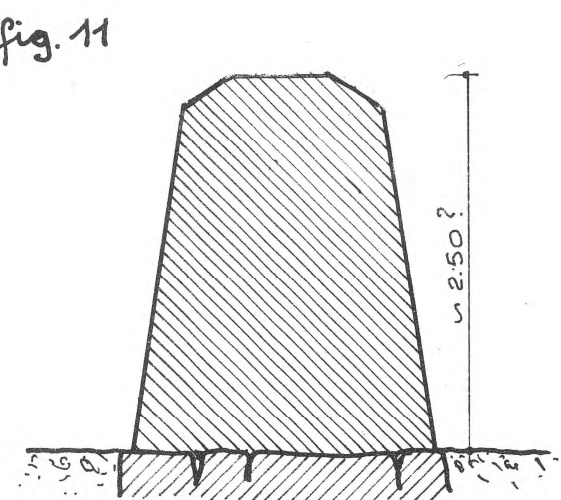


fig. 11

Sezione AA

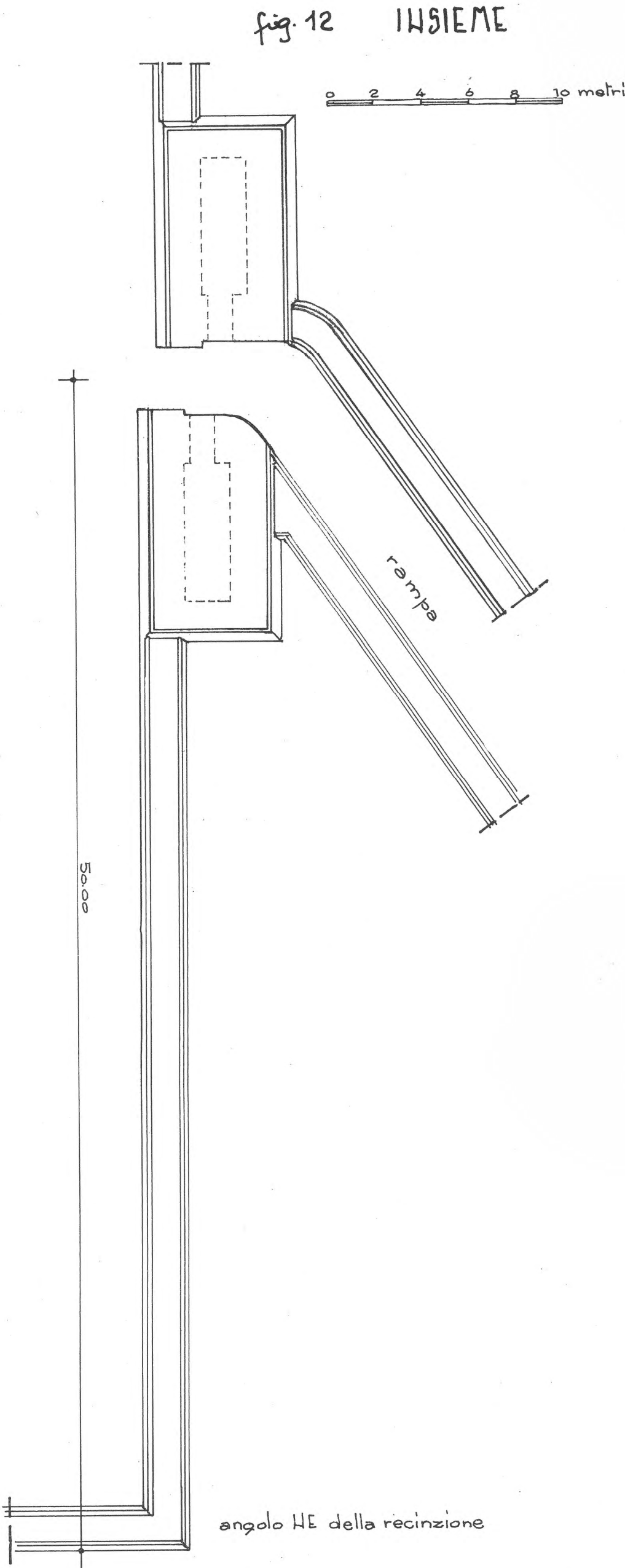


fig. 12 INSIEME

0 2 4 6 8 10 metri

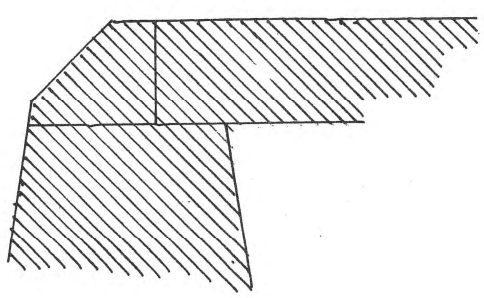


fig. 13 Sagoma data da Ricke alla sommità del muro (Ahmed Fakhry Mon. of Shefru fig. 59)



0 1 2 3 4 5 6 7 8 9 10 metri

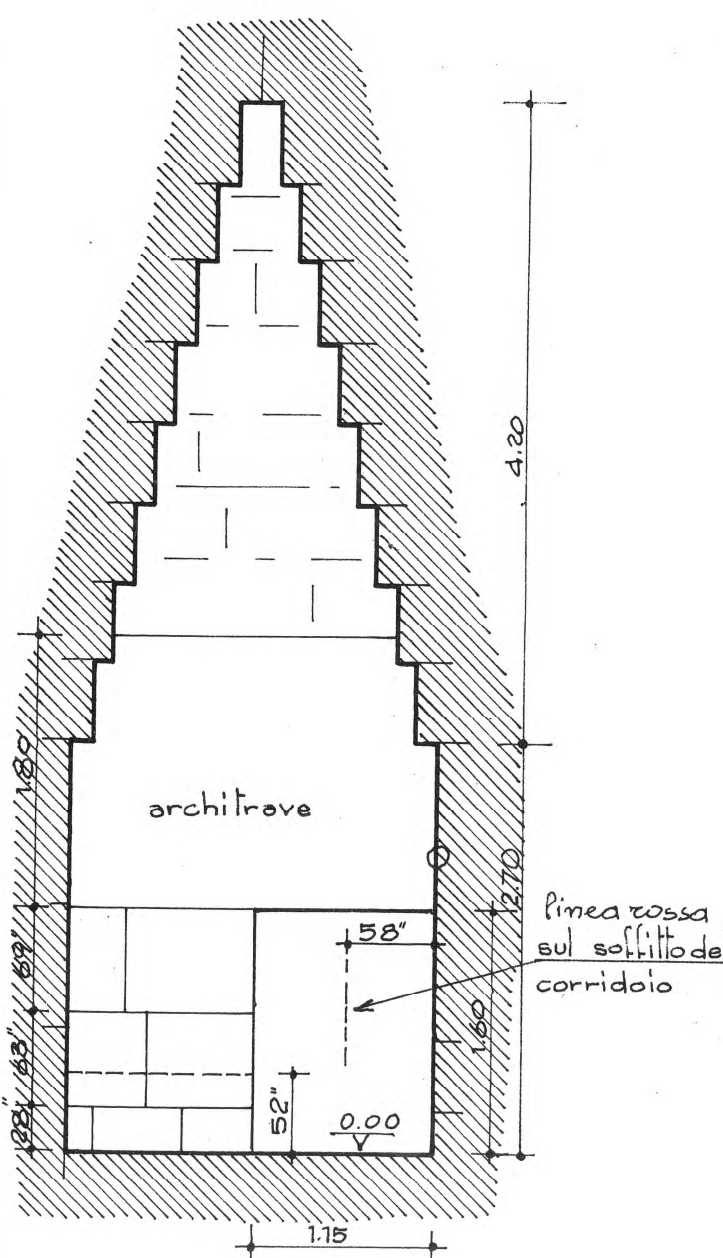
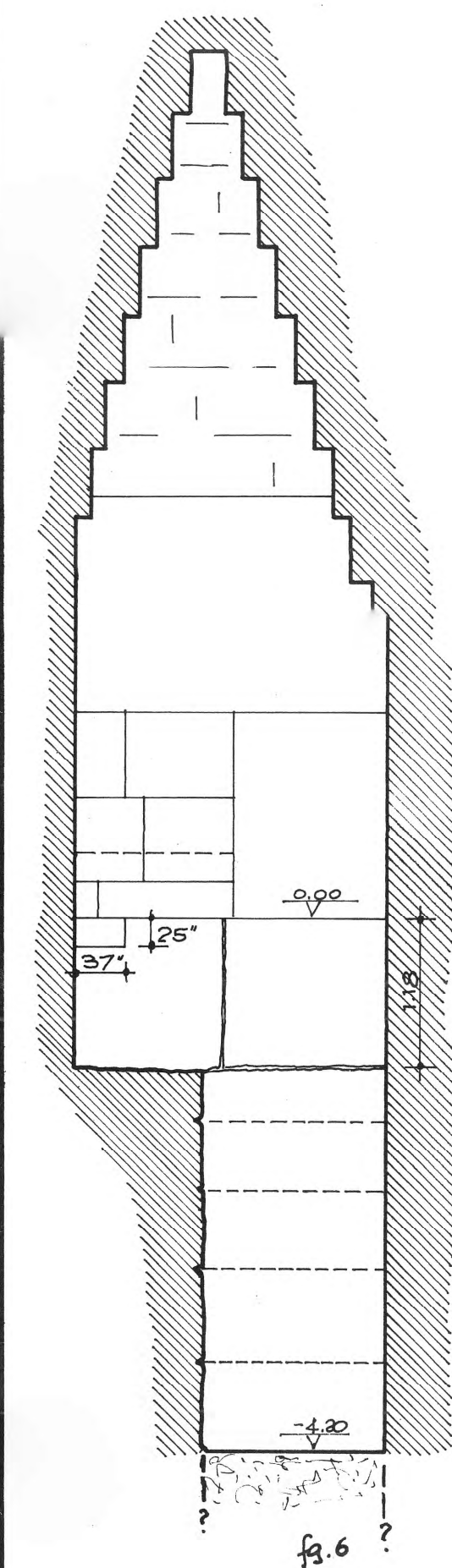
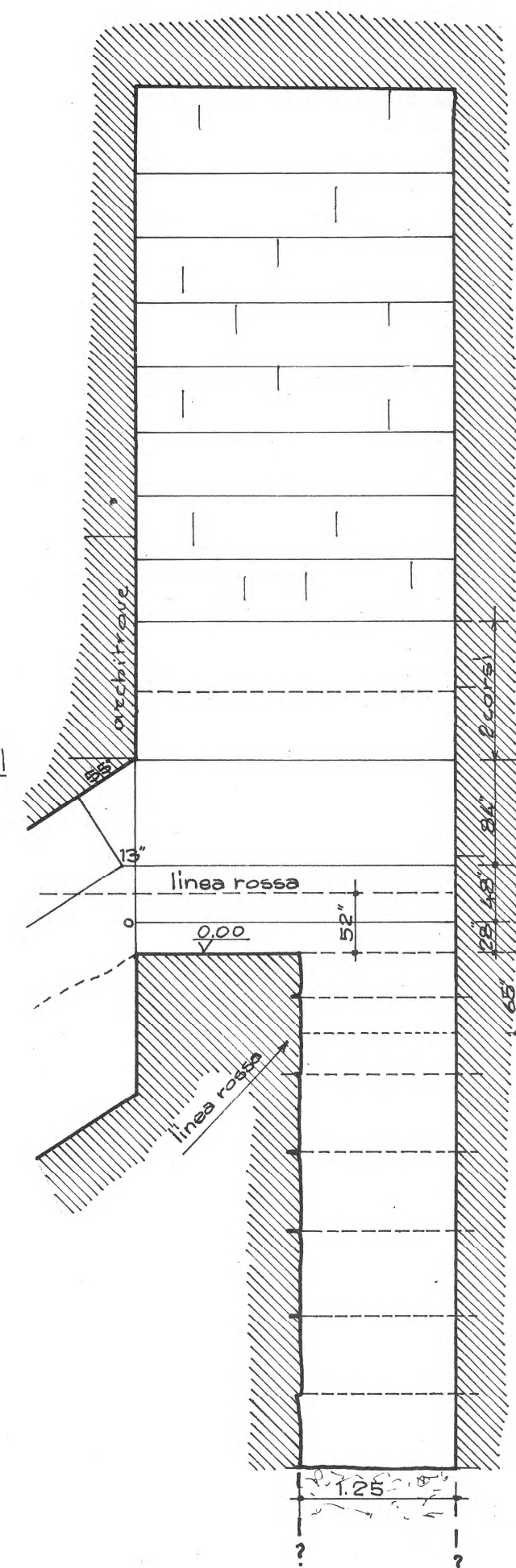
parete nord  
sezione lungo la parete N  
fig. 5parete nord  
sezione attraverso al pozzo  
fig. 6?

fig. 4 parete est

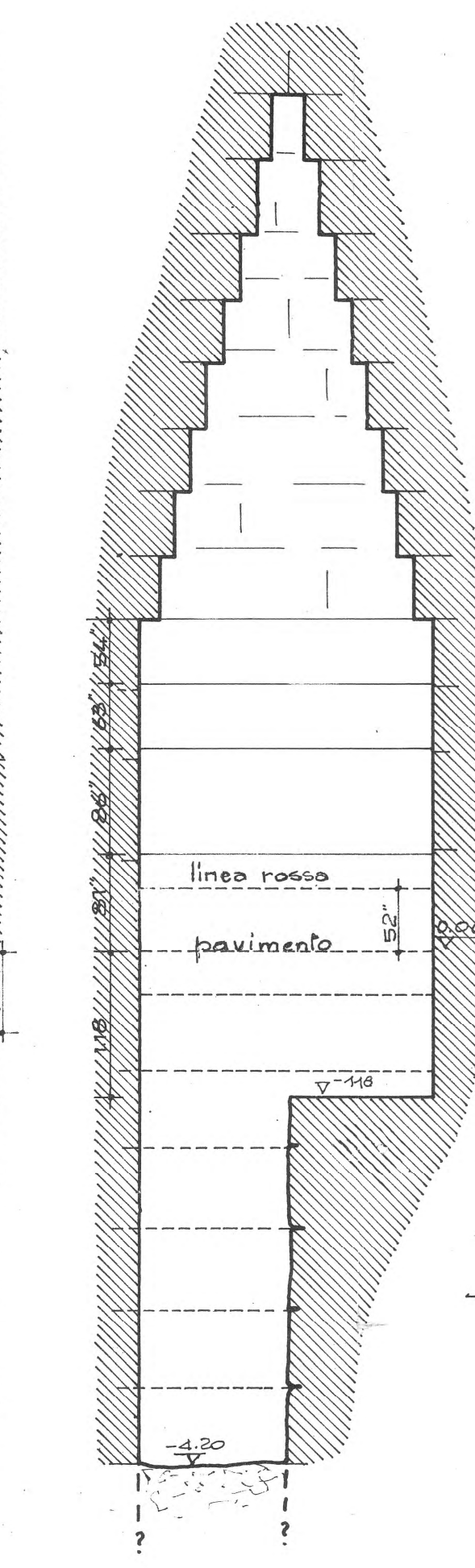


fig. 3 parete sud

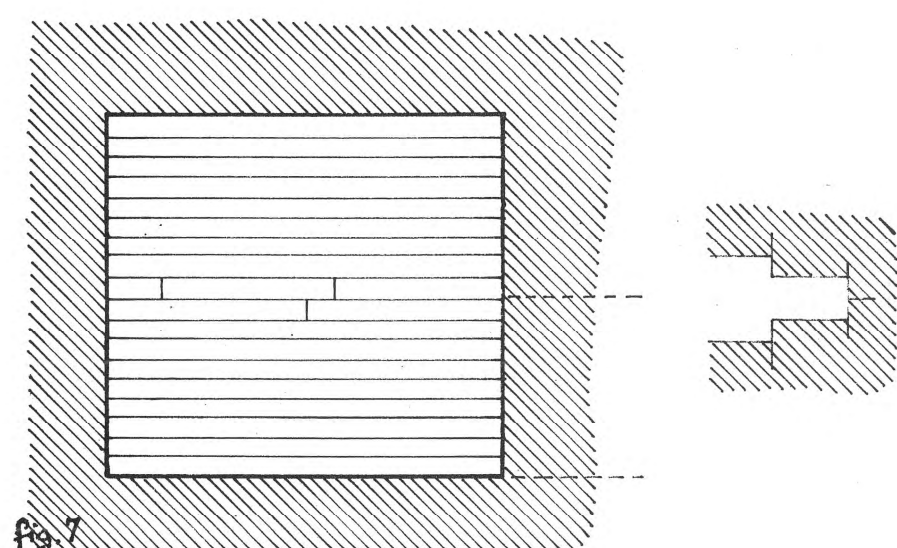
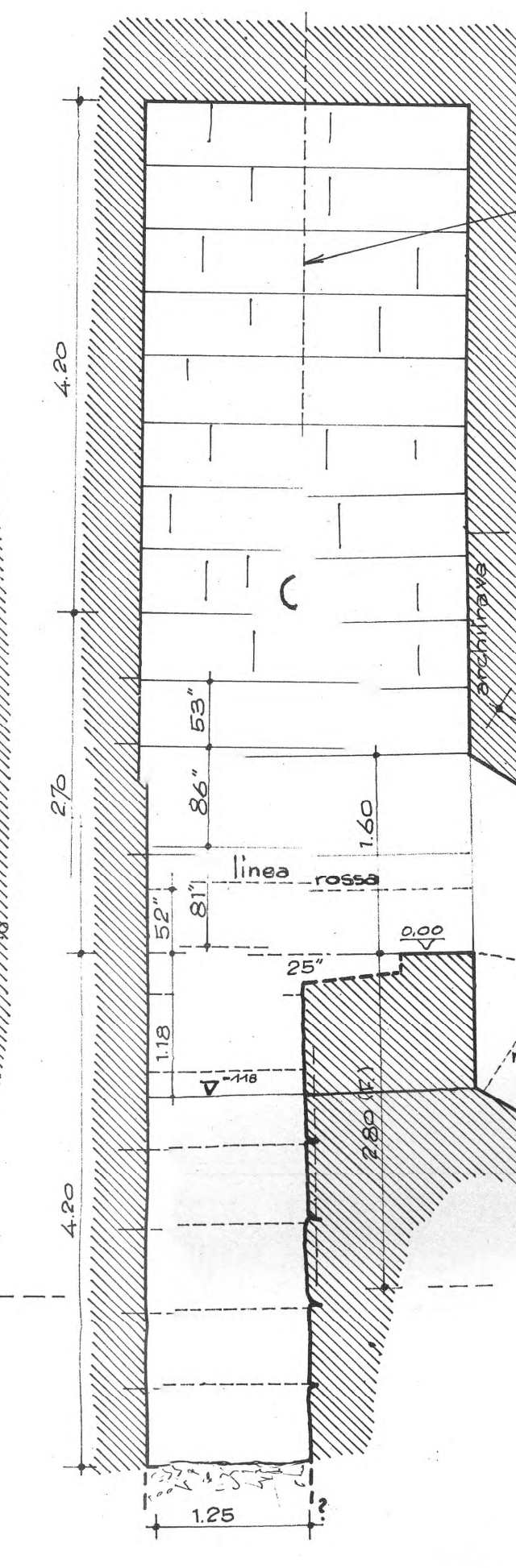
pianità della copertura  
fig. 7

fig. 1 SEZIONE LUNGO L'ASSE NS guardando a ovest

α β γ δ posizione d'attesa dei tappi (lunghezza presunta totale m. 2,66)  
α β γ δ posizione assunta dei blocchi alla chiusura della piramide

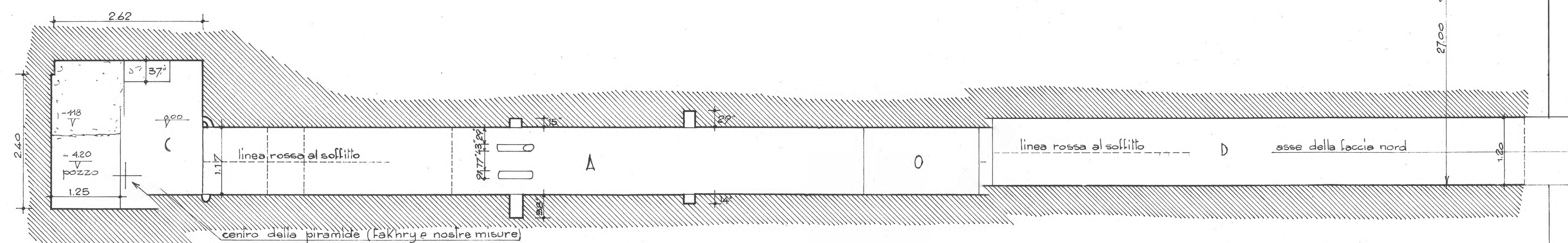
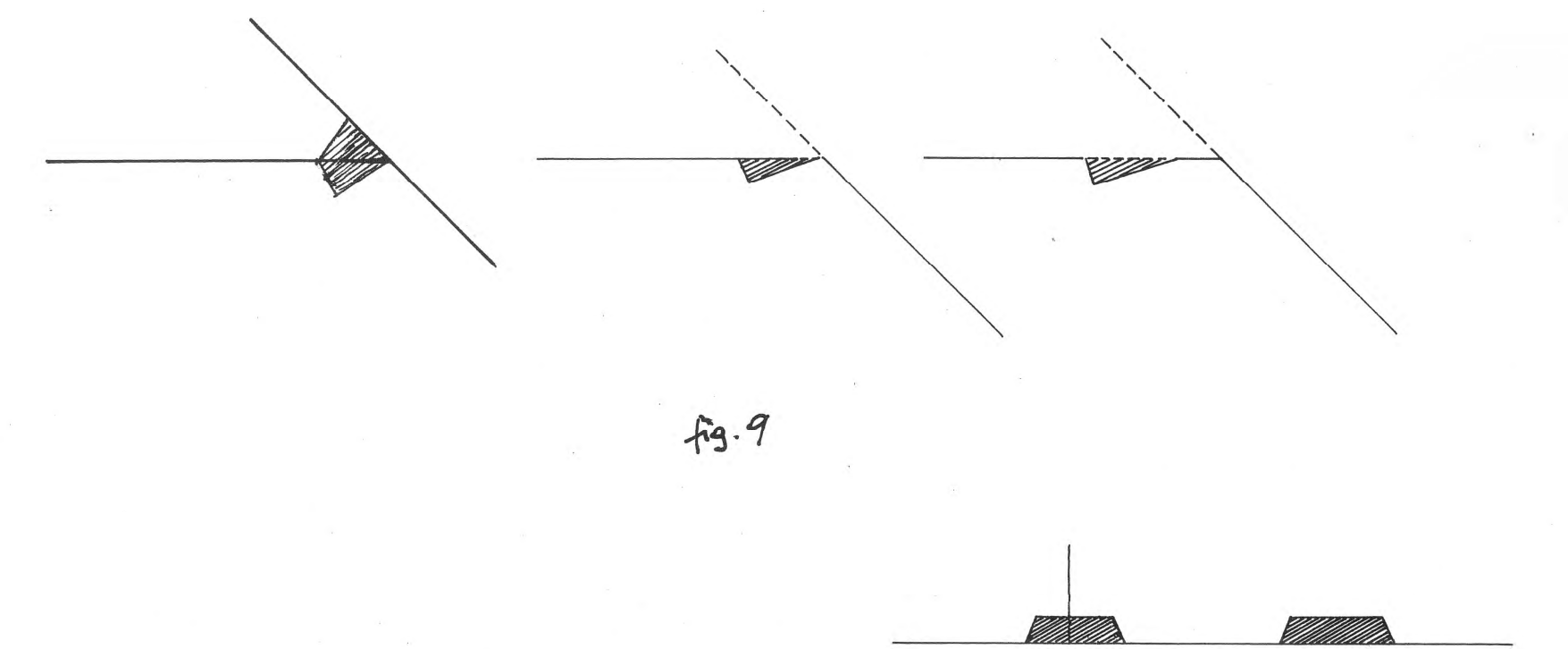
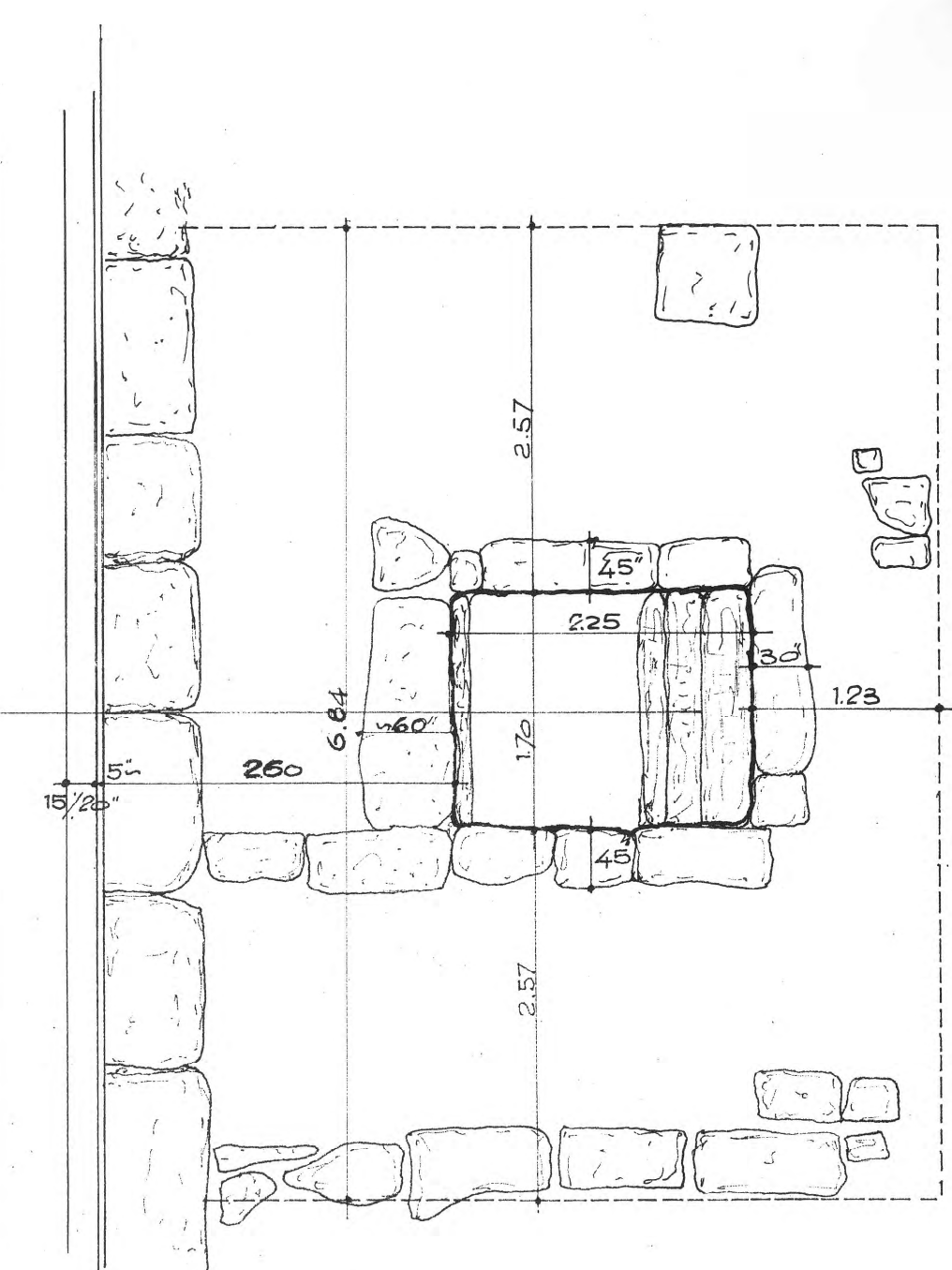
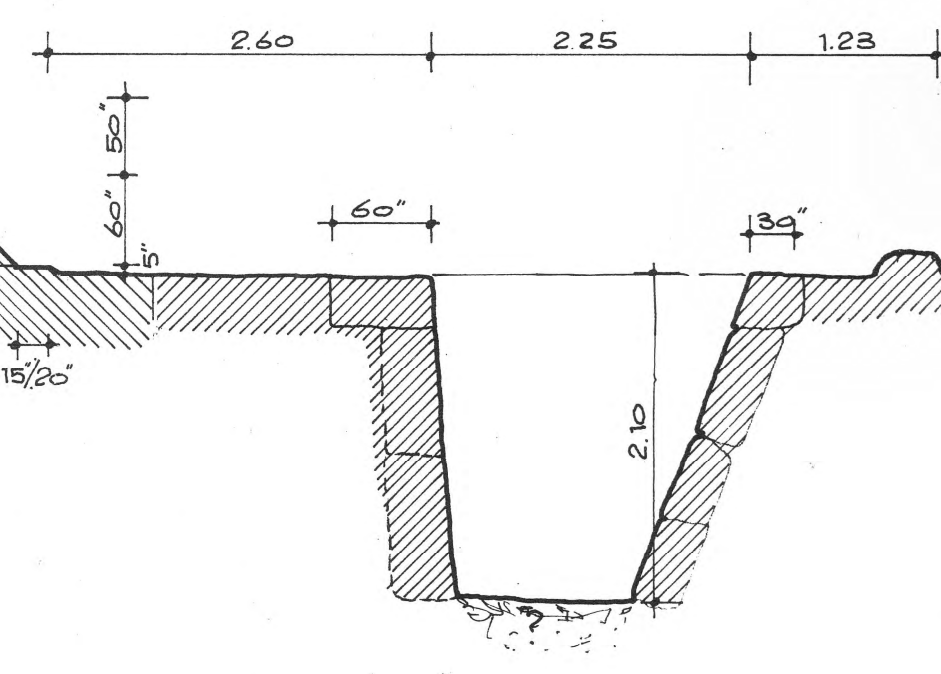


fig. 2 PIANITÀ



Tasselli inseriti nello spigolo superiore dei blocchi di rivestimento

fig. 8 sezione trasversale del corridoio

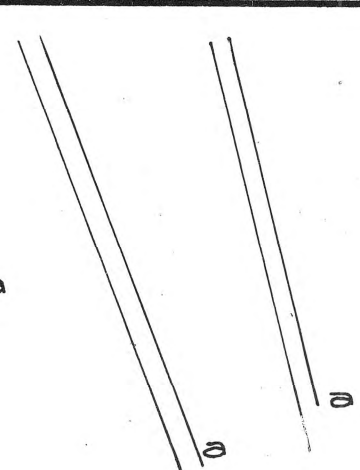








22 probabili vie di lizza  
dei blocchi del nucleo



Lepsius XLIX

blocchi sparsi  
Lepsius XLVII

a' a' probabili strade antiche  
dalla piramide alla valle

 Nord

fig. 1



piramide di Amenemhat II  
Lepsius I

de Lepsius Denk. Alt. Abth. 1 Bl. 35  
De Morgan Carte de la Néc. Memph.  
de Borchardt A.Z.

città di Snefu  
(a 2250 m. dall'apice della piramide)



fig.4 SOTTERDANEI

Sezione SH guardando a ovest

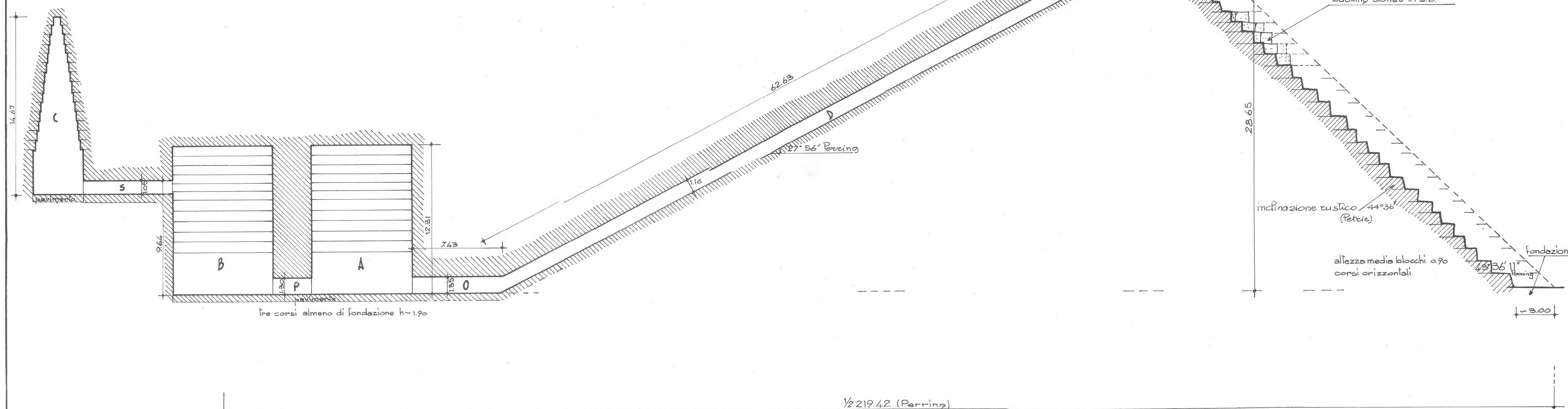
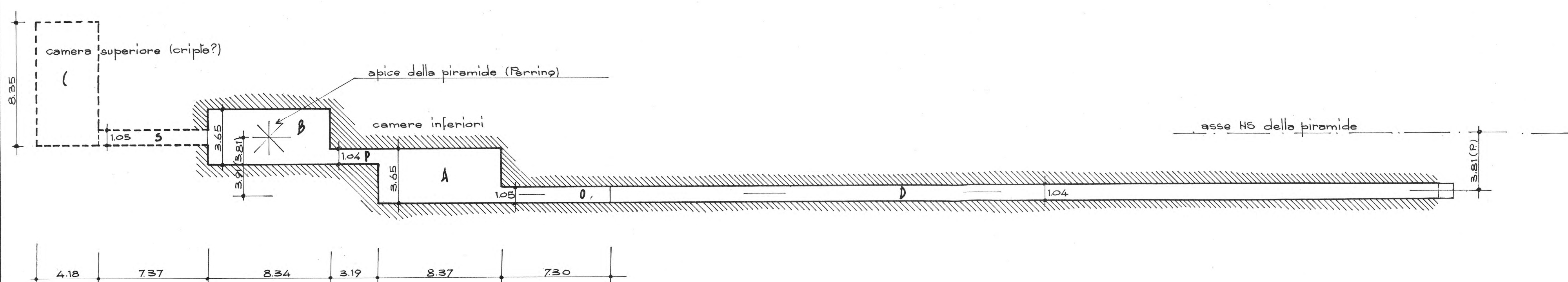
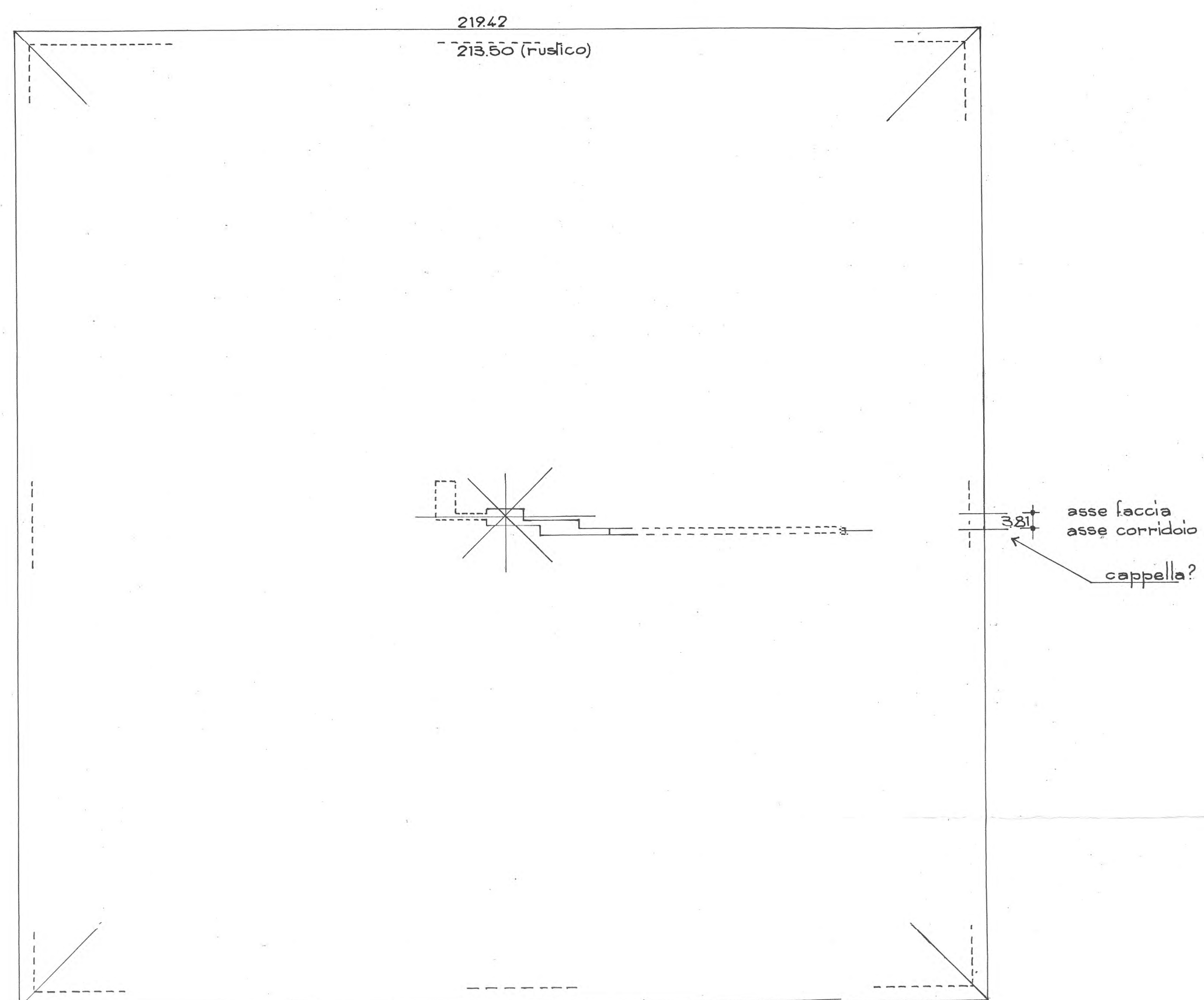
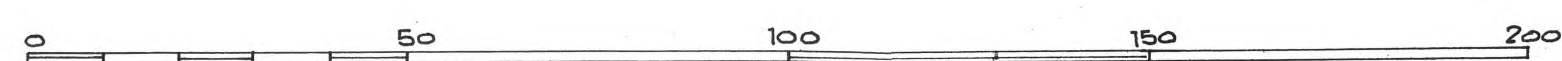


fig. 5 Pianta



PIRAMIDE



resti di un tempio?

fig. 2 PIANTE

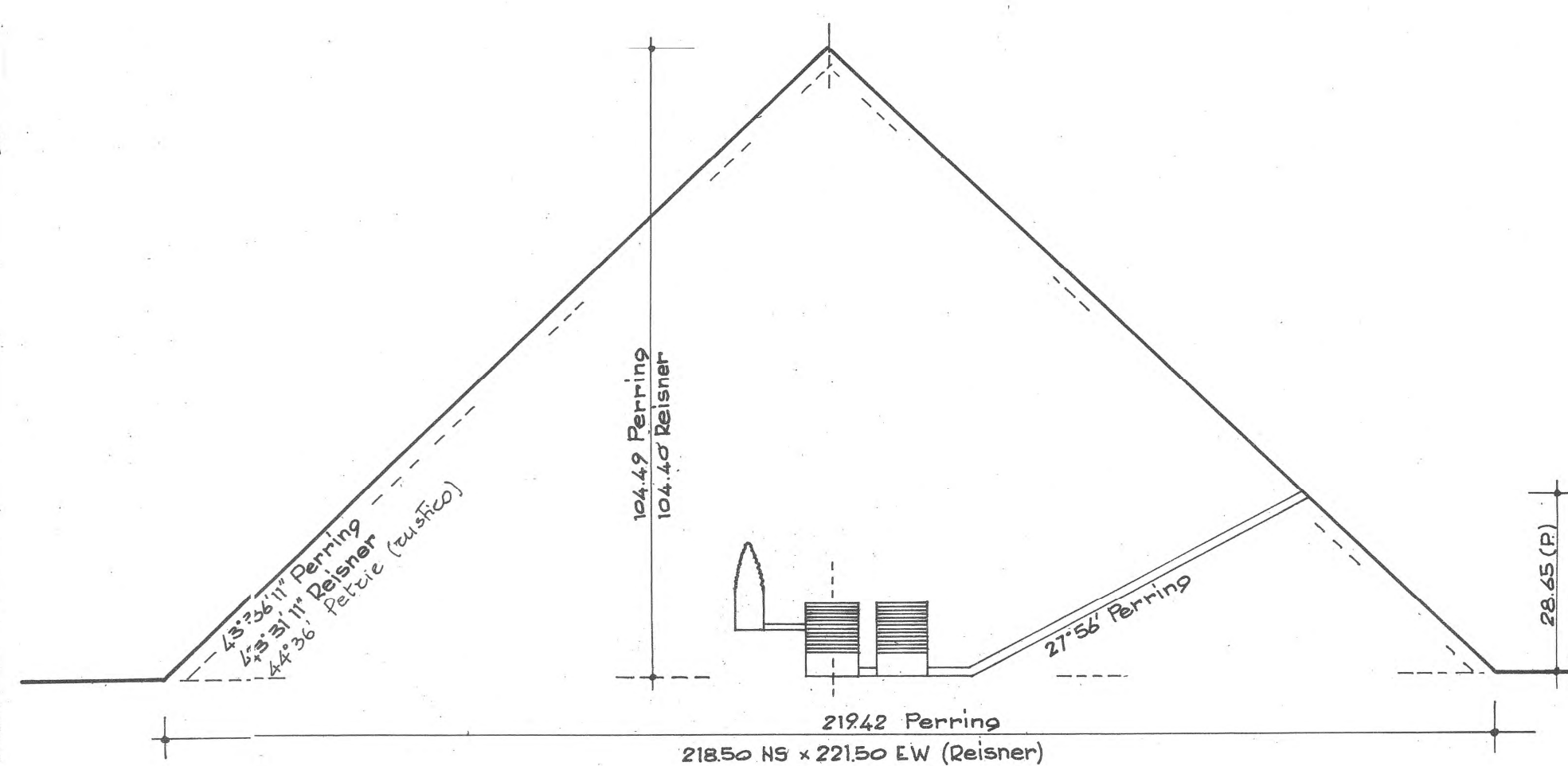
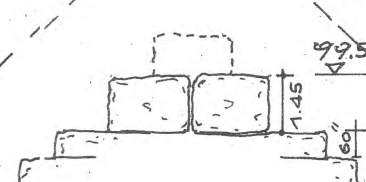


fig.3 SEZIONE NORD-SUD

fig.6 APICE (Perring)



backing stones in c.b.

inclinazione rustico / 4  
(Petrice)

altezza media blocchi 0.90

$\frac{1}{2}$  219.42 (Perring)

asse NS della piramide



fig.4 Particolare breccia

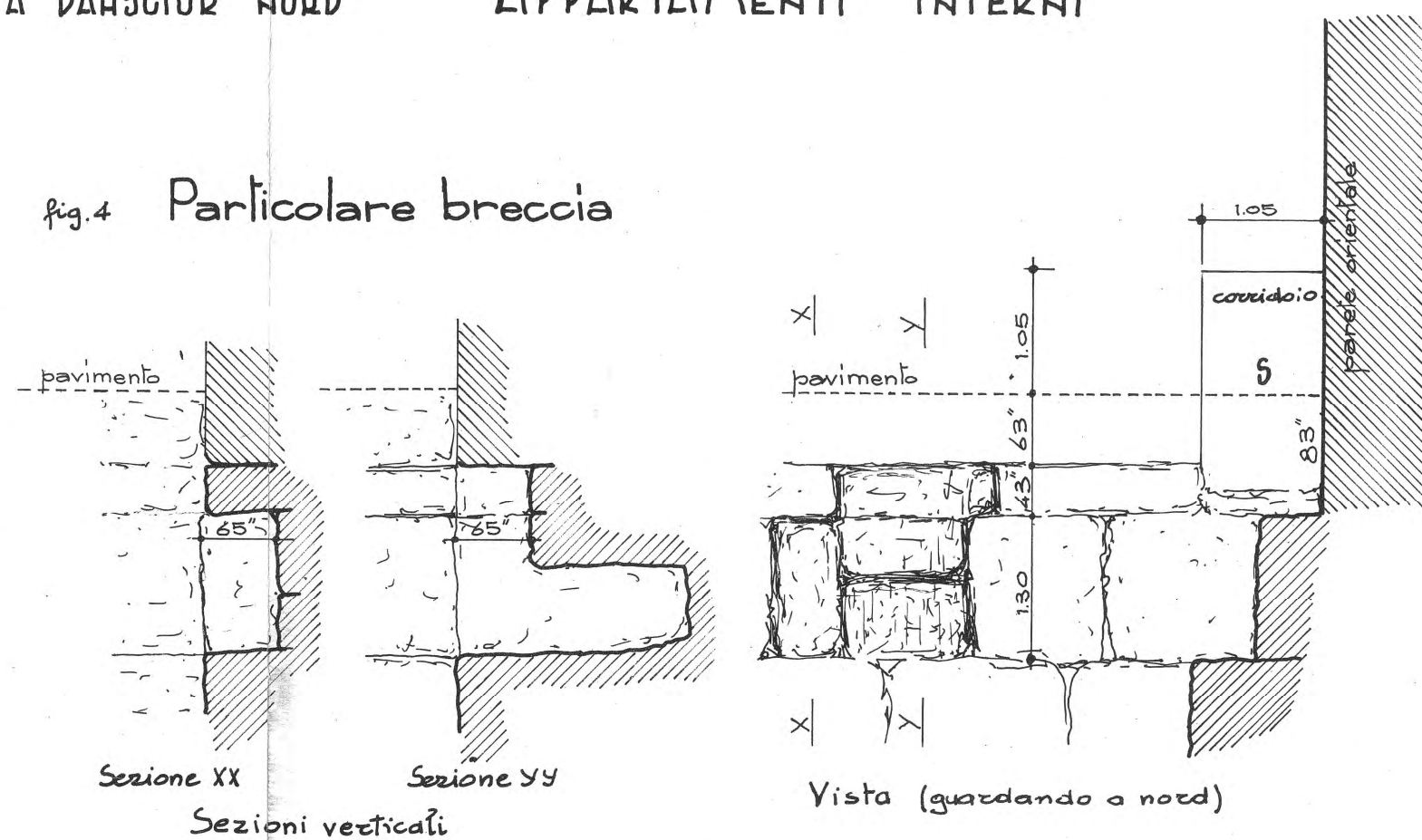


fig.1 SEZIONE LONGITUDINALE

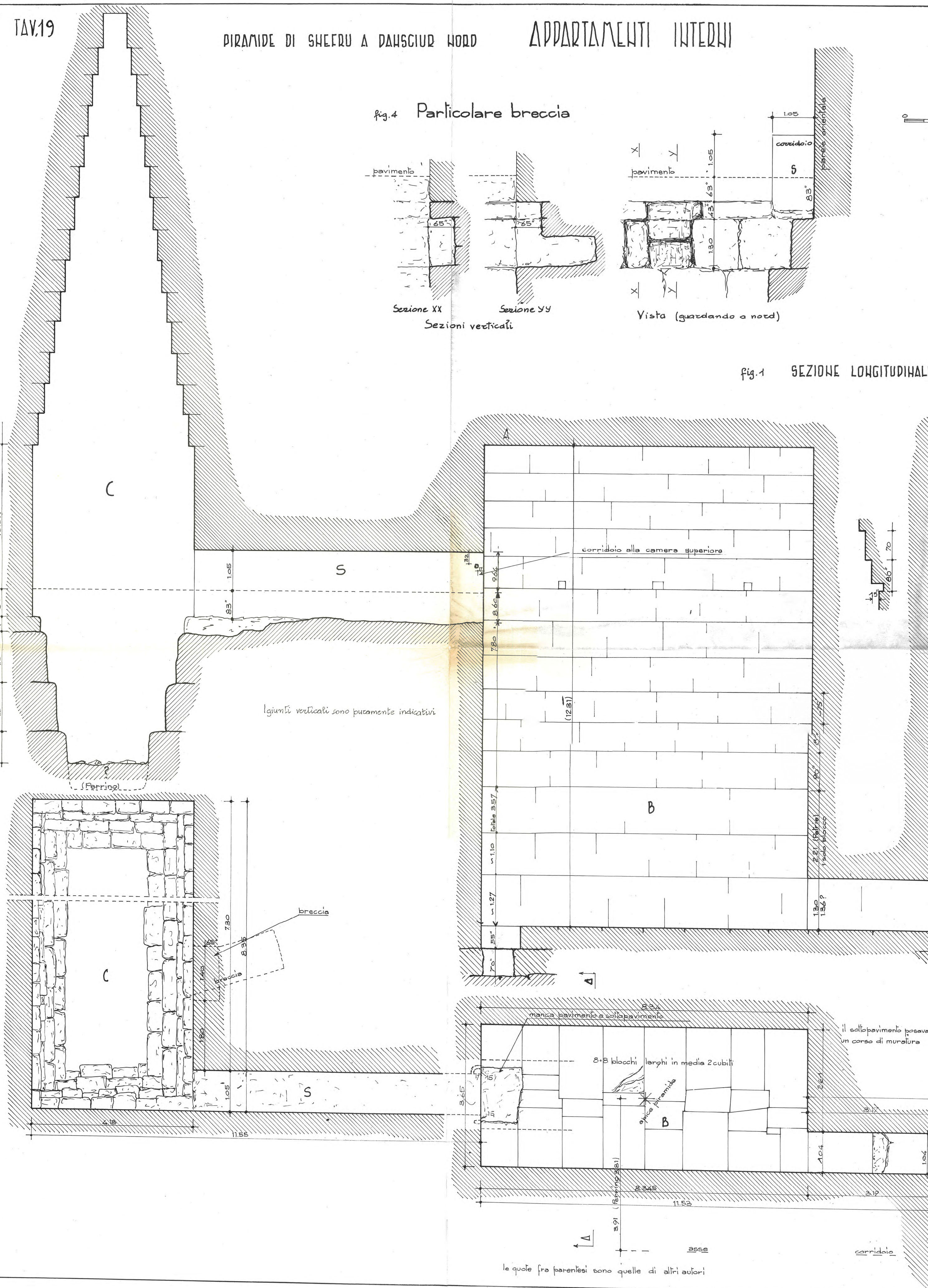


fig.3 SEZIONE AA guardando a Sud

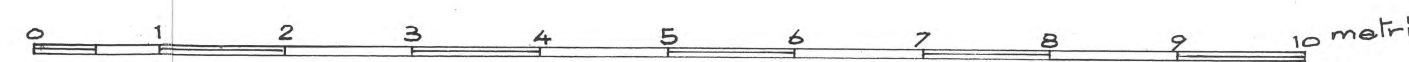
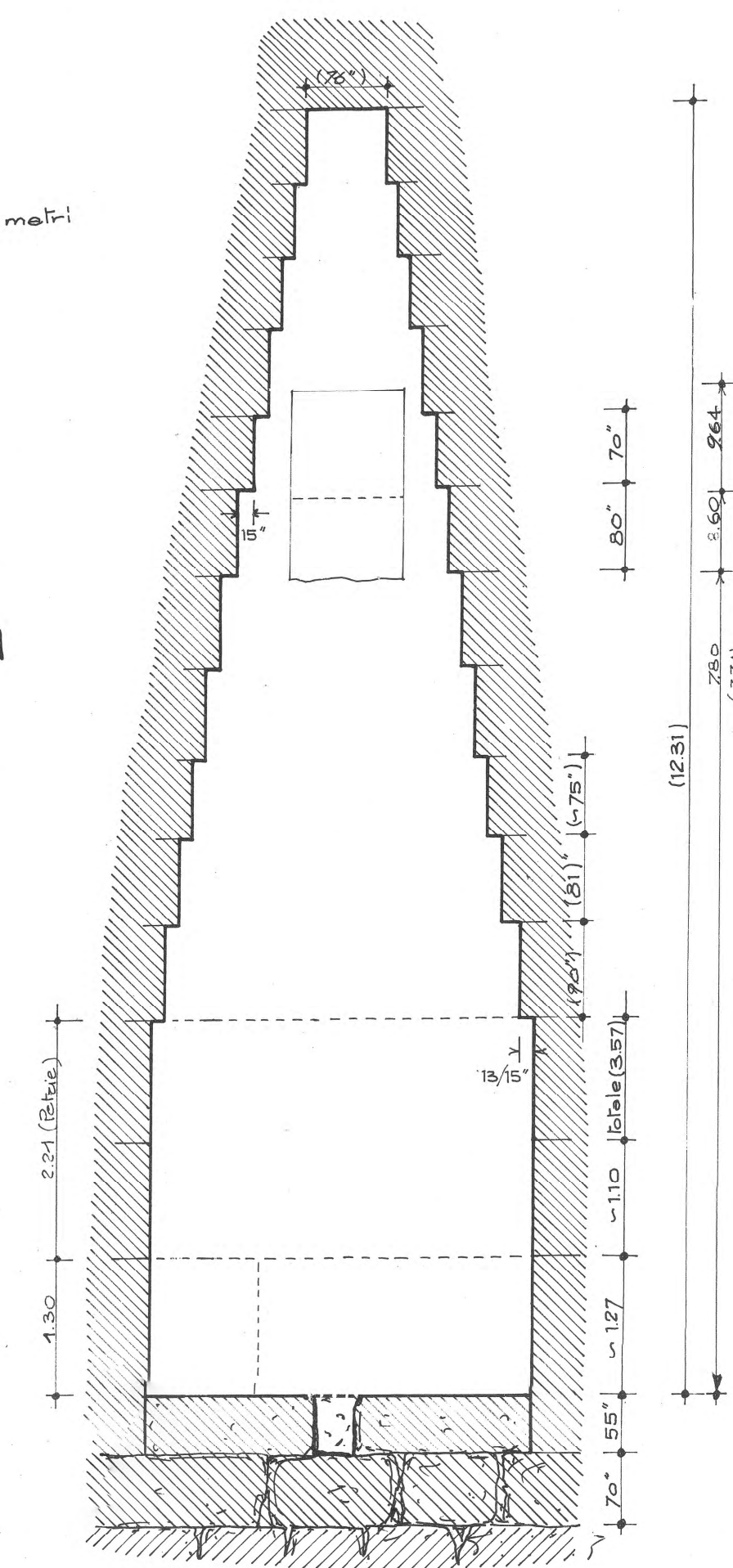


fig.5 Prospetto dell'ingresso



Il blocco A si trova alquanto più in dentro di quelli che formano le pareti del corridoio. In X, dietro a questo blocco, un blocco di calcare giallo si insinua sotto i blocchi di c.b. legandoli alla muratura rustica.

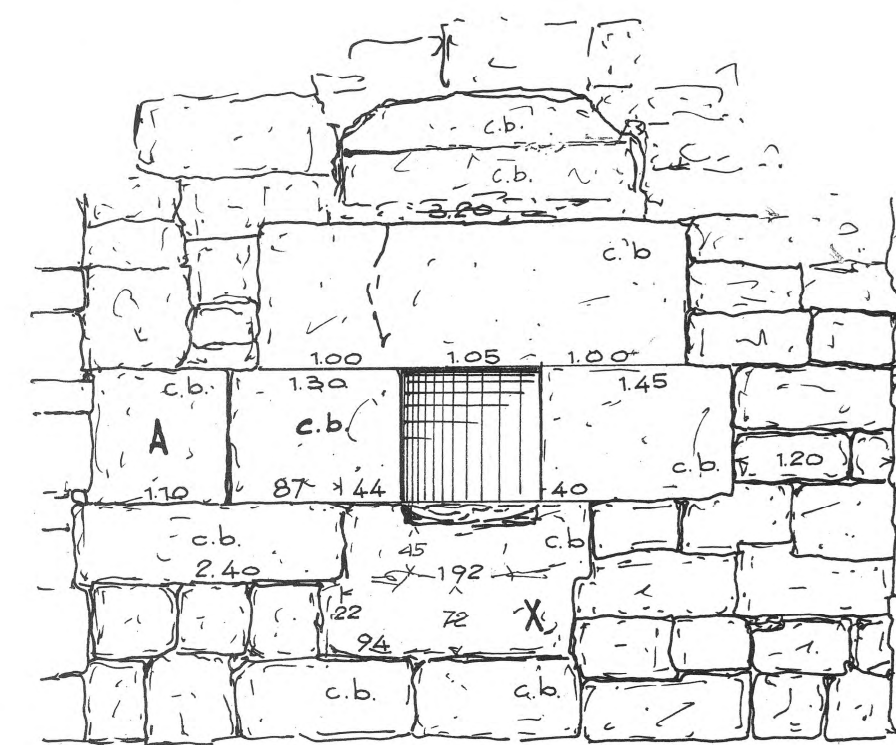


fig.6 Parete Est giunti perpendicolari alla pendenza

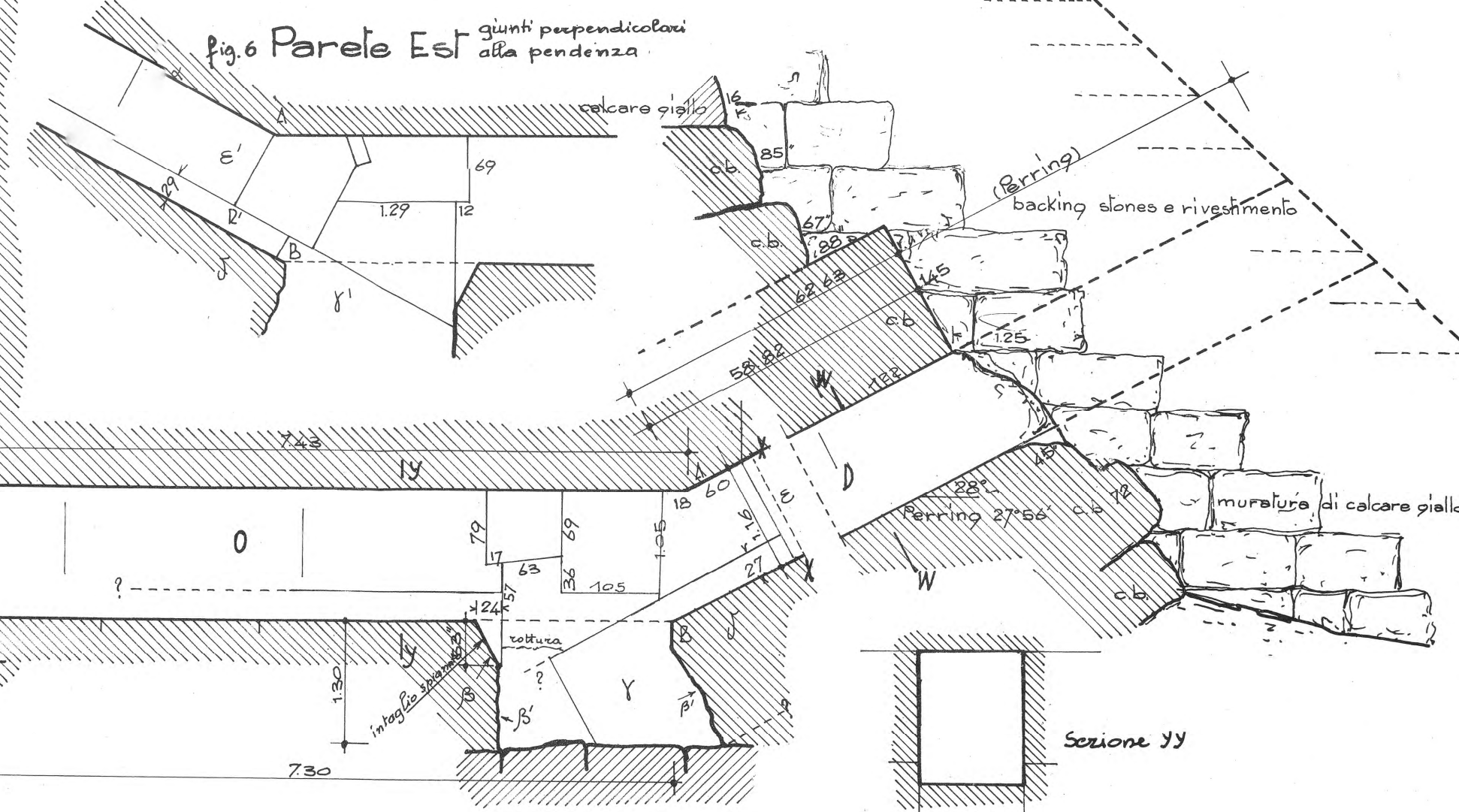


fig.2 PIANTA

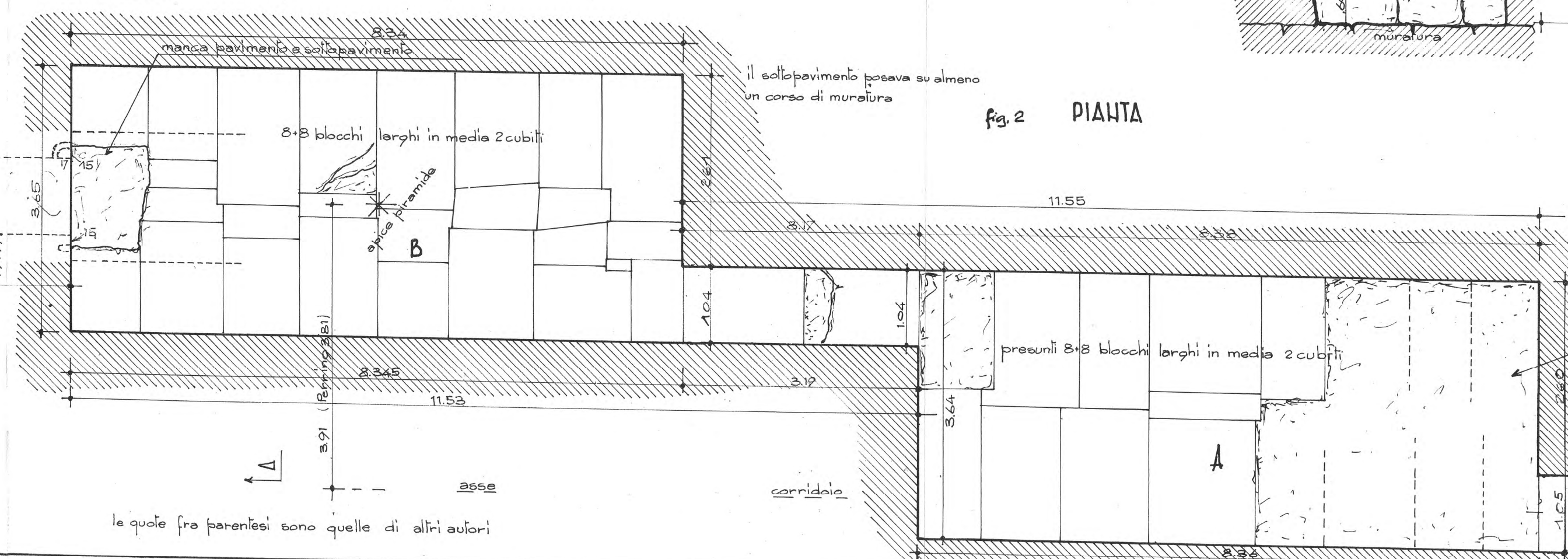
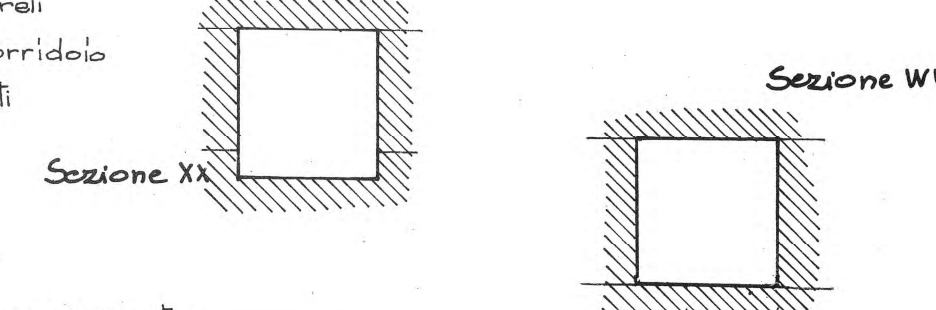


fig.7 Sezioni trasversali

A: architravi del soffitto  
B: pavimento (inserito) del corridoio  
C: in B: trapi a scalpello in B: rustico  
D: blocchi formanti la parte bassa delle pareti  
E: pavimento (inserito fra i blocchi D) del corridoio  
F: blocchi formanti la parte alta delle pareti  
G: rustico





PARTE III - TAVOLE

L'ARCHITETTURA DELLE PIRAMIDI MENFITE

V. MARACIOGLIO - C. RINALDI

B<sub>n</sub>  
22 093  
3 (2)